

Общие проблемы применения многопроцессорных систем

М.В.Якобовский

mail: lira@imamod.ru

web: <http://lira.imamod.ru>

2012

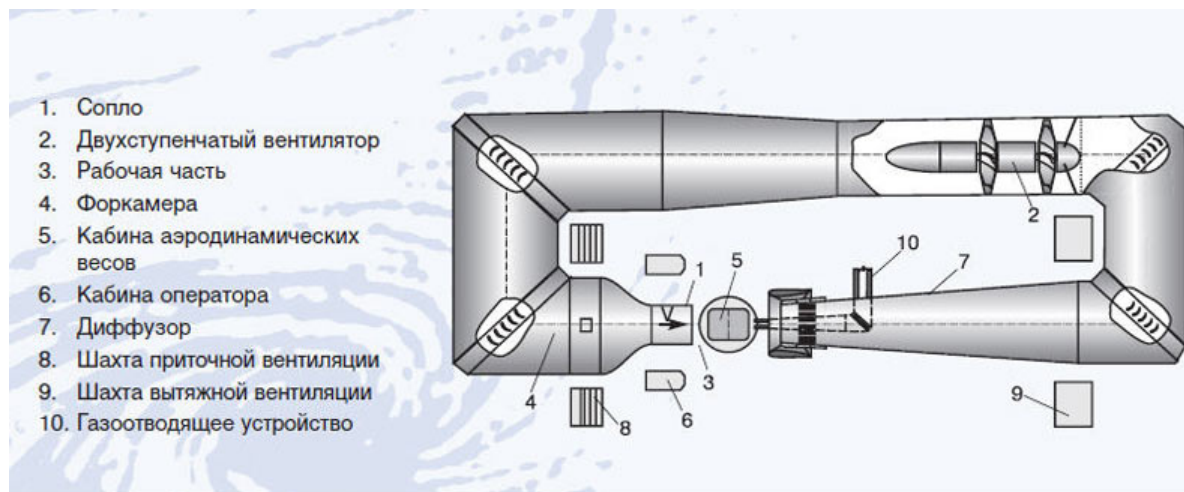
Особенности момента

- Потребность в суперкомпьютерах высока
- Эффективность использования суперкомпьютеров низка:
 - Использование каждого ядра последовательной программой составляет проценты и доли процентов
 - Обмены, синхронизация и другие дополнительные операции ещё снижают эффективность параллельной программы
- Есть минимальный объем вычислений на процессорное ядро, определяющий **число используемых ядер**
- За счет **многопроцессорности** сложно **сокращать** время моделирования физического процесса, но можно повышать **сложность** решаемых задач, например за счет увеличения размеров изучаемых объектов

Дозвуковая аэродинамическая труба Т-104, ЦАГИ

- Скорость потока **10–120 м/с**
- Диаметр сопла 7 м
- Длина рабочей части 13 м
- Мощность вентилятора **28.4 МВт**

<http://www.tsagi.ru/rus/base/t104>



Суперкомпьютер СКИФ МГУ «ЧЕБЫШЁВ»

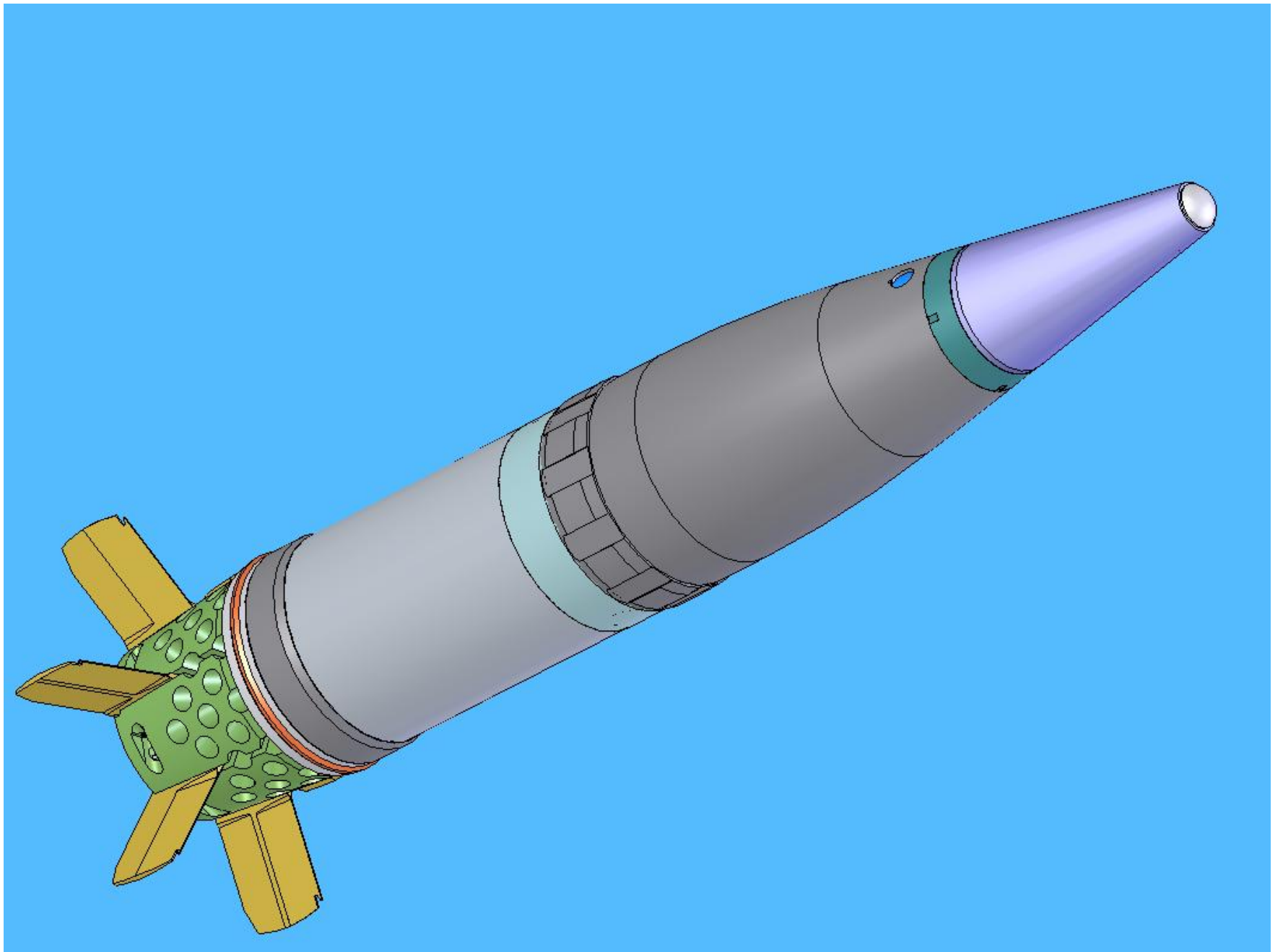
- Пиковая производительность 60 TFlop/s
- Мощность комплекса **0.72 МВт**

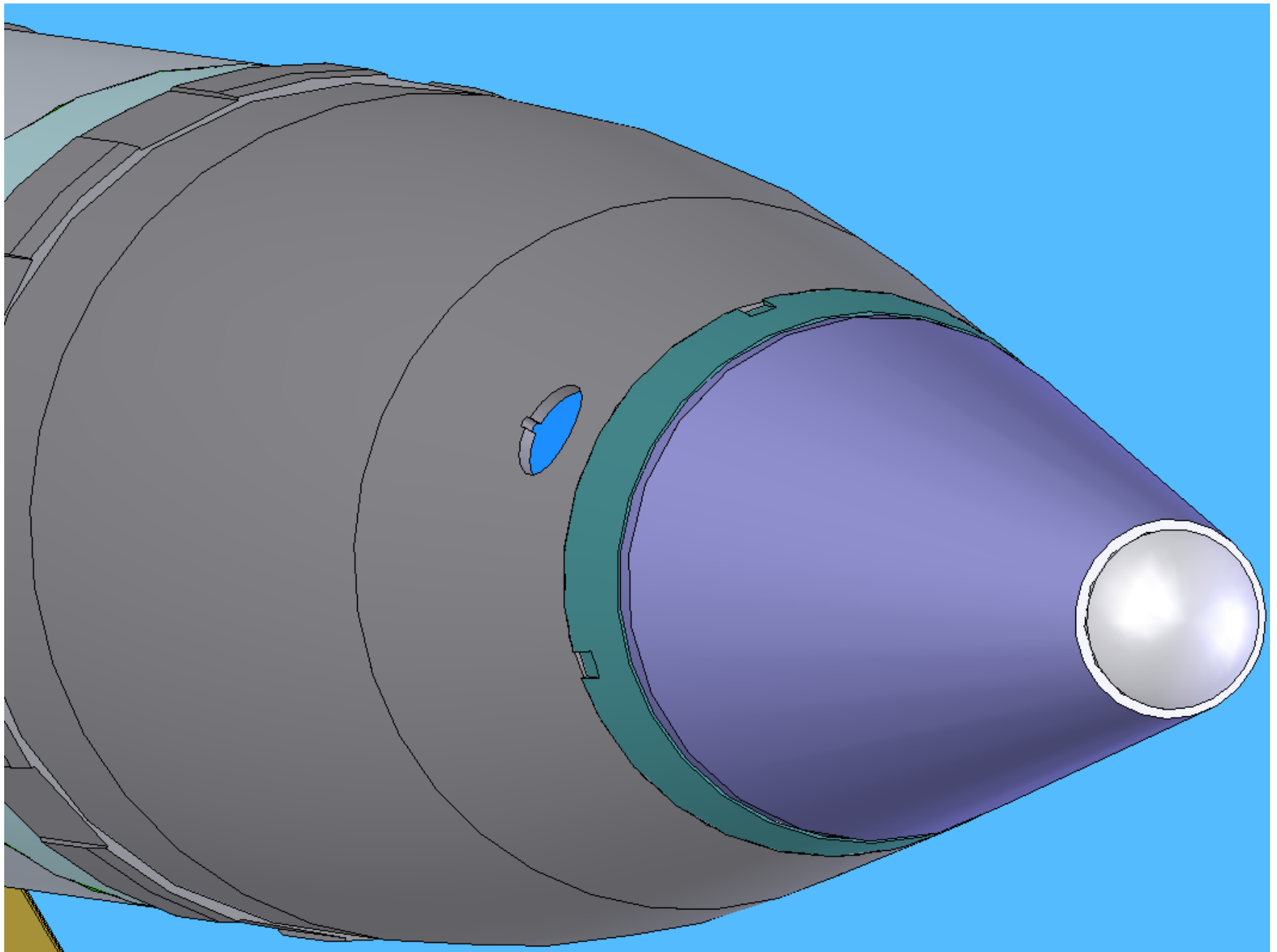
http://parallel.ru/cluster/skif_msu.html



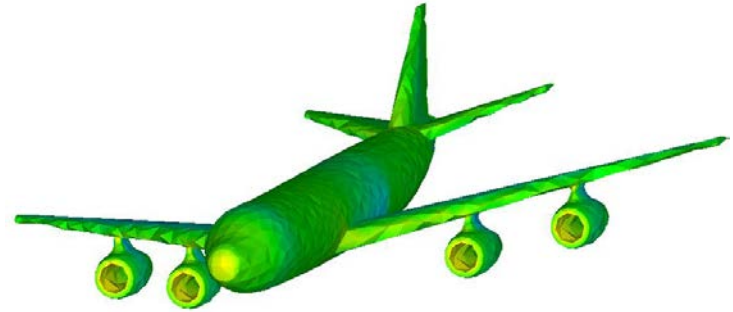
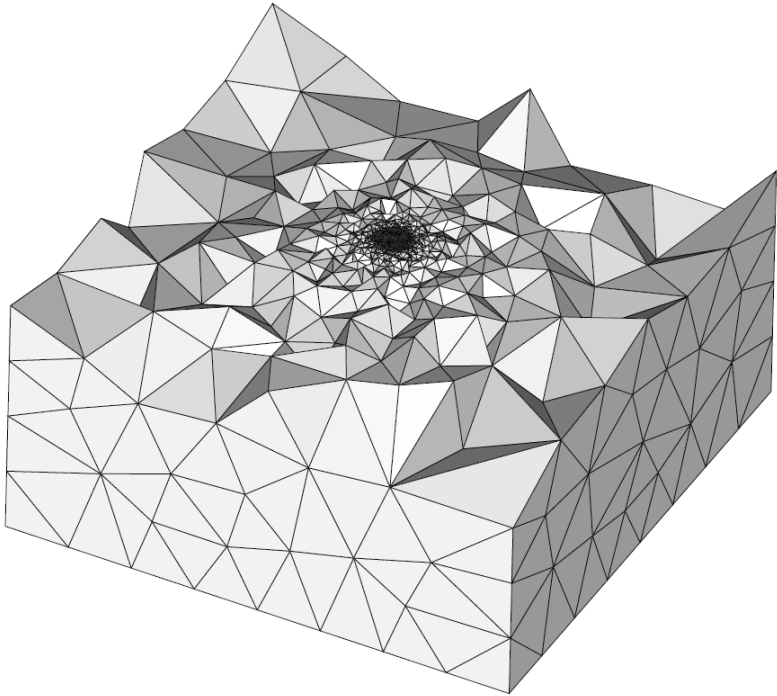




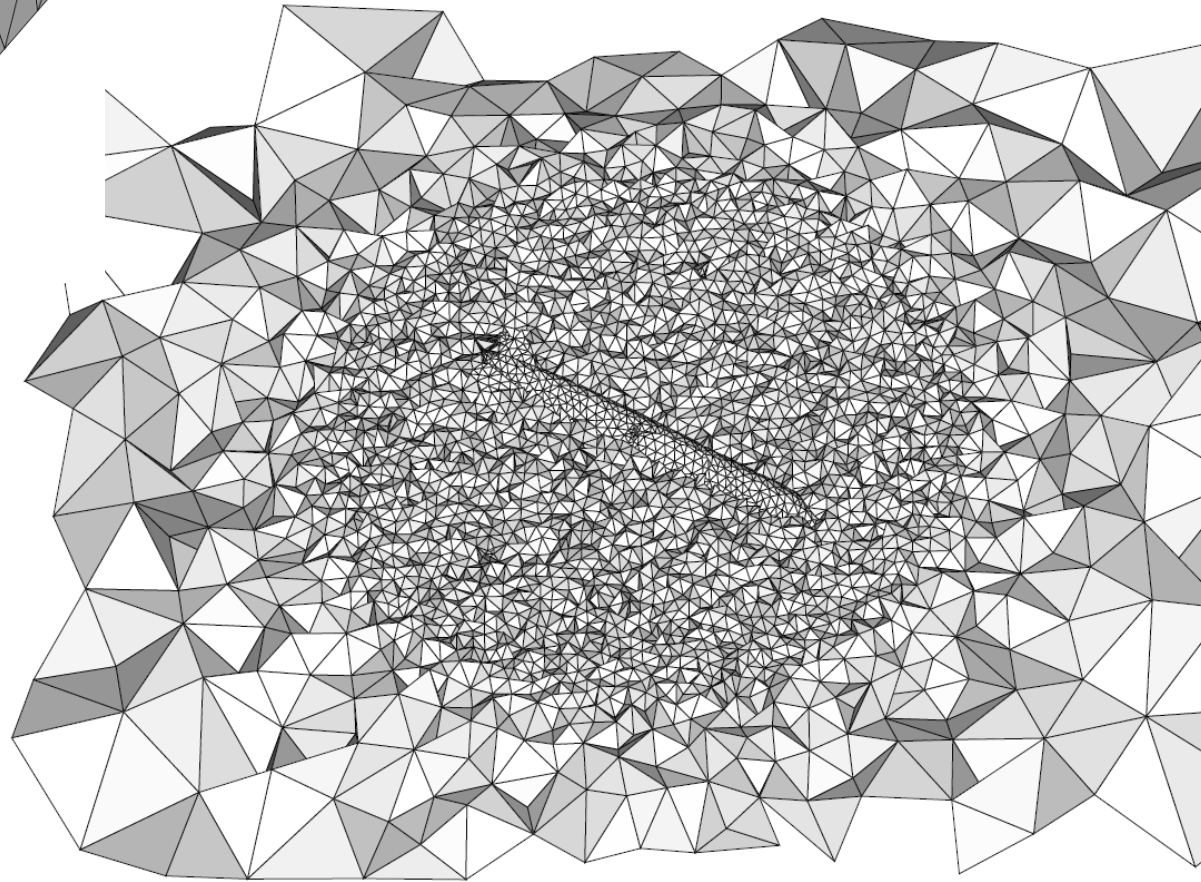


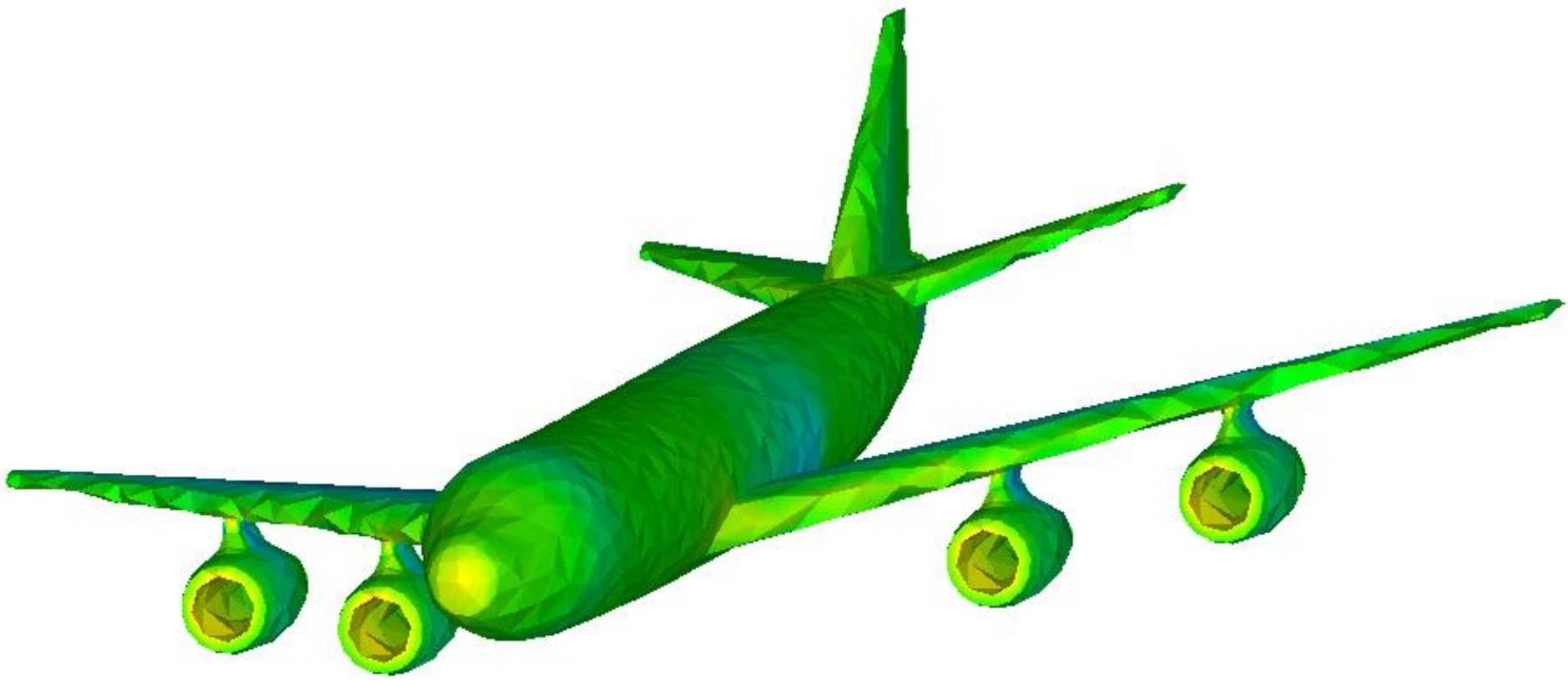


Большие сетки



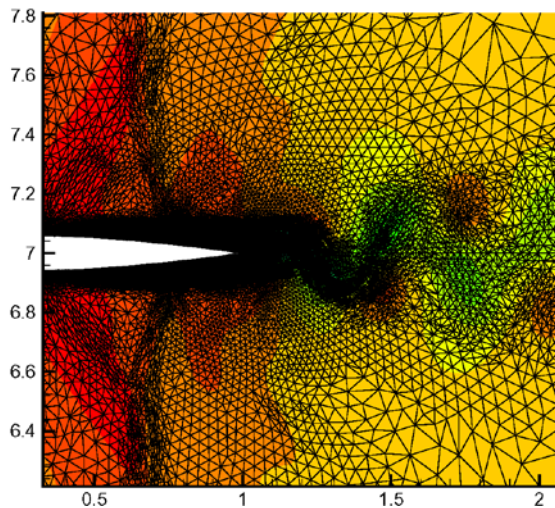
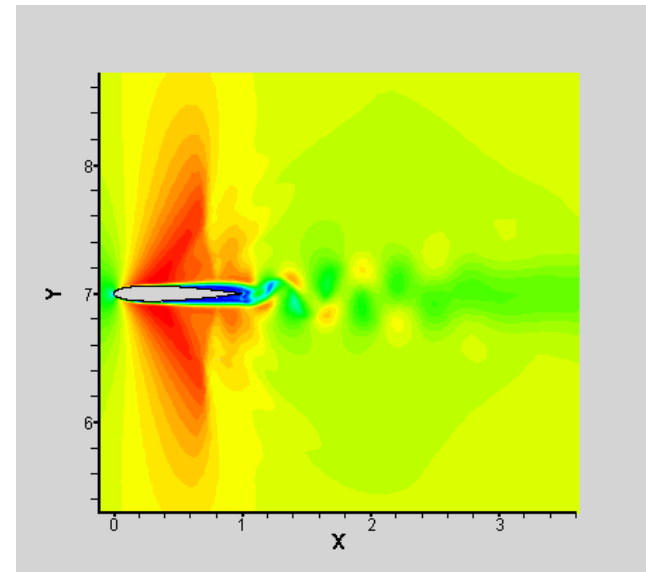
*Тетраэдральные
сетки 10^8 узлов*



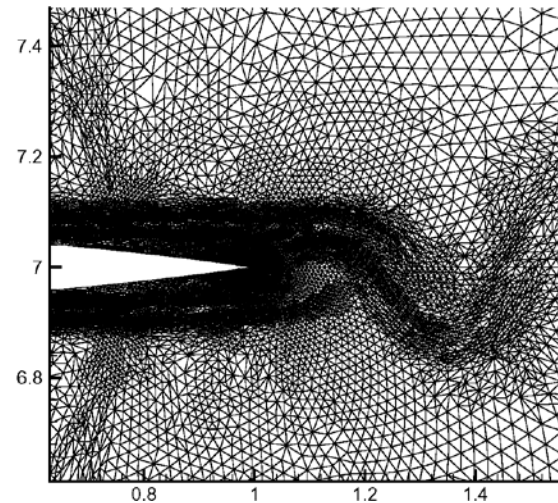


Использование адаптивной сетки

Обтекание профиля NACA0012
($M=0.85$, $Re=10^4$)
под нулевым углом атаки:



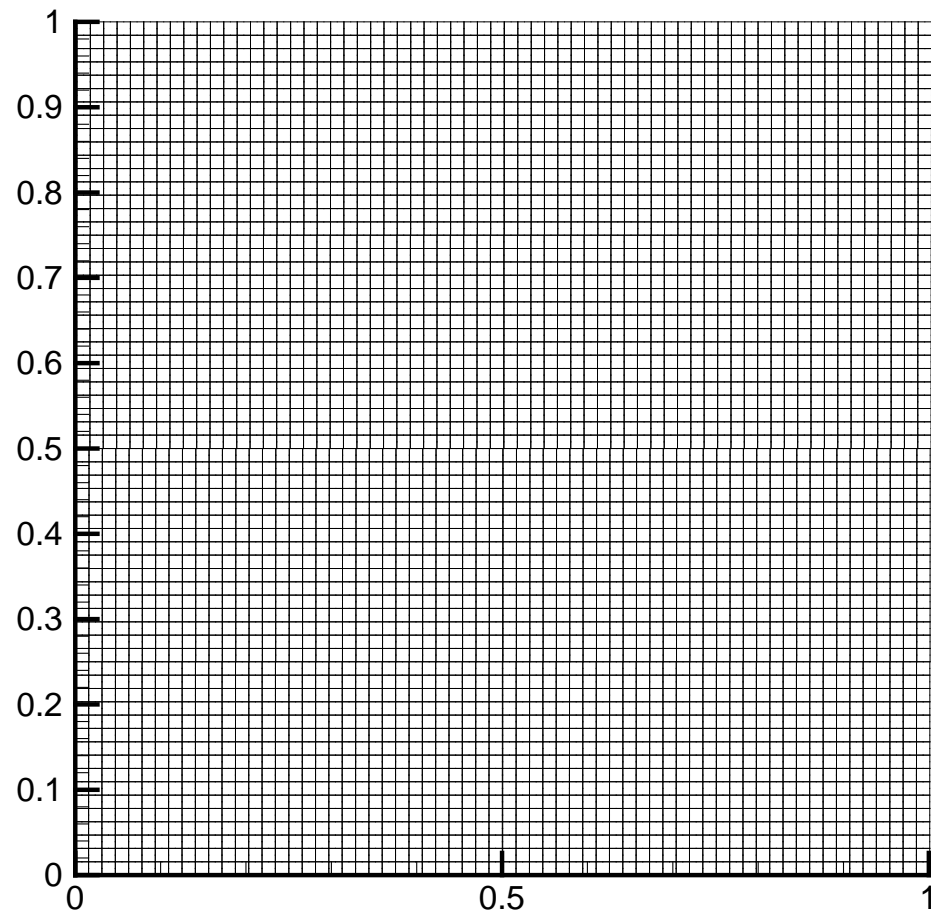
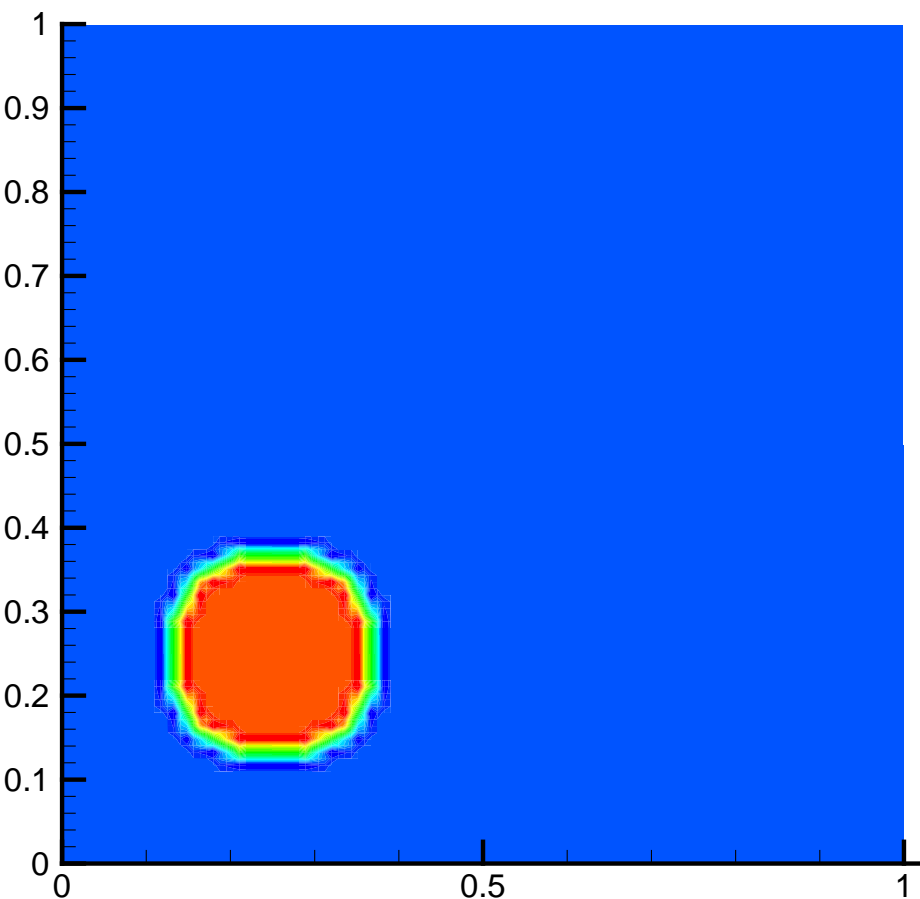
Поле продольной скорости



Фрагмент сетки

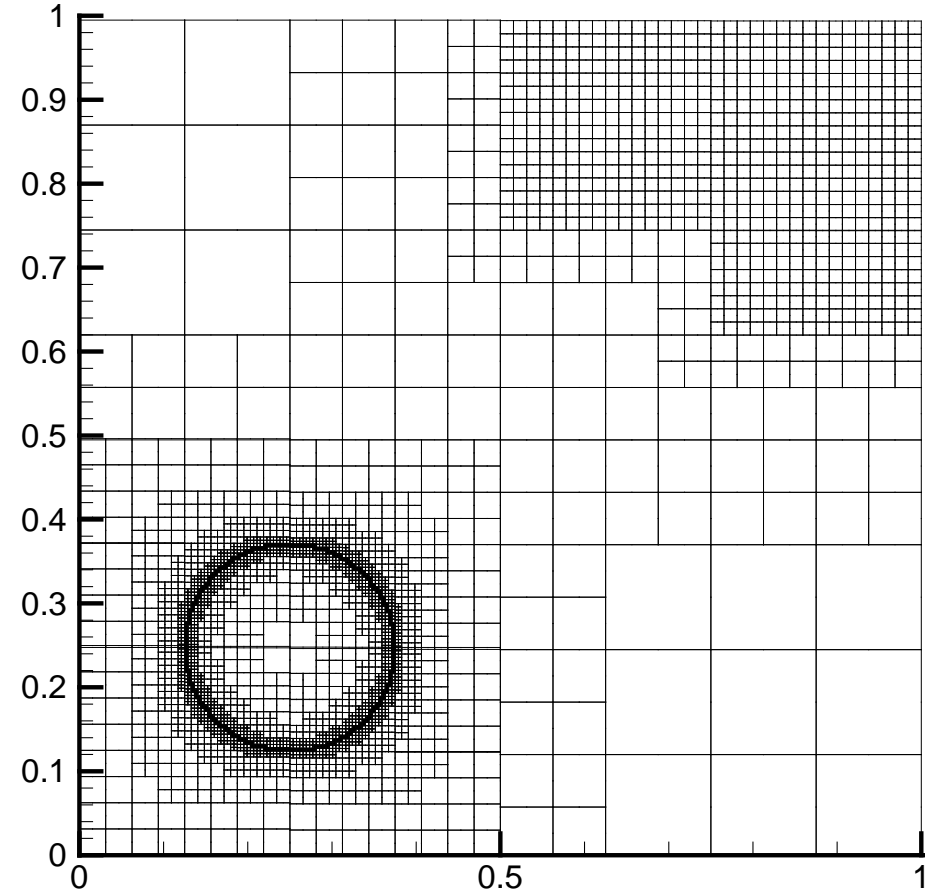
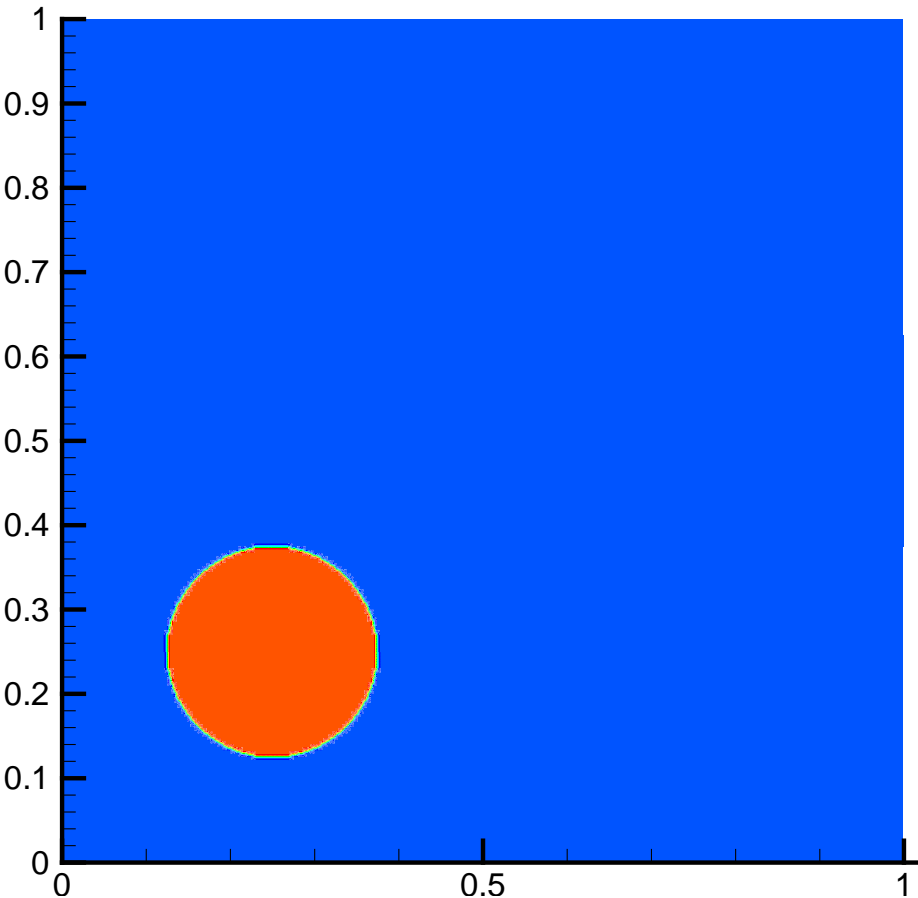
Равномерная сетка

Слева – *круглое* пятно примеси



Адаптивная сетка

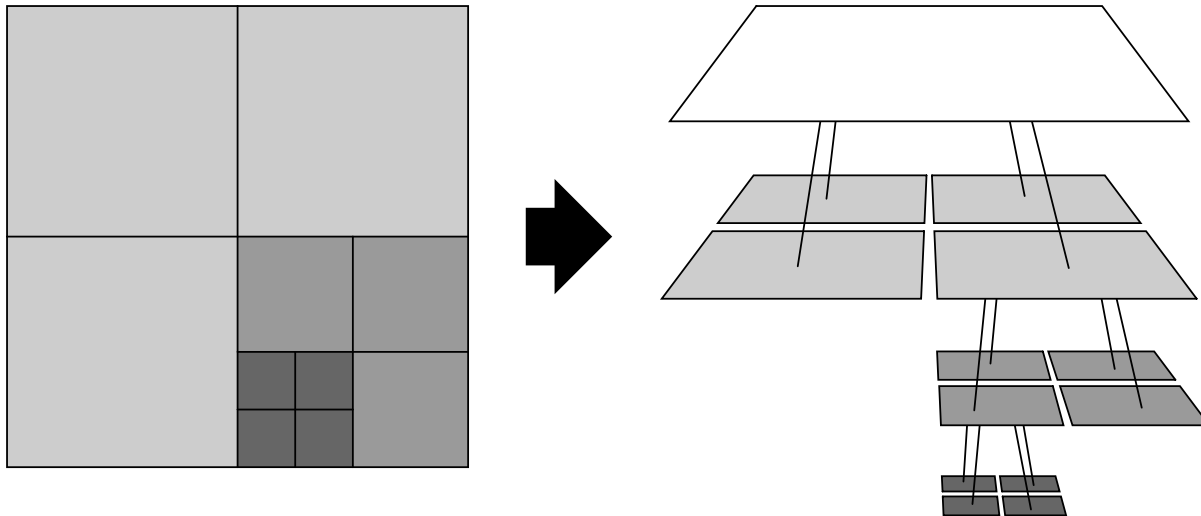
Слева – *круглое* пятно примеси



Адаптивные декартовы сетки

- Вначале сетка состоит из одной прямоугольной ячейки
- Каждая ячейка может быть **разделена** на четыре ячейки одинакового размера
- Если ячейки когда-то составляли одну ячейку, то они могут быть **объединены** обратно
- Каждая ячейка хранит **величину**, описывающую среднее значение неизвестной функции в пределах ячейки (метод конечных объёмов)

При данных предположениях сетку удобно хранить в виде **четверичного дерева**:



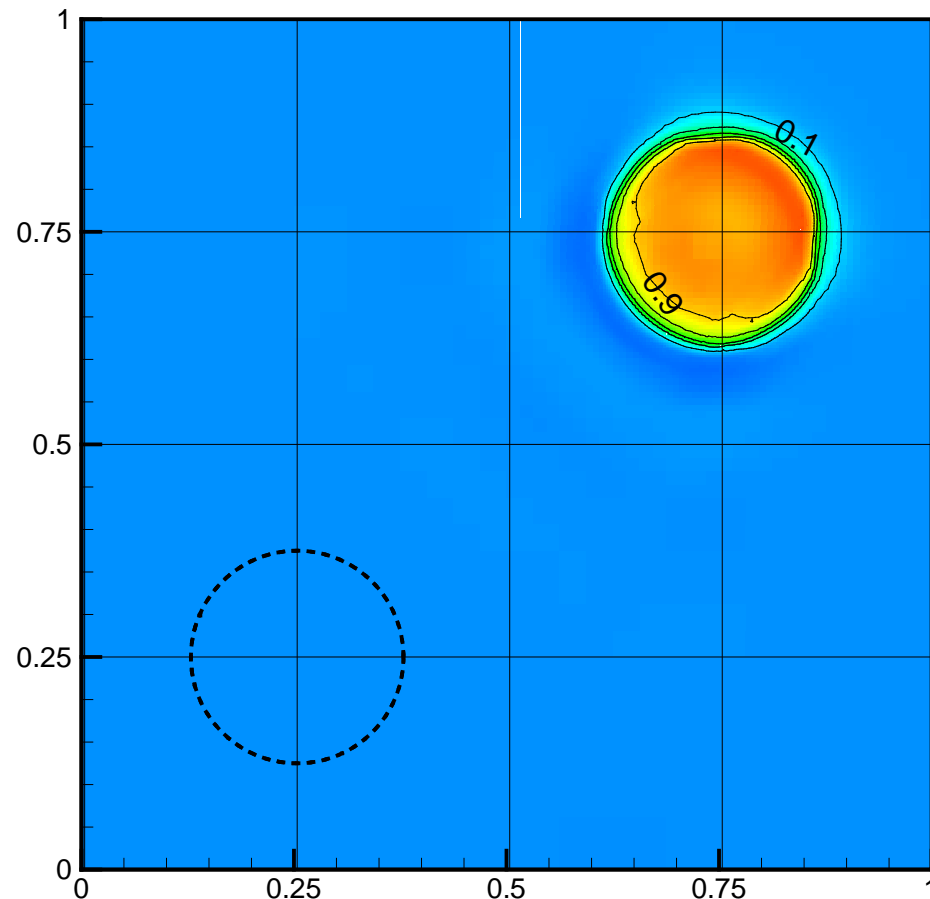
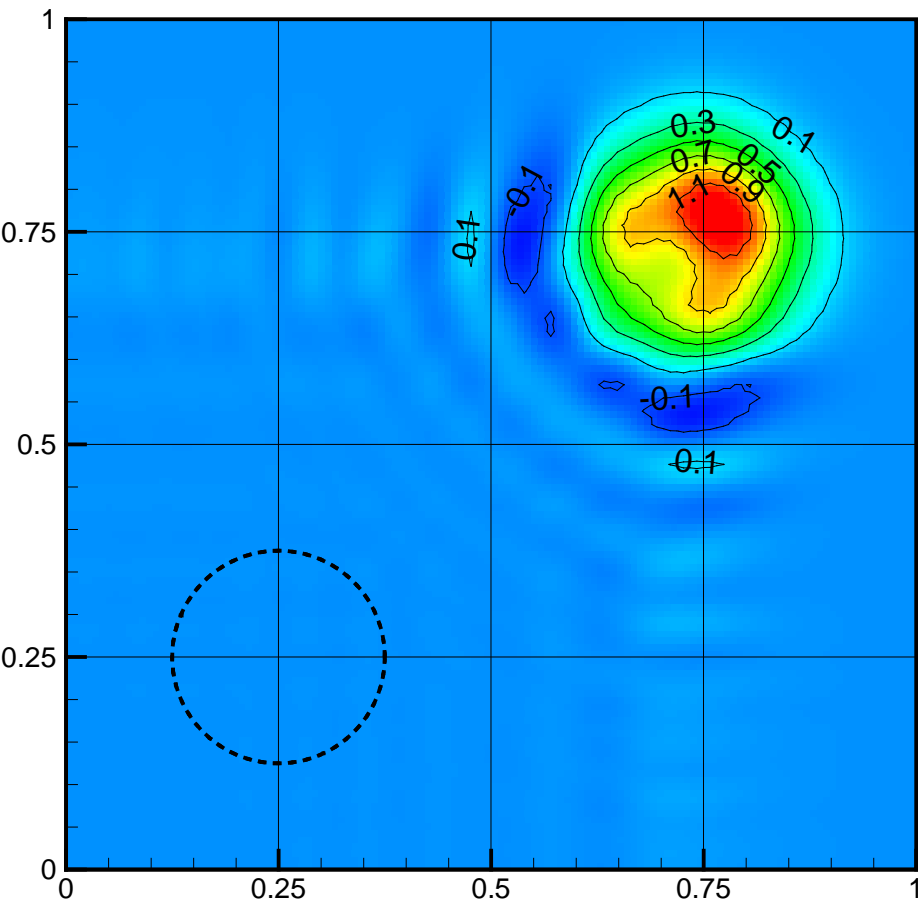
Дополнительные ограничения на размеры ячеек:

- Задан **максимально допустимый** размер ячеек
- Задан **минимально допустимый** размер ячеек
- Размеры соседних ячеек должны различаться **не более, чем в 2 раза**

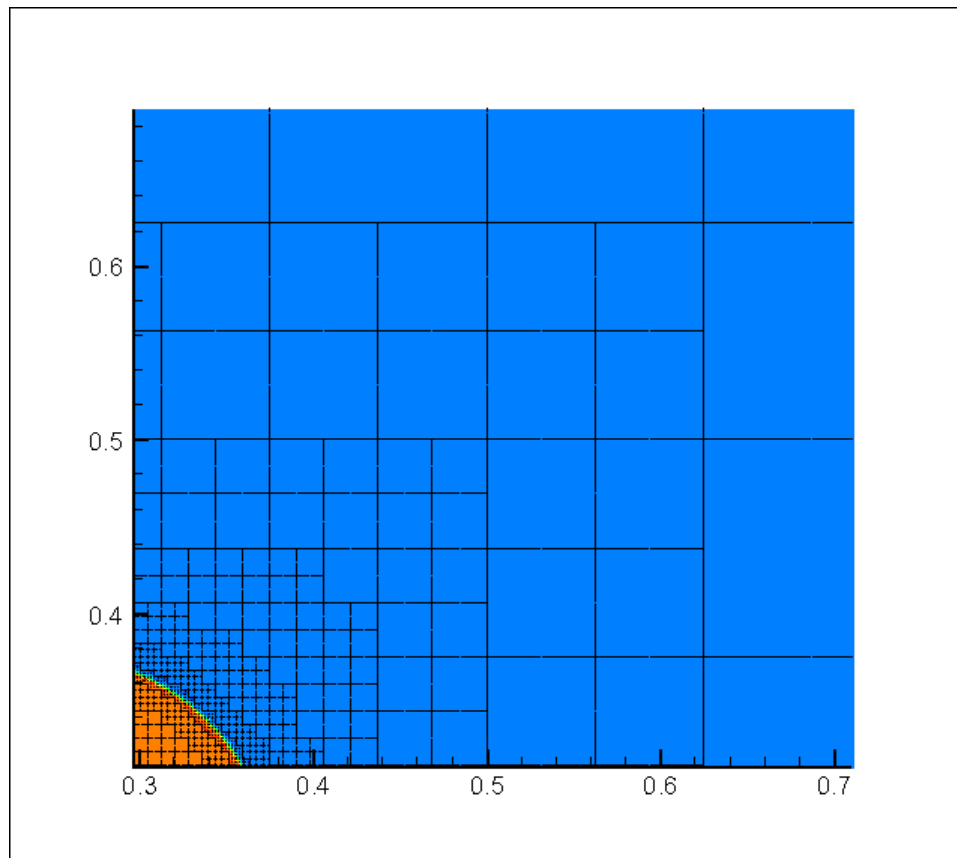
(С) Сушинов А.А.

Сравнение с равномерной сеткой

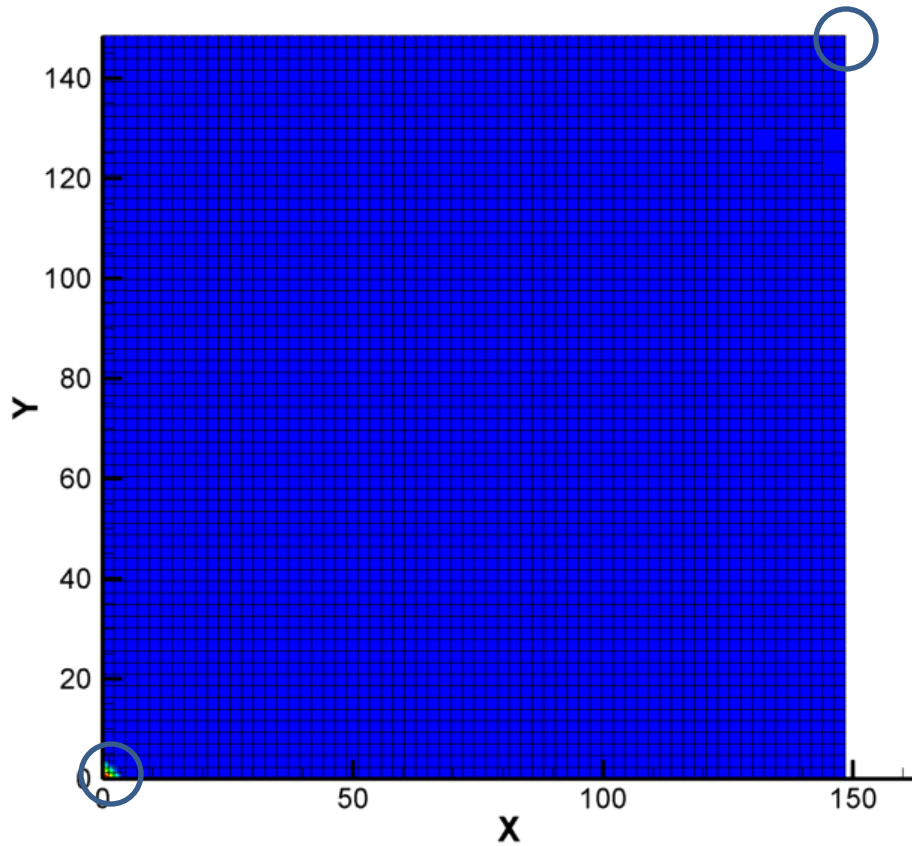
На рисунках показаны результаты решения простейшей задачи переноса на равномерной (слева) и адаптивной (справа) сетках с одинаковым числом ячеек (4096 штук). Скорость переноса направлена под углом 45° к линиям сетки; начальное условие показано пунктиром



Адаптивная сетка



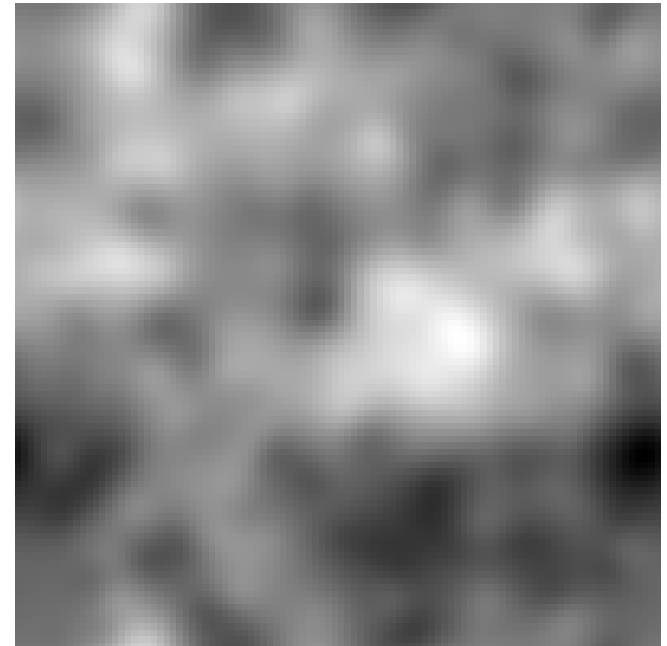
Решение двумерной задачи фильтрации нефтеводяной смеси в области с неоднородной проницаемостью



В юго-западном углу находится скважина, нагнетающая воду, в северо-восточном углу — добывающая скважина.

5-ти точечная схема

Поле проницаемости с разбросом значений на 4 порядка).

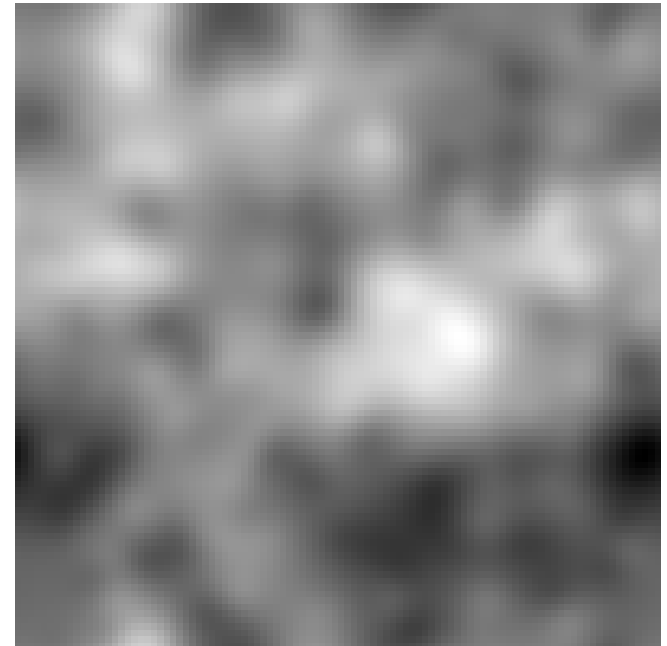
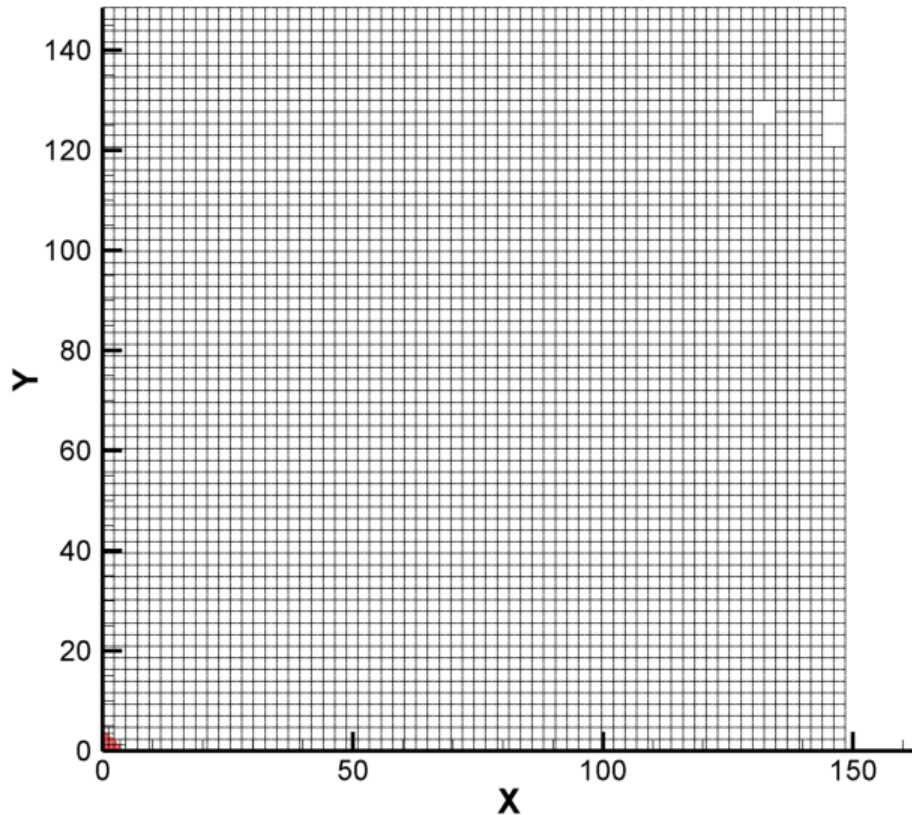


Решение двумерной задачи фильтрации нефтеводяной смеси в области с неоднородной проницаемостью

В юго-западном углу находится скважина, нагнетающая воду, в северо-восточном углу — добывающая скважина.

5-ти точечная схема

Поле проницаемости с разбросом значений на 4 порядка).

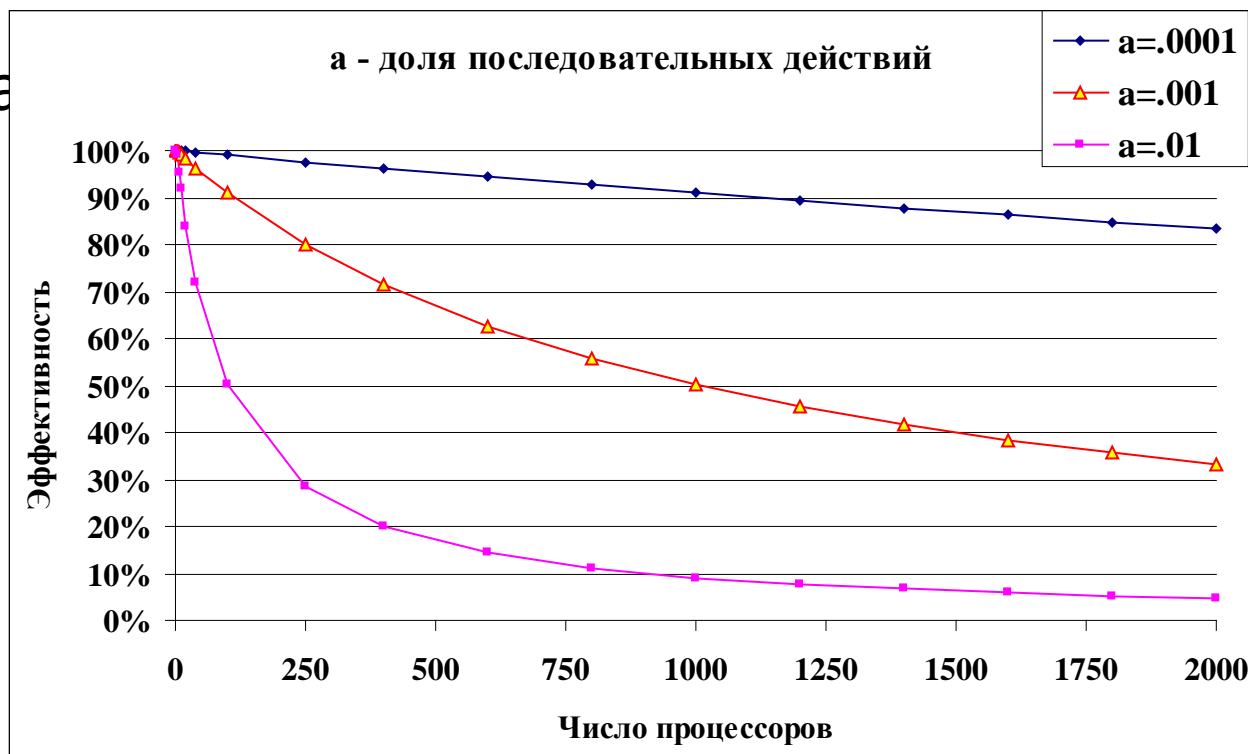


Ограничения

- Закон Амда

$$S(p) = \frac{1}{a + \frac{1-a}{p}}$$

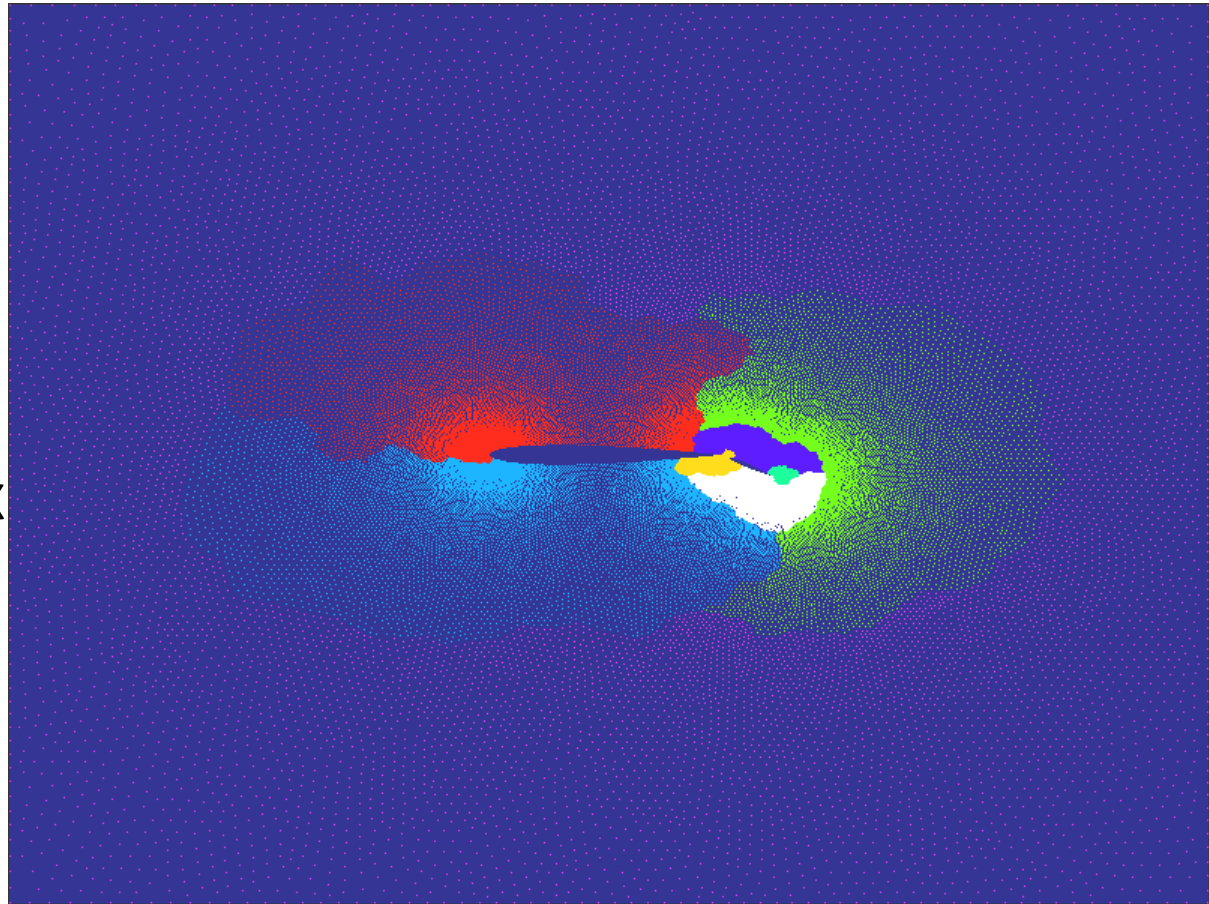
$$E(p) = \frac{1}{1 + a(p-1)}$$

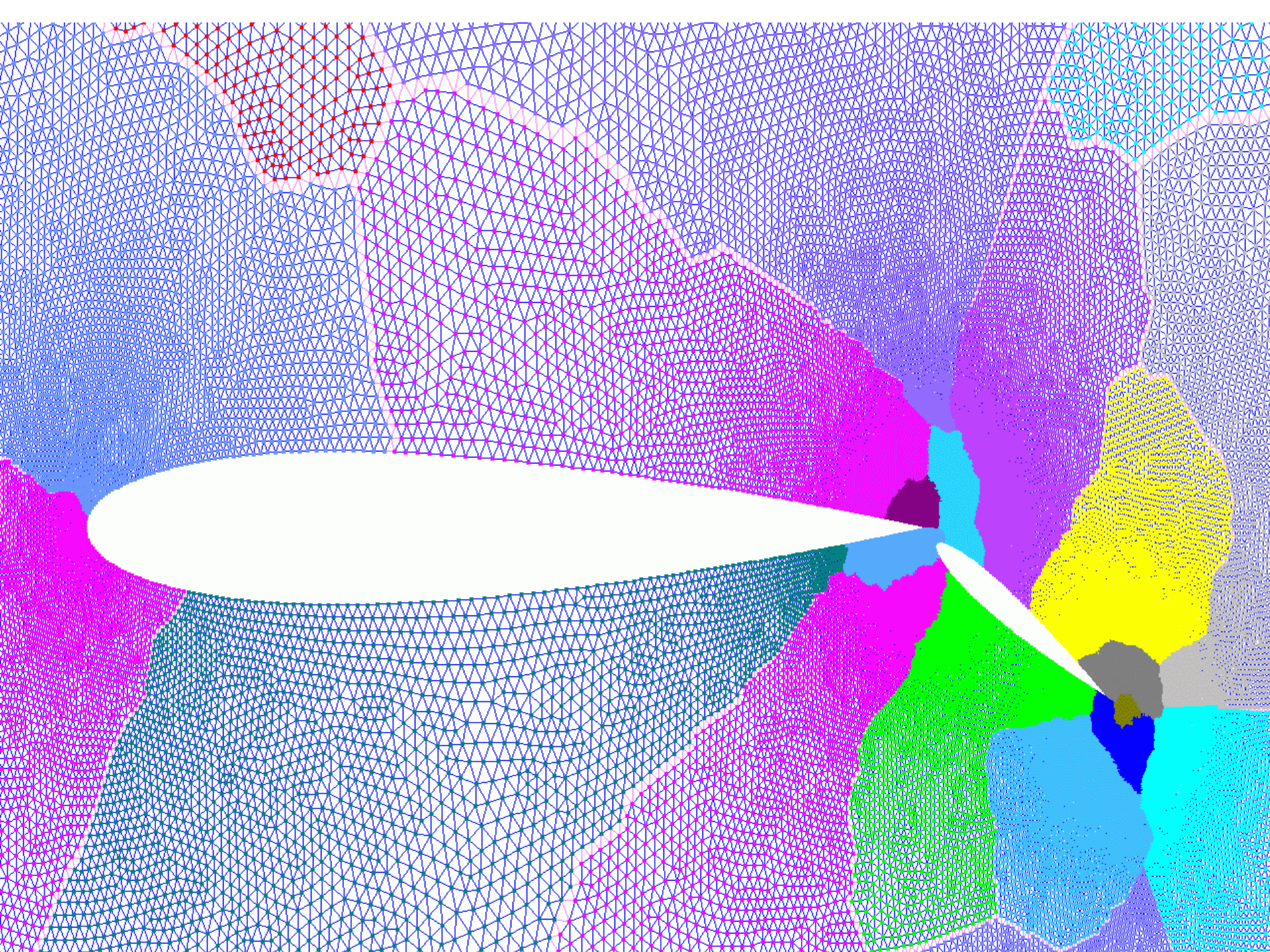


- Пакетный режим исполнения и отладки приложений
- Процедуры авторизованного доступа к удаленным системам
- Высокая динамика изменения конфигурации суперкомпьютеров
- Несоизмеримость ресурсов рабочей станции пользователя и суперкомпьютера

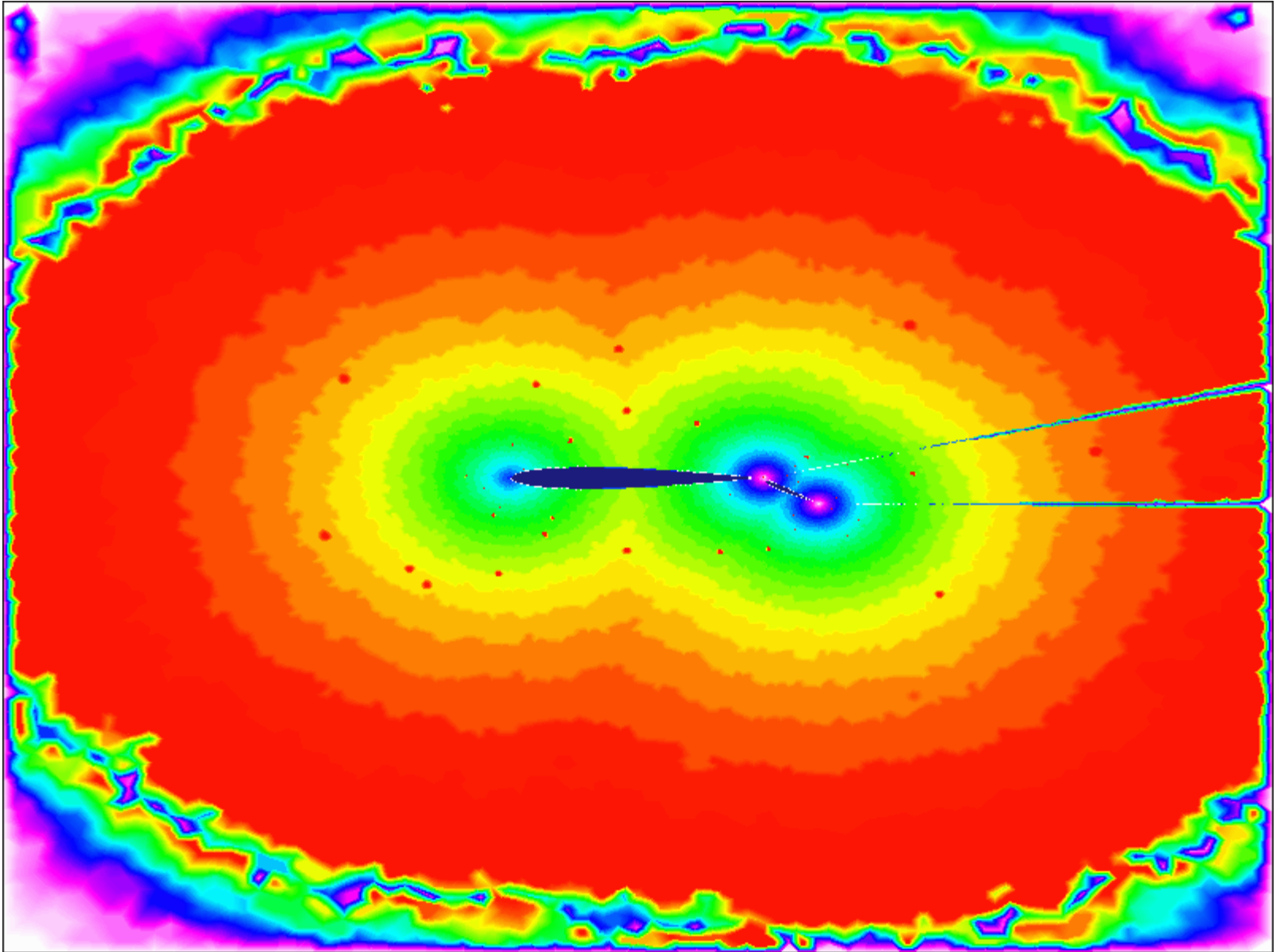
Статическая балансировка загрузки

- Критерии декомпозиции
- Инкрементный алгоритм декомпозиции
- Иерархическая обработка больших сеток

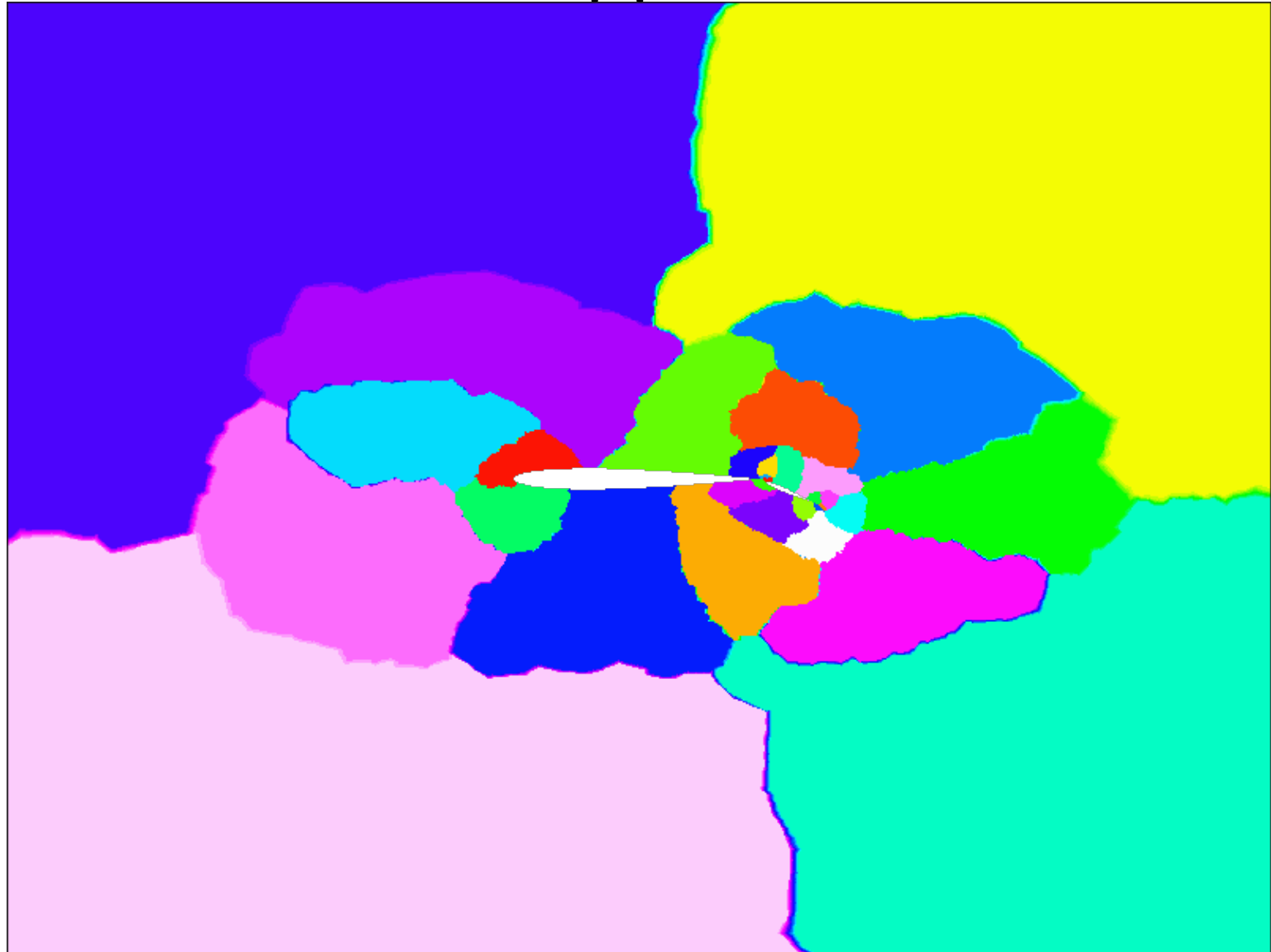




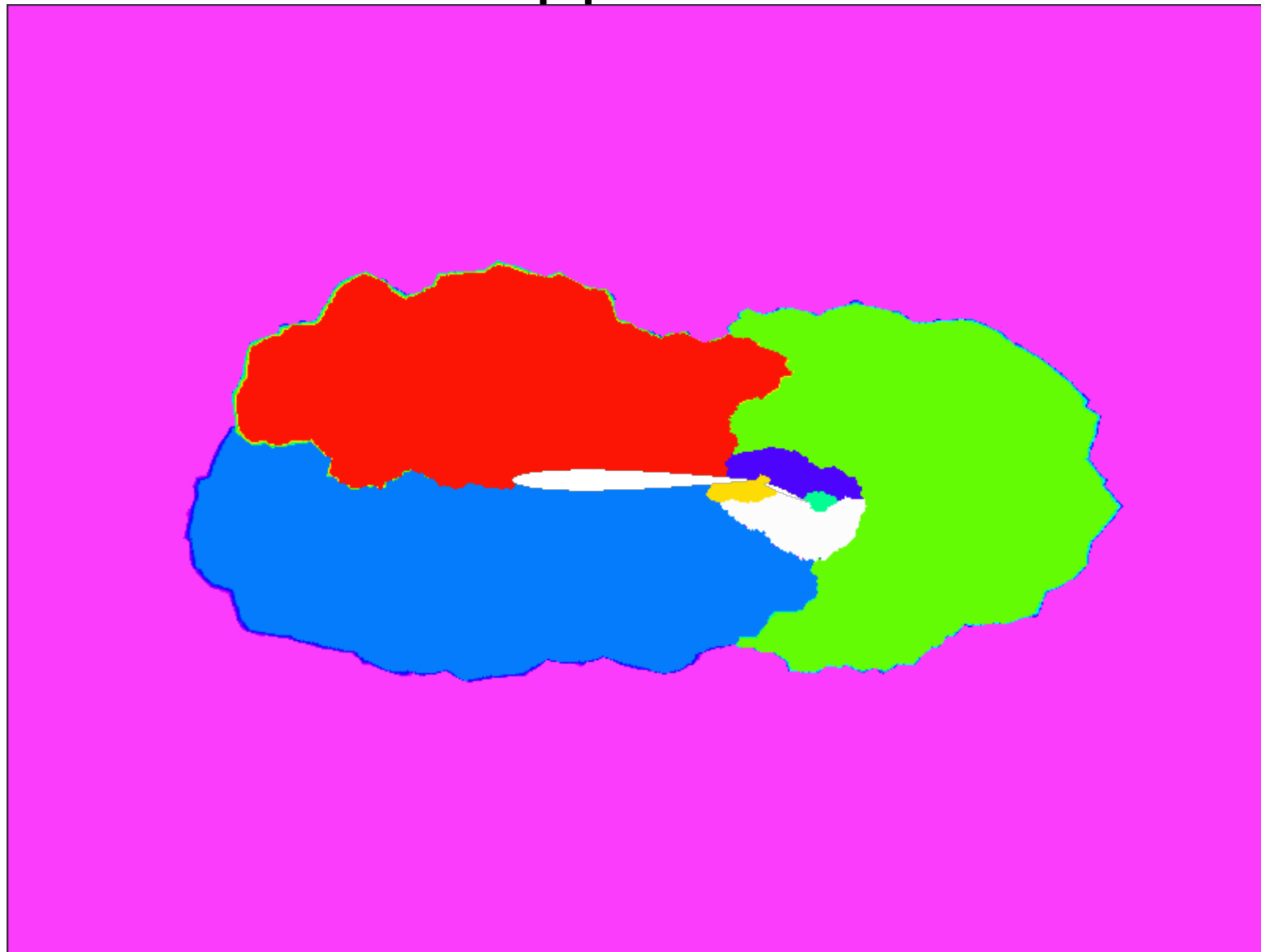
Простое разбиение на 32 домена



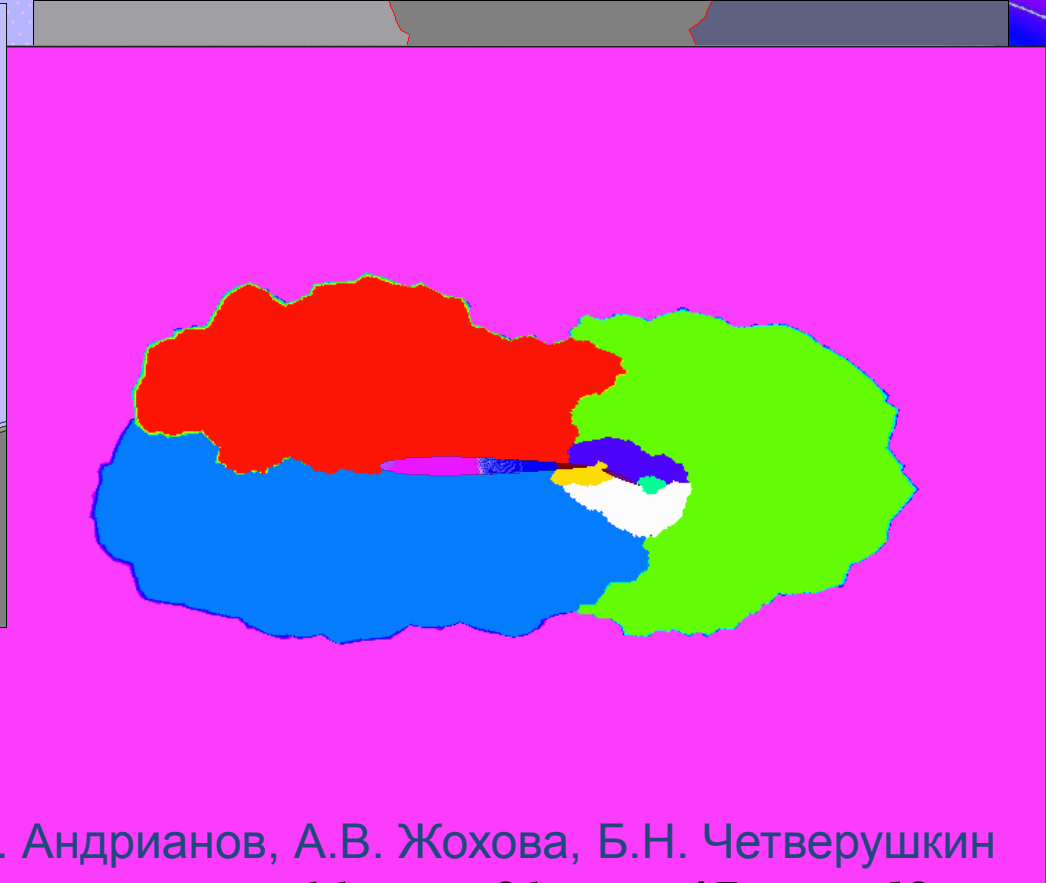
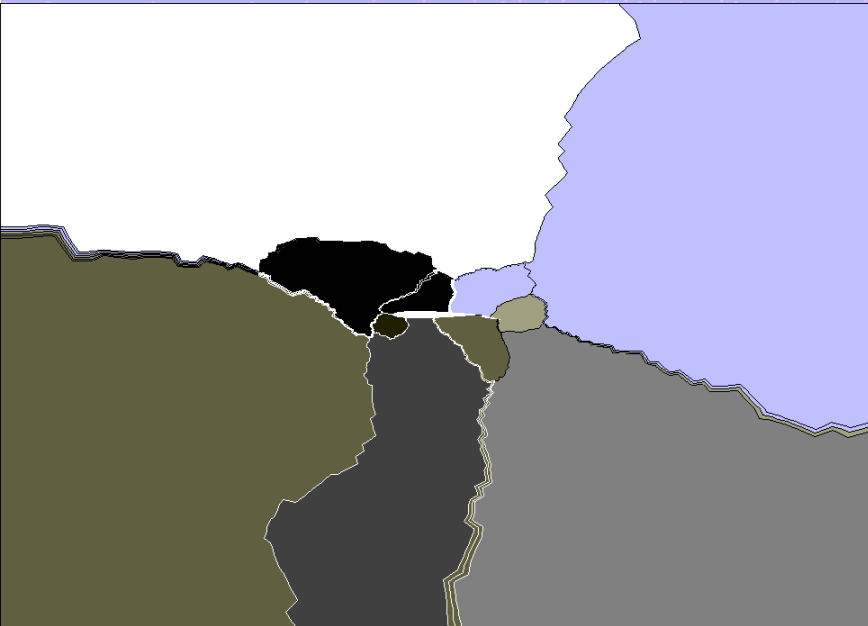
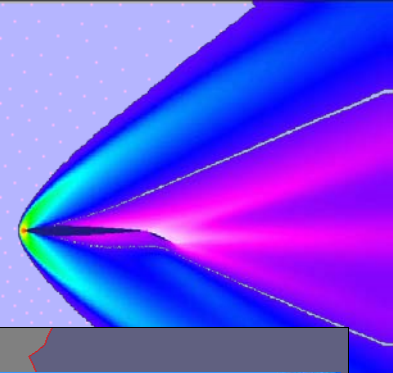
Рациональное разбиение на 32 домена



Рациональное разбиение на 8 доменов



Критерии декомпозиции графов



степени доменов

- Обеспечение связности доменов
- Обеспечение связности множества внутренних узлов доменов

А.Н. Андрианов, А.В. Жохова, Б.Н. Четверушкин

Процессоров	11	31	47	63
New_sort	13.59	5.59	4.38	4.16
METIS	13.61	11.00	11.10	10.56

Чему равно $25/4$?

6.25

$$25/4=$$

~~6.25~~

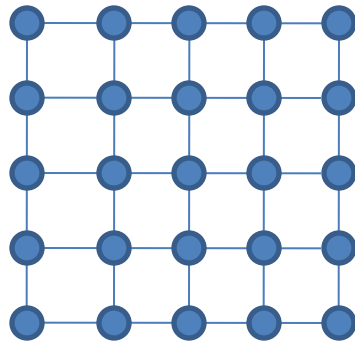
$$25/4=$$

6 ~~6.25~~ 9

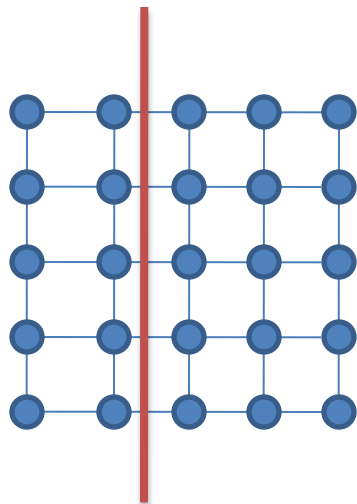
4

$$25/4 = 4 ? 6 ? 9$$

- Разрезать решетку 5 x 5 на 4 части

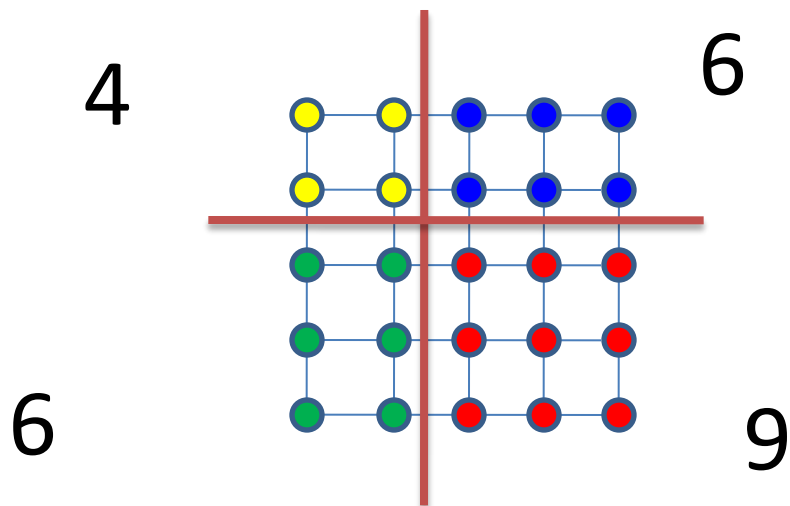


Декомпозиция сетки из 25 узлов на 4 части



$$25/4 = 4 ? 6 ? 9$$

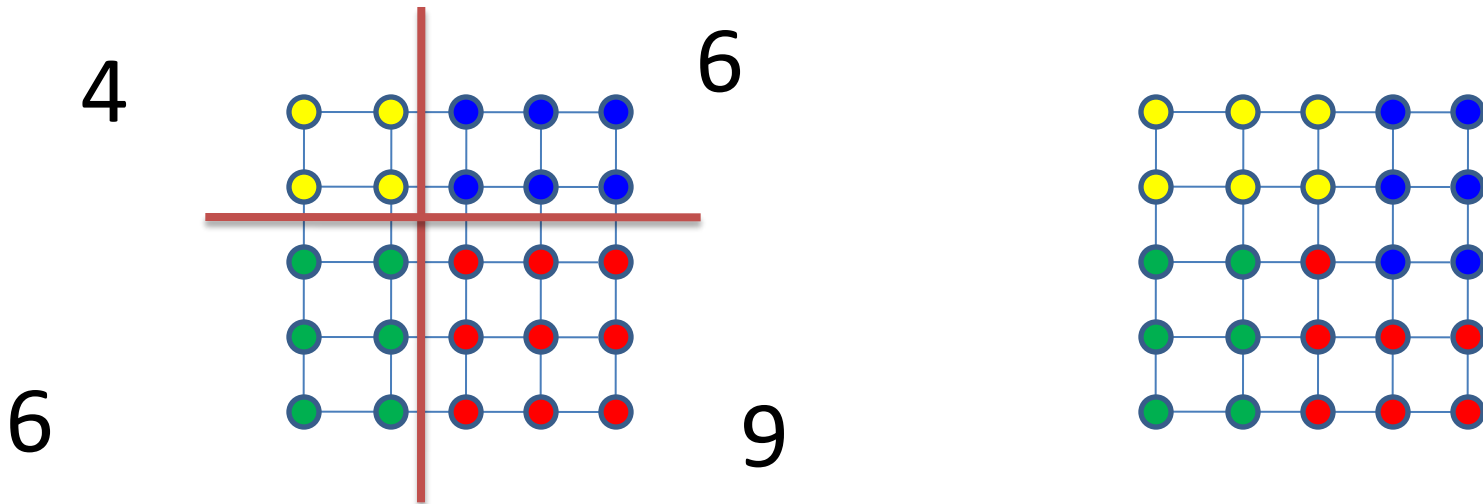
- Декомпозиция решетки 5 x 5 на 4 домена



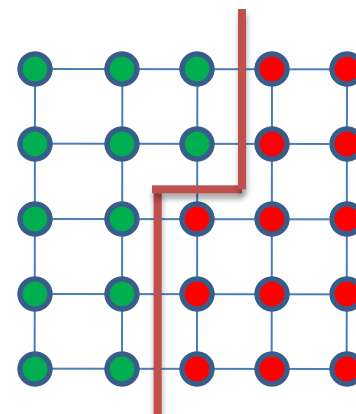
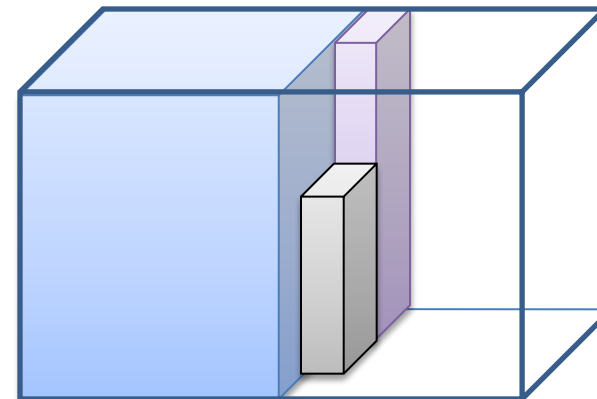
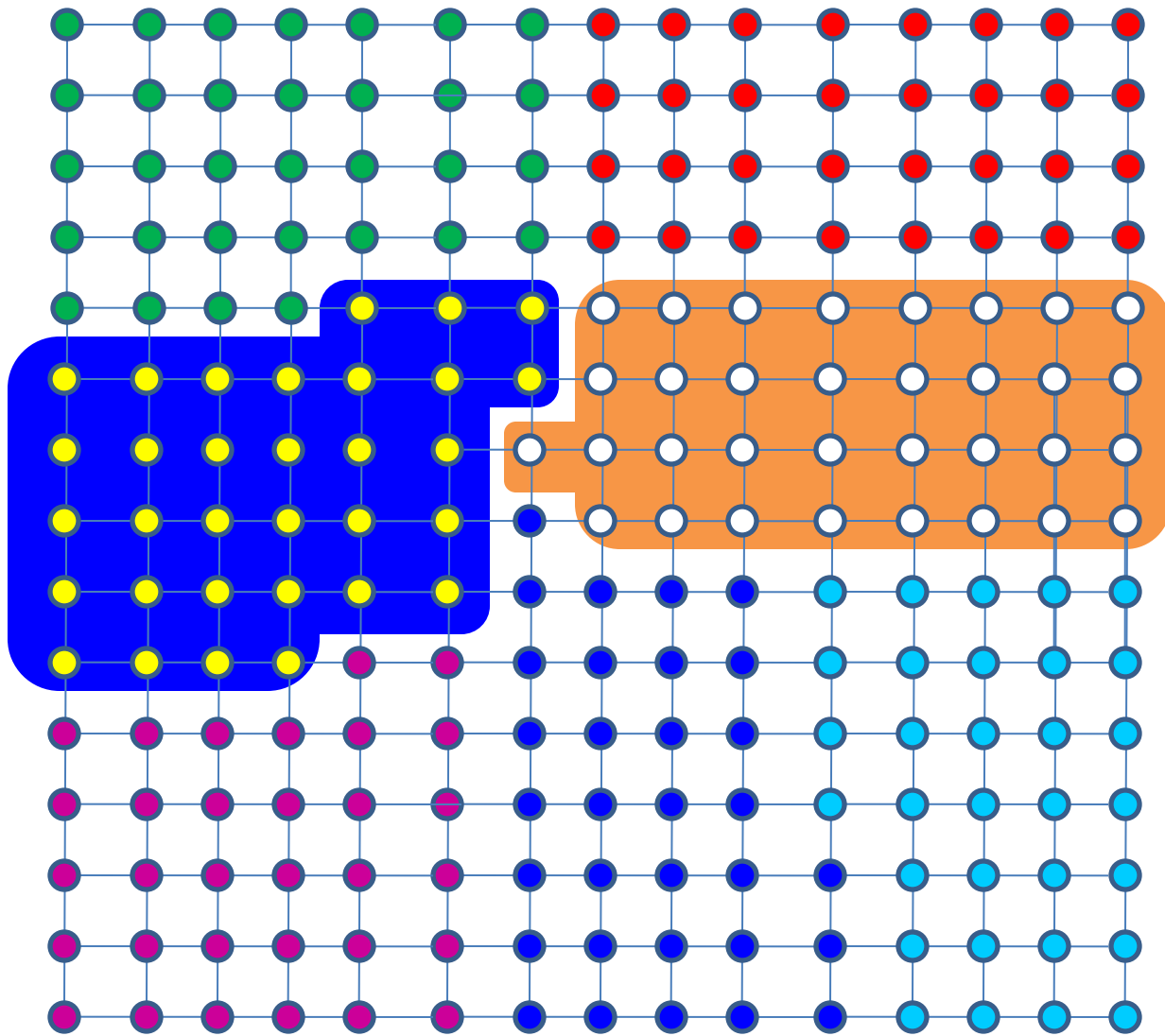
- Дисбаланс $9/4=2.25$

$$25/4 = 4 \ ? \ 6 \ ? \ 9$$

- Декомпозиция решетки 5 x 5 на 4 домена



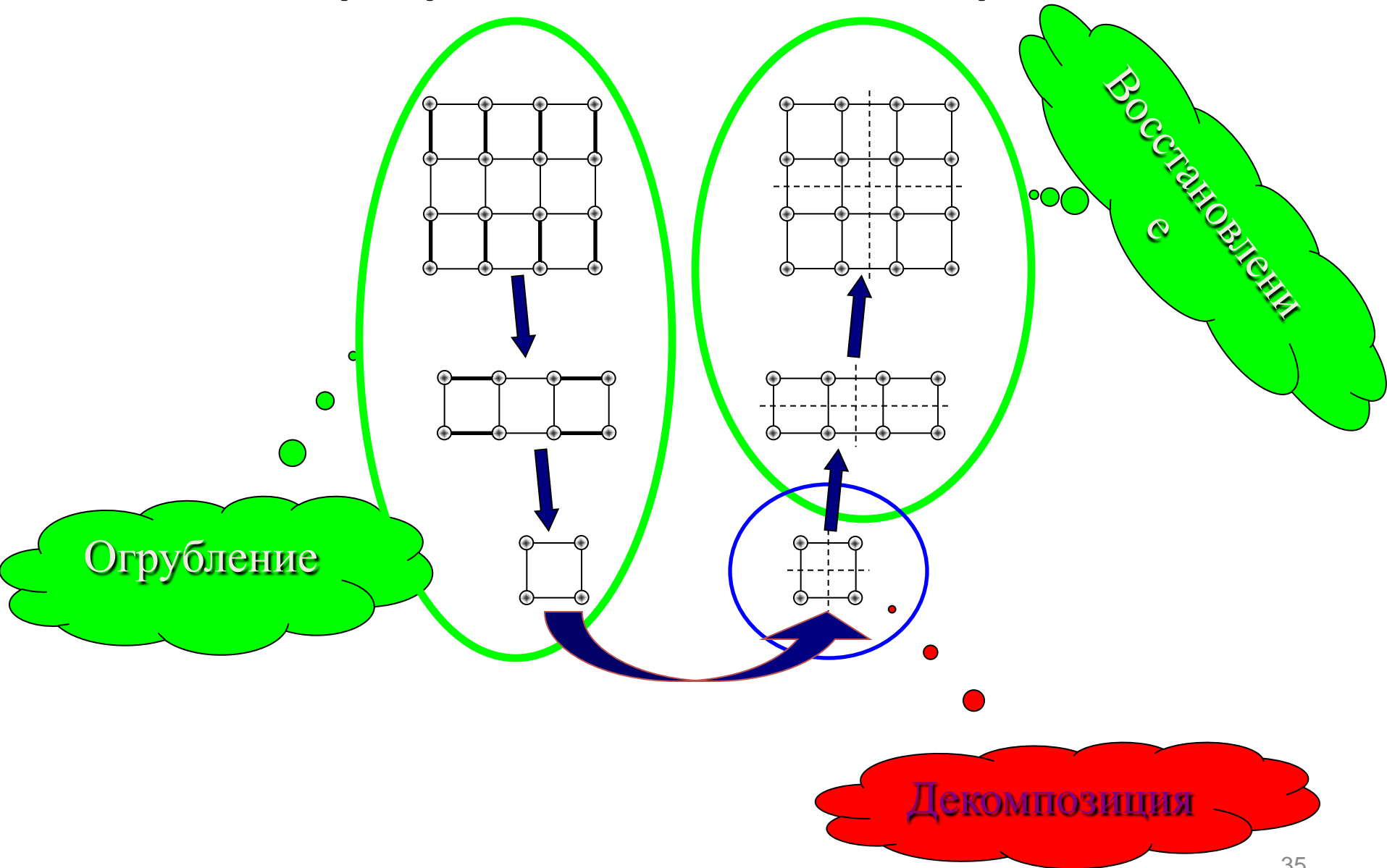
Декомпозиция сетки 25x25 на 7 частей



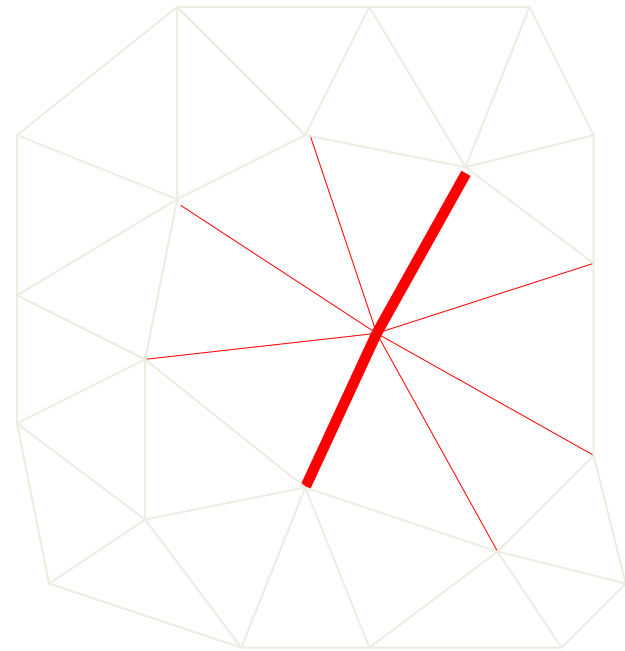
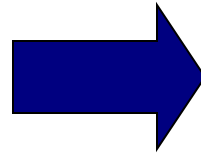
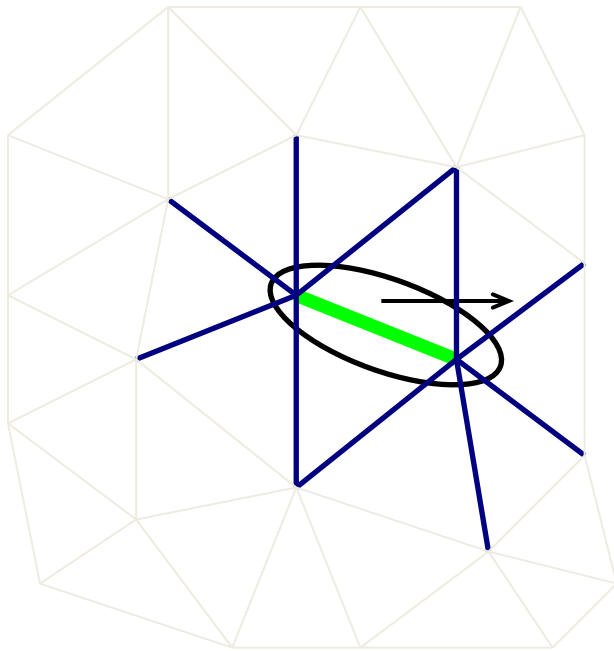
Пакеты декомпозиции графов

Chaco	Bruce Hendrickson Robert Leland
ParMETIS	George Karypis Vipin Kumar
PARTY	Robert Prais, et al.
JOSTLE	Chris Walshaw, et al.
SCOTCH	Francois Pellegrini

Иерархический алгоритм



Огрубление графа

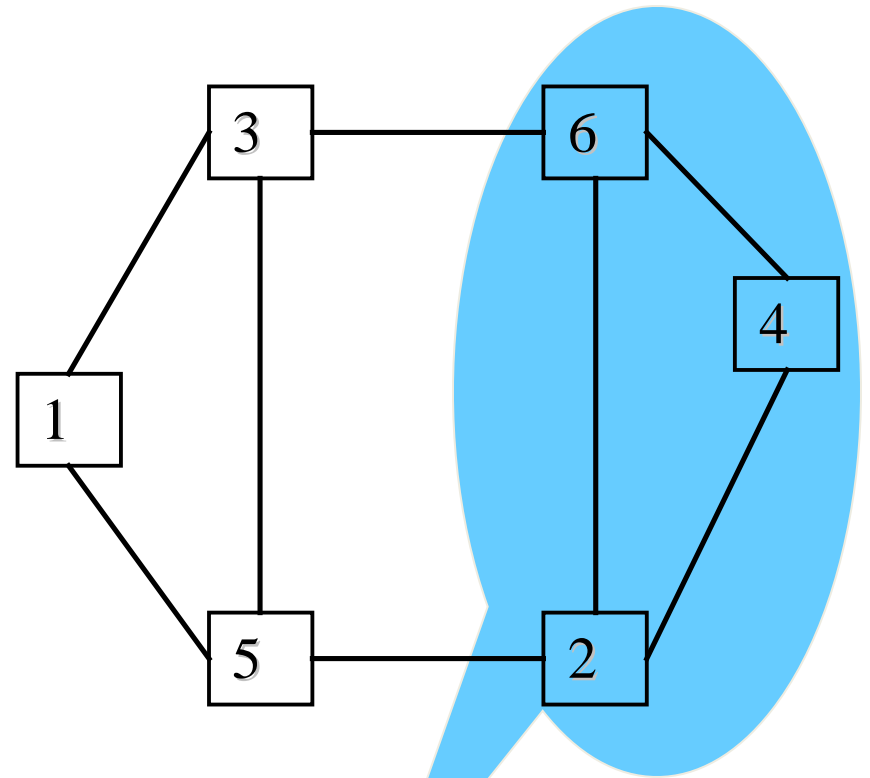


Спектральный метод

$$A = \begin{pmatrix} -2 & 0 & 1 & 0 & 1 & 0 \\ 0 & -3 & 0 & 1 & 1 & 1 \\ 1 & 0 & -3 & 0 & 1 & 1 \\ 0 & 1 & 0 & -2 & 0 & 1 \\ 1 & 1 & 1 & 0 & -3 & 0 \\ 0 & 1 & 1 & 1 & 0 & -3 \end{pmatrix}$$

$$\lambda_2 = -1$$

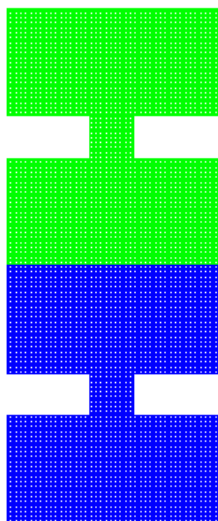
$$x_2 = (2, -1, 1, -2, 1, -1)$$



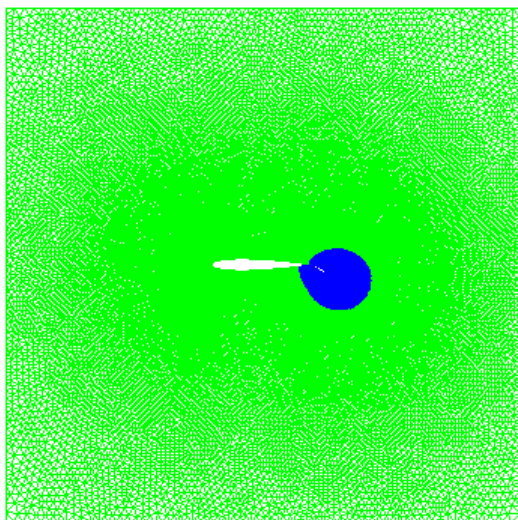
$$s = (4, 2, 6, 3, 5, 1)$$

Метод спектральной бисекции

Spectral Partition

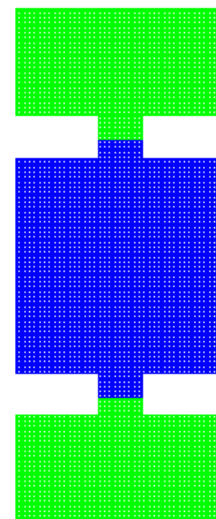


100 cut edges

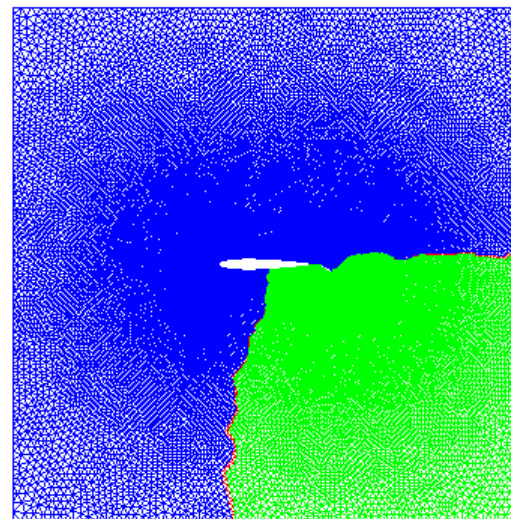


655 cut edges

Metis Partition

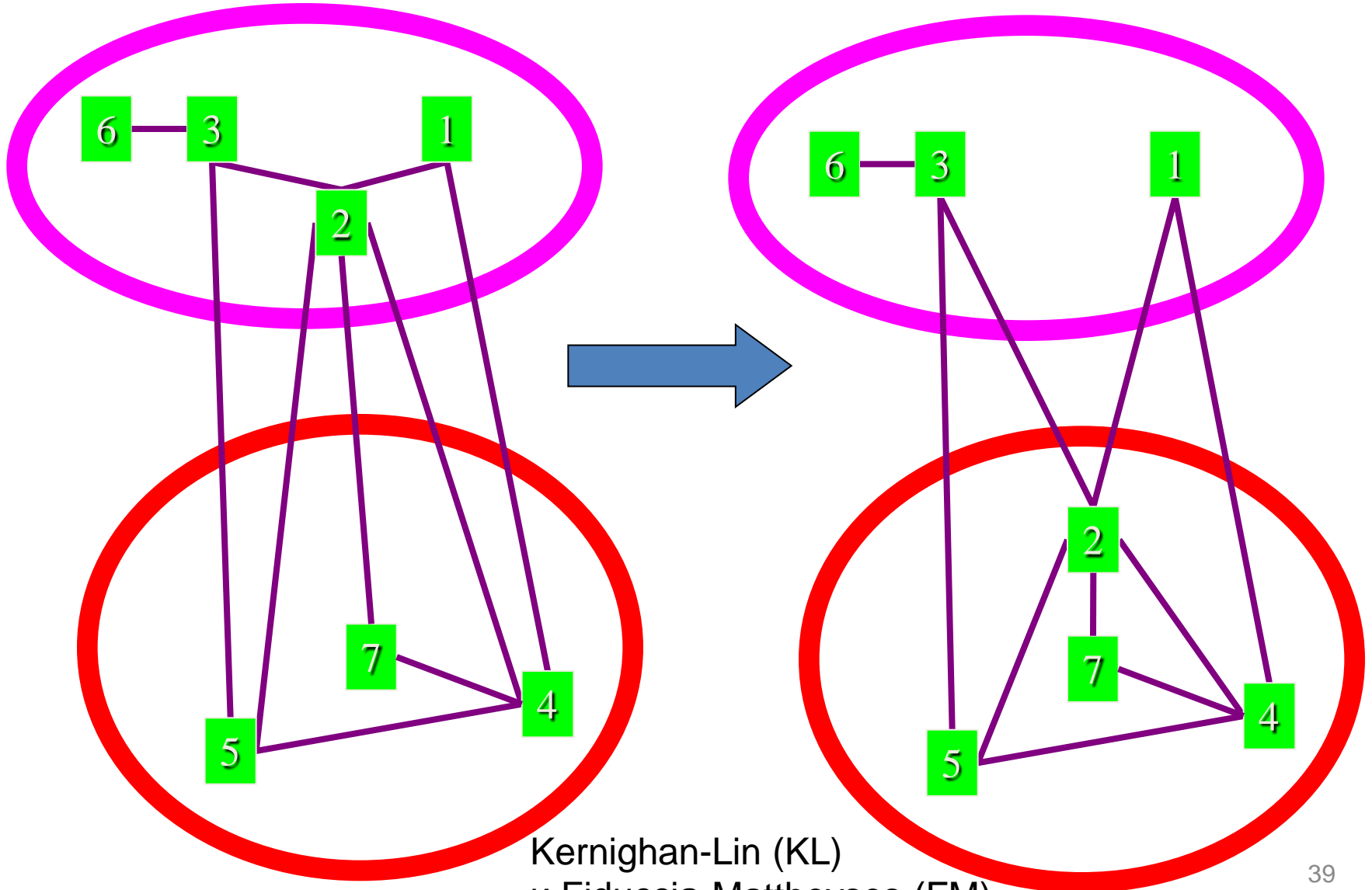


42 cut edges



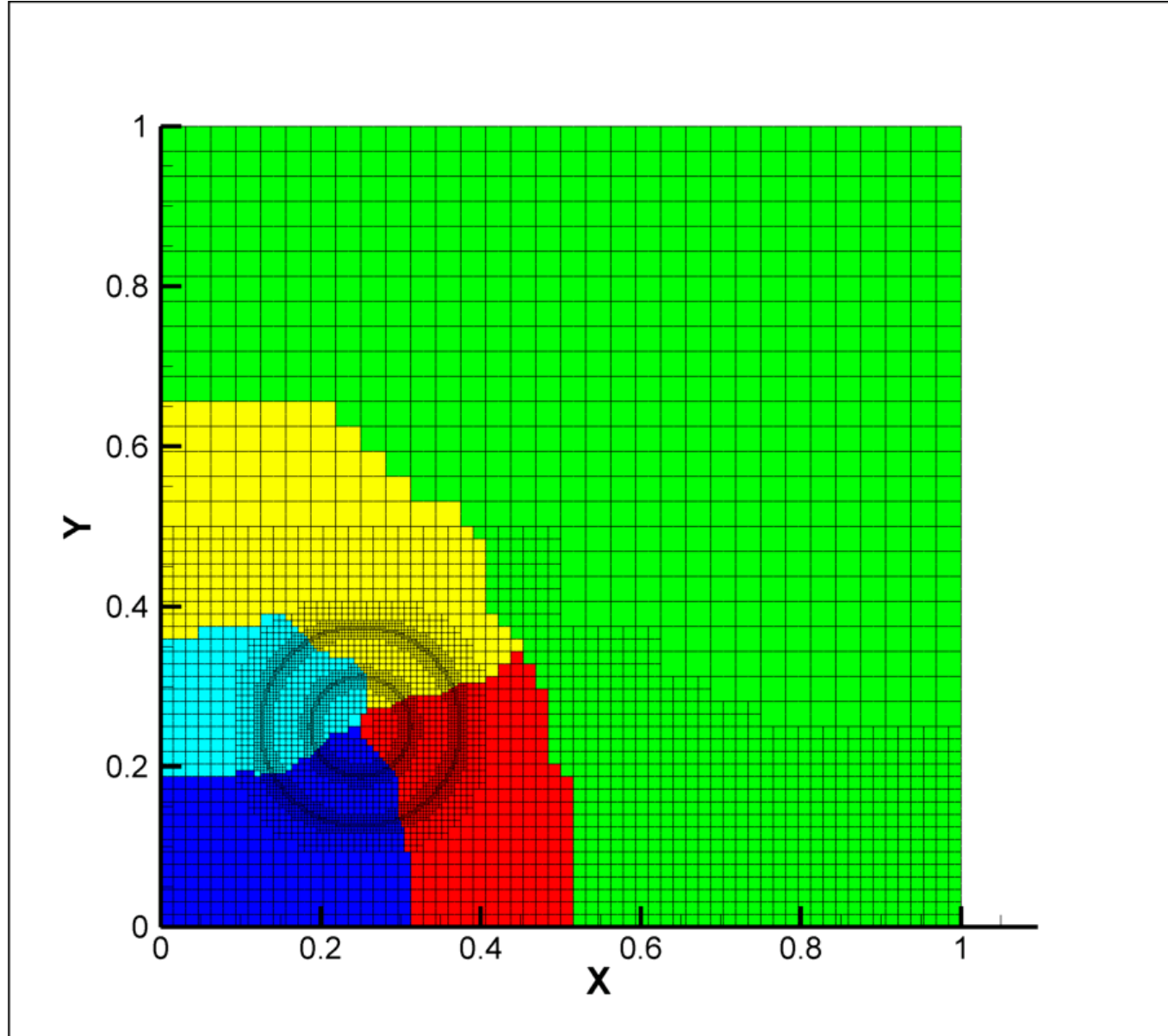
524 cut edges

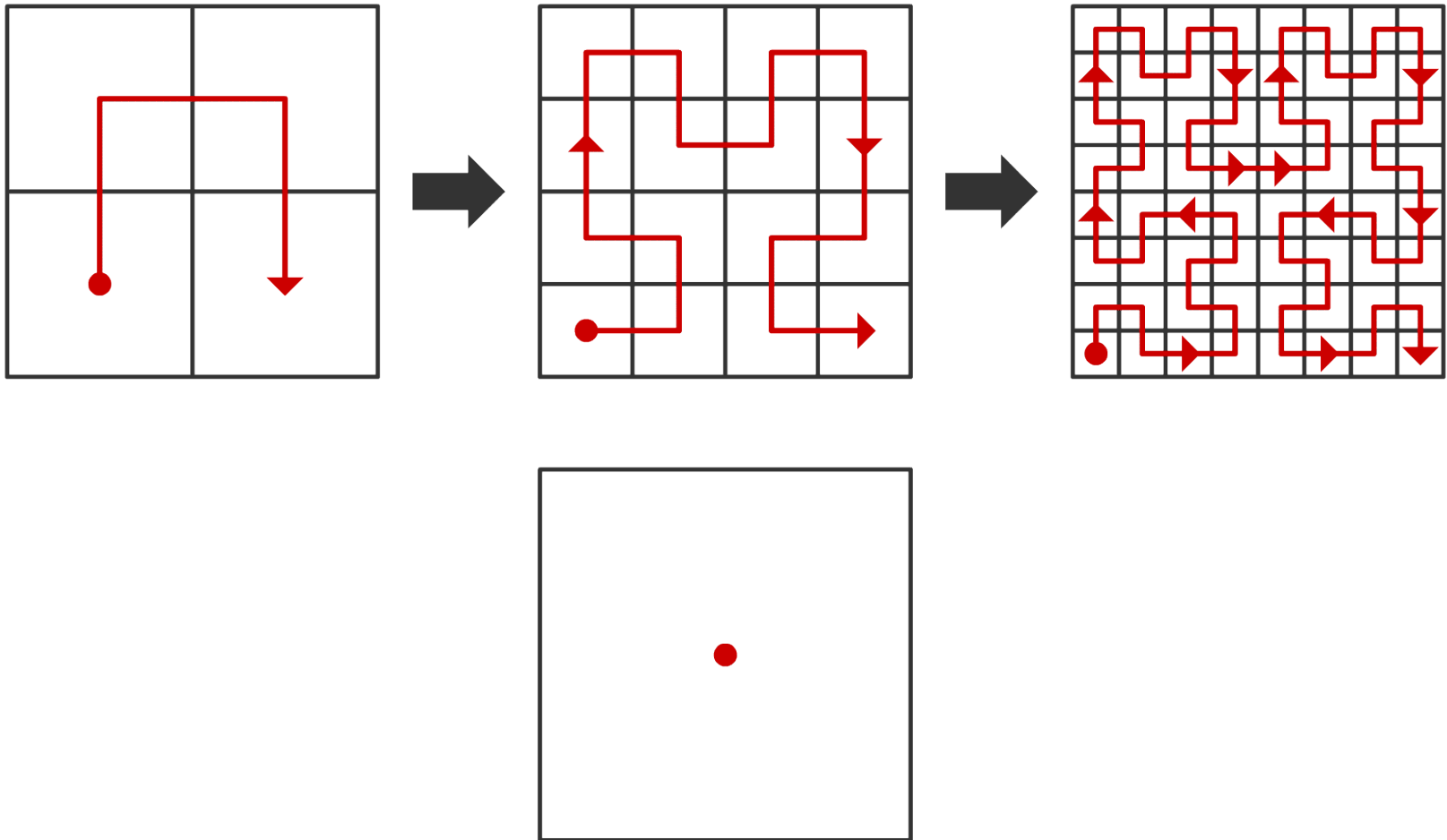
Локальное уточнение



Kernighan-Lin (KL)
и Fiduccia-Mattheyses (FM)

Декомпозиция пакетом Metis





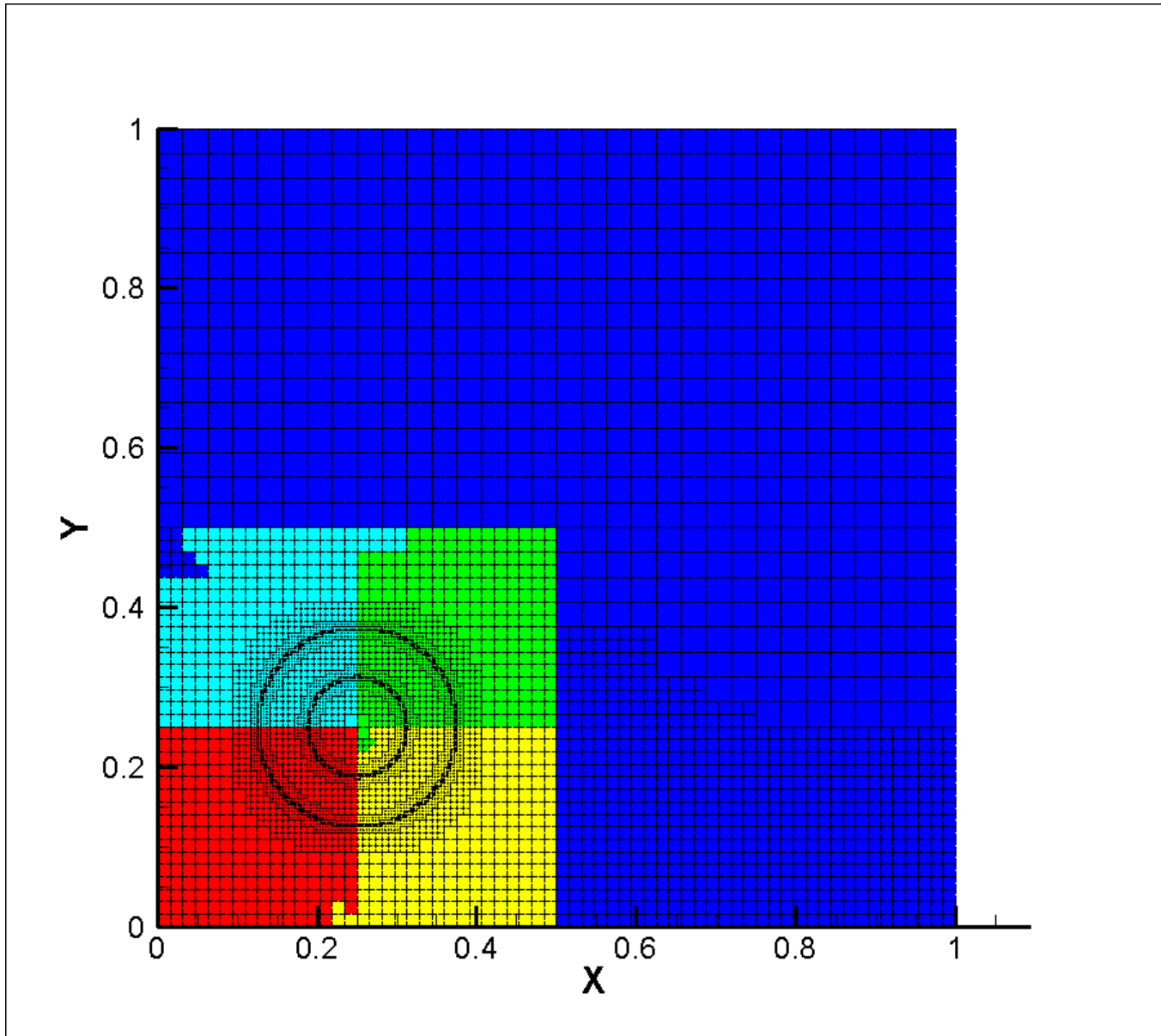
Hilbert-curve ordering

This ordering can be built by simple recursive procedure.

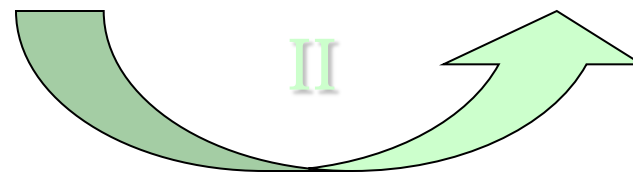
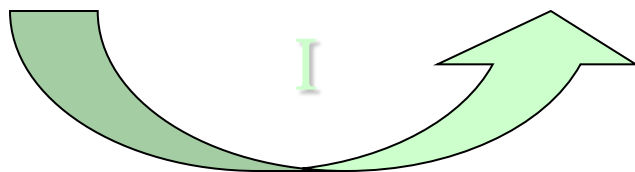
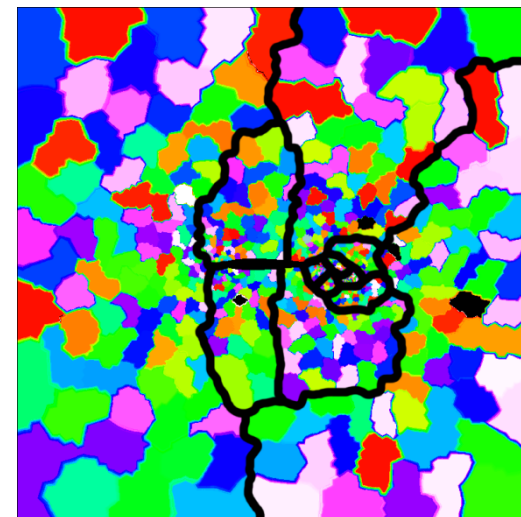
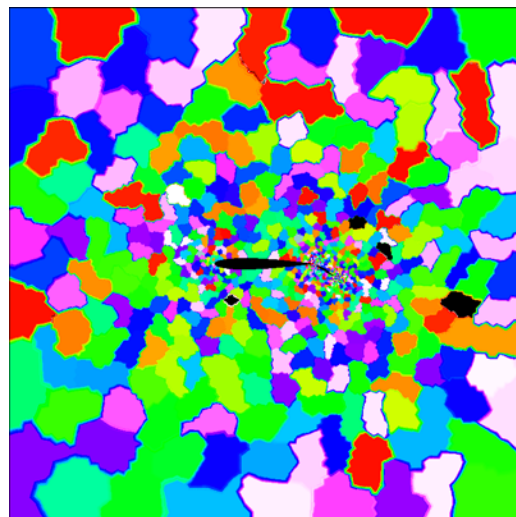
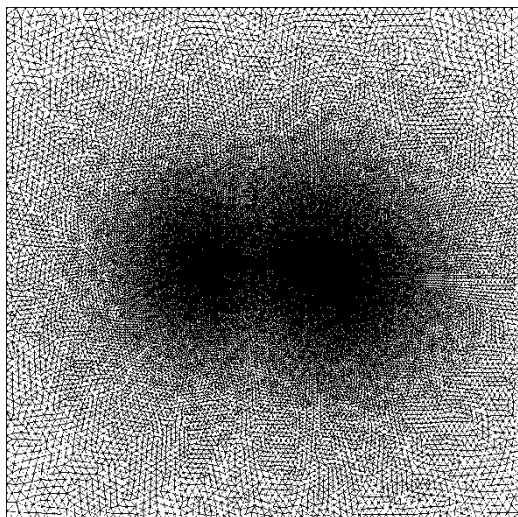
When mesh changes locally, Hilbert curve changes locally too.

It cannot be used for parallel computations due to chain dependence of elements.

Декомпозиция по кривой Гильберта



Двухуровневое разбиение



Сетка предварительно разбивается на большое число *микродоменов*, образующих *макрограф*

Вершины макрографа распределяются по процессорам

Разбиение тетраэдральной сетки, содержащей $2 \cdot 10^8$ узлов, на 125 процессорах

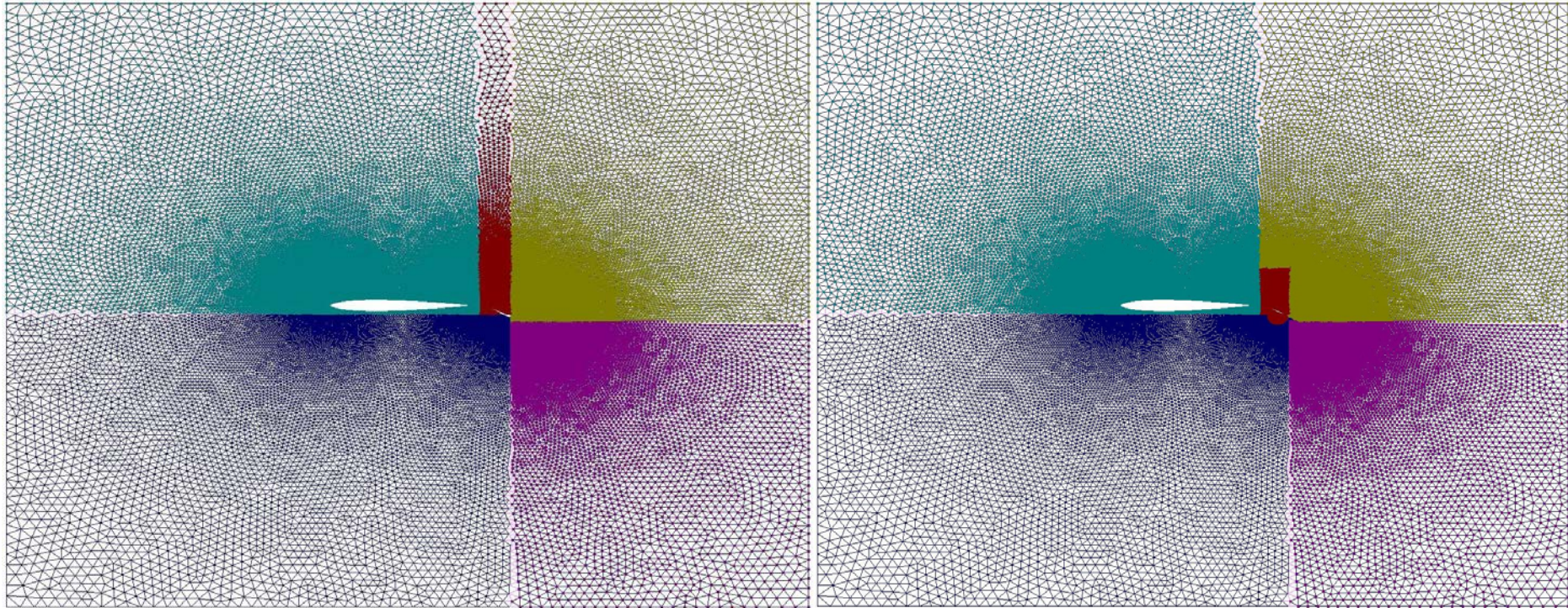
- вычисления производились на кластере СКИФ МГУ (1250 4-ядерных процессоров, 60 TFlop/s)

		геометрическая декомпозиция		ParMETIS	
число доменов		80 000		20 000	
время		21 сек.		10 сек.	
число вершин в домене		2612	2613	2 328	10 932
мин.	макс.				
среднее число связей с соседними доменами		14		14	
число некомпактных доменов		229		364	

Треугольная сетка из 75790 вершин (пространство вокруг крыла)

результат геометрической
декомпозиции на 5 групп
(в дальнейшем каждый процессор
считывает свою группу вершин)

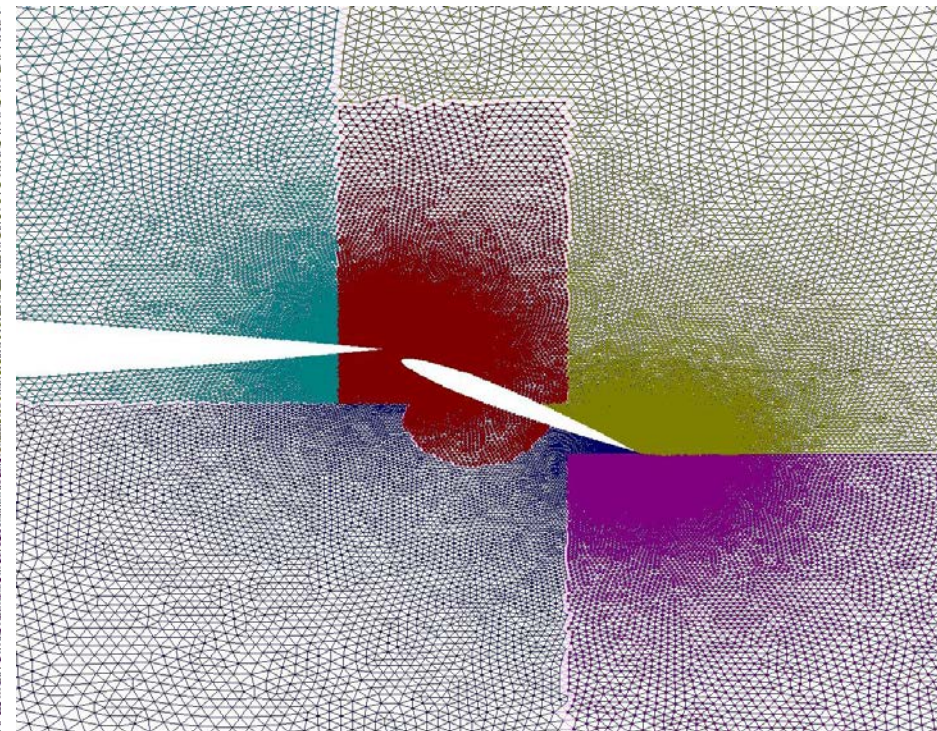
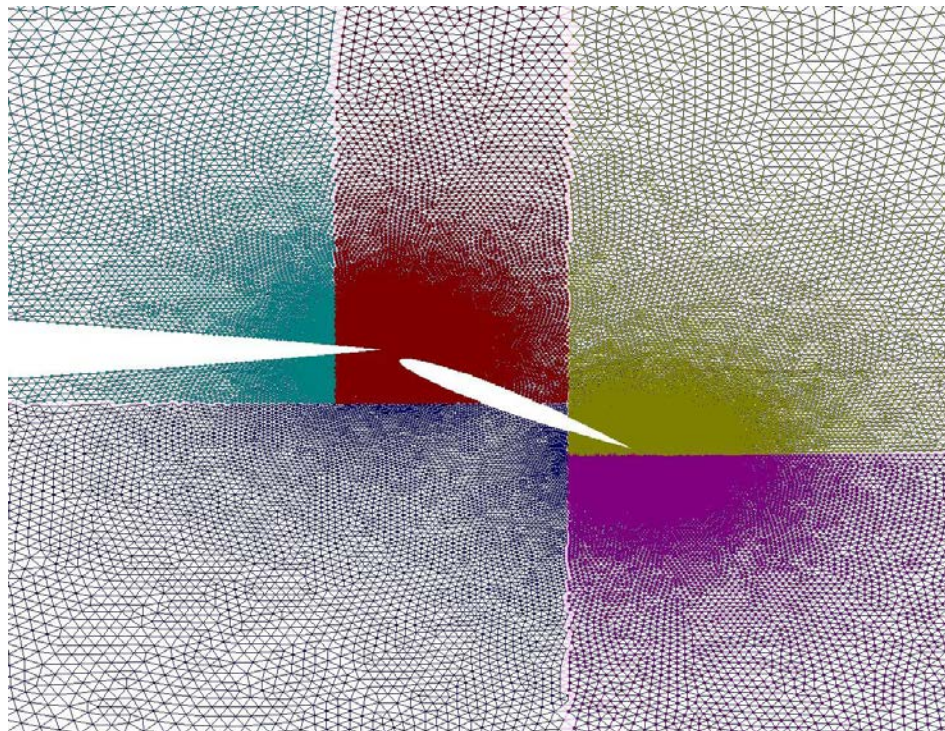
результат перераспределения
малых блоков вершин



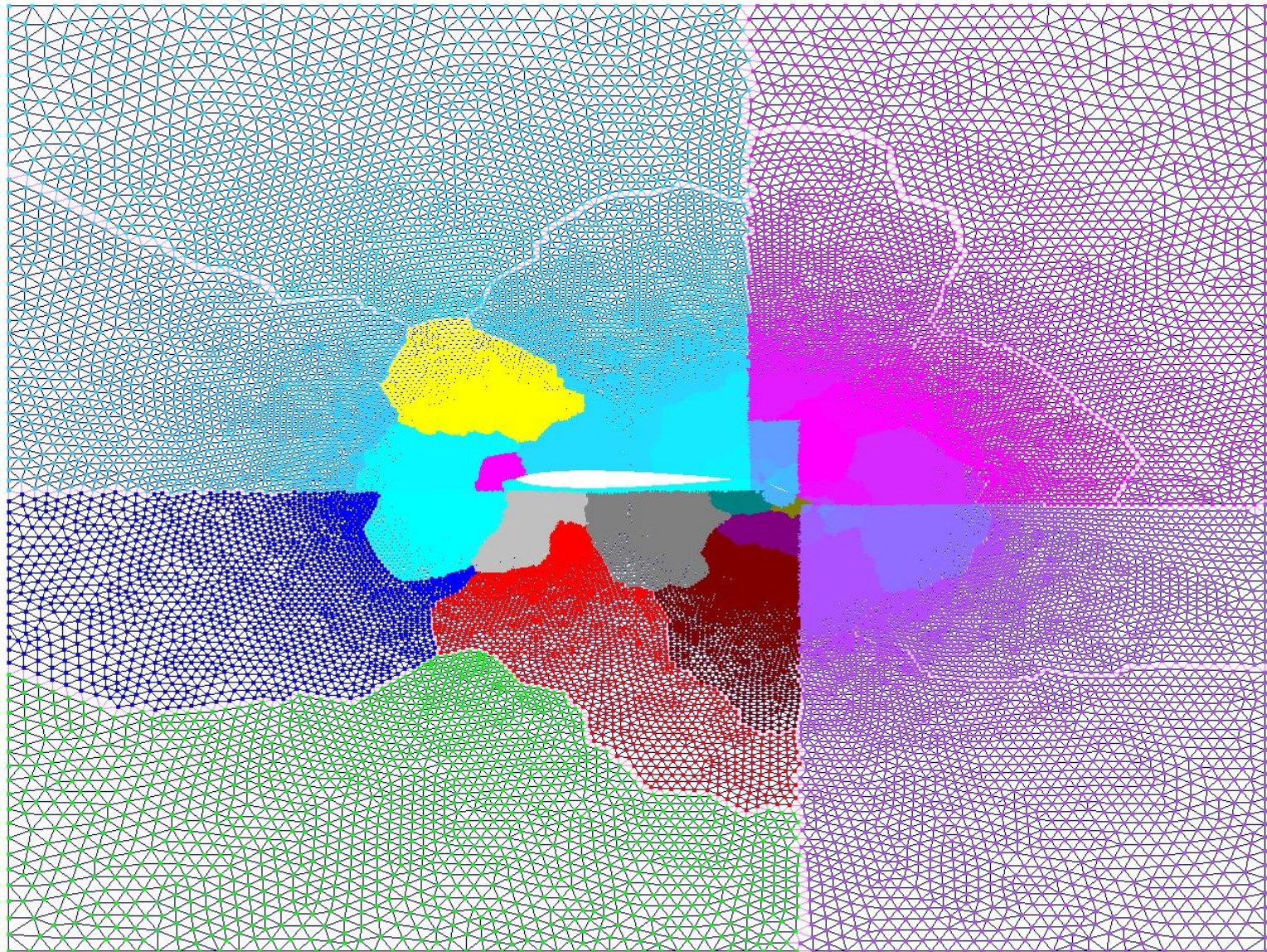
Фрагмент треугольной сетки из 75790 вершин

результат геометрической
декомпозиции

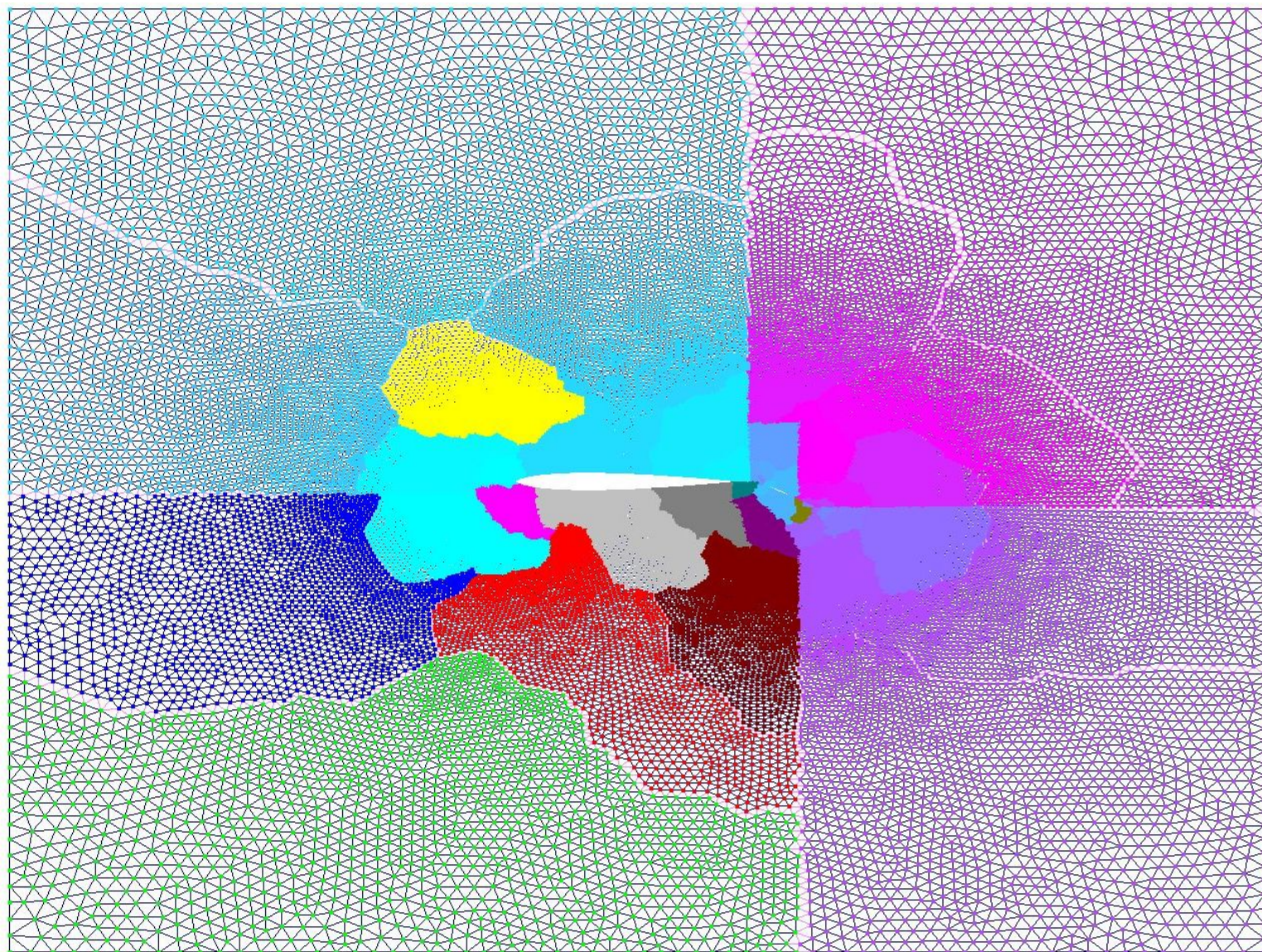
результат перераспределения
малых блоков вершин



Результат локального разбиения сетки из 75790 вершин на 50 доменов на 5 процессорах



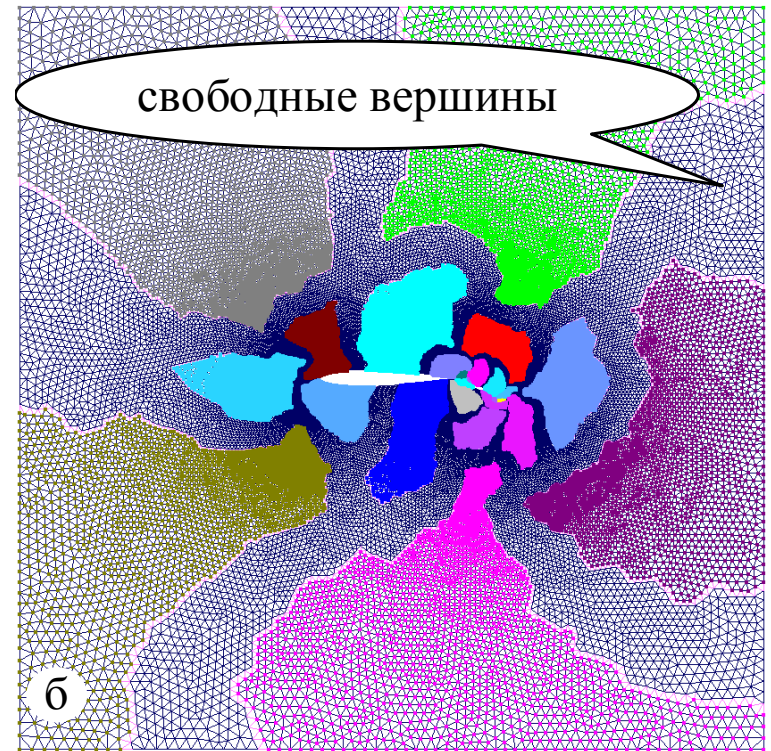
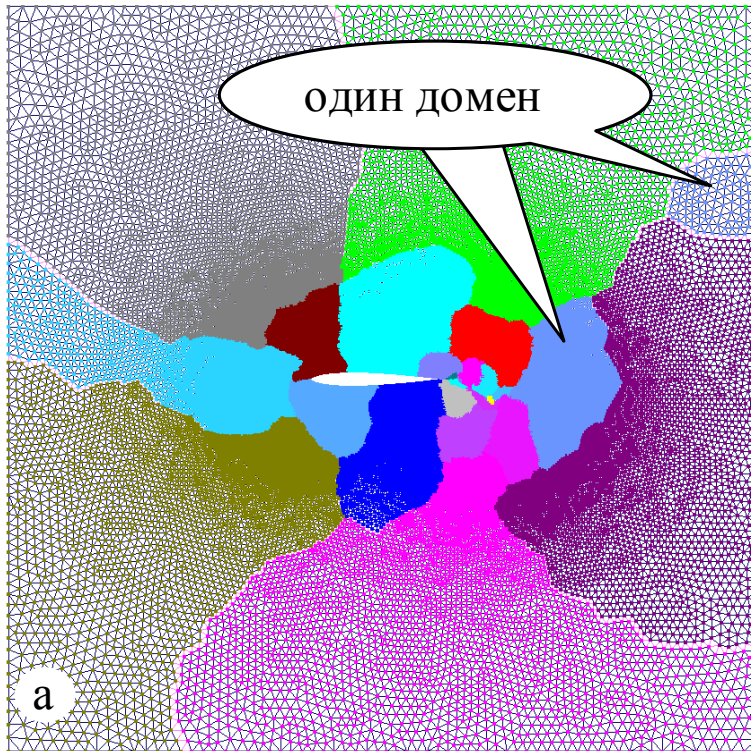
Результат сбора плохих групп доменов и их повторного разбиения



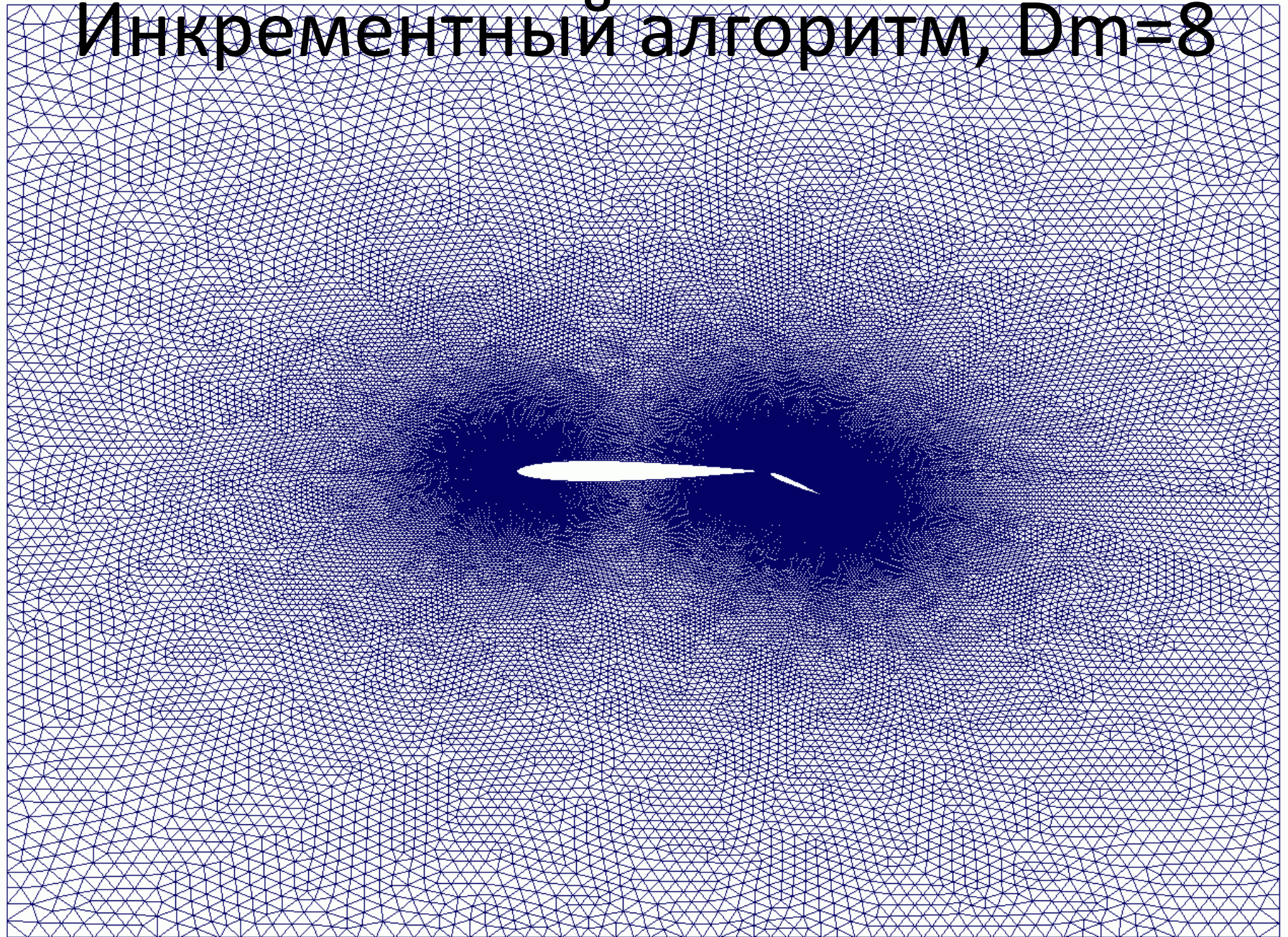
Инкрементный алгоритм декомпозиции графа



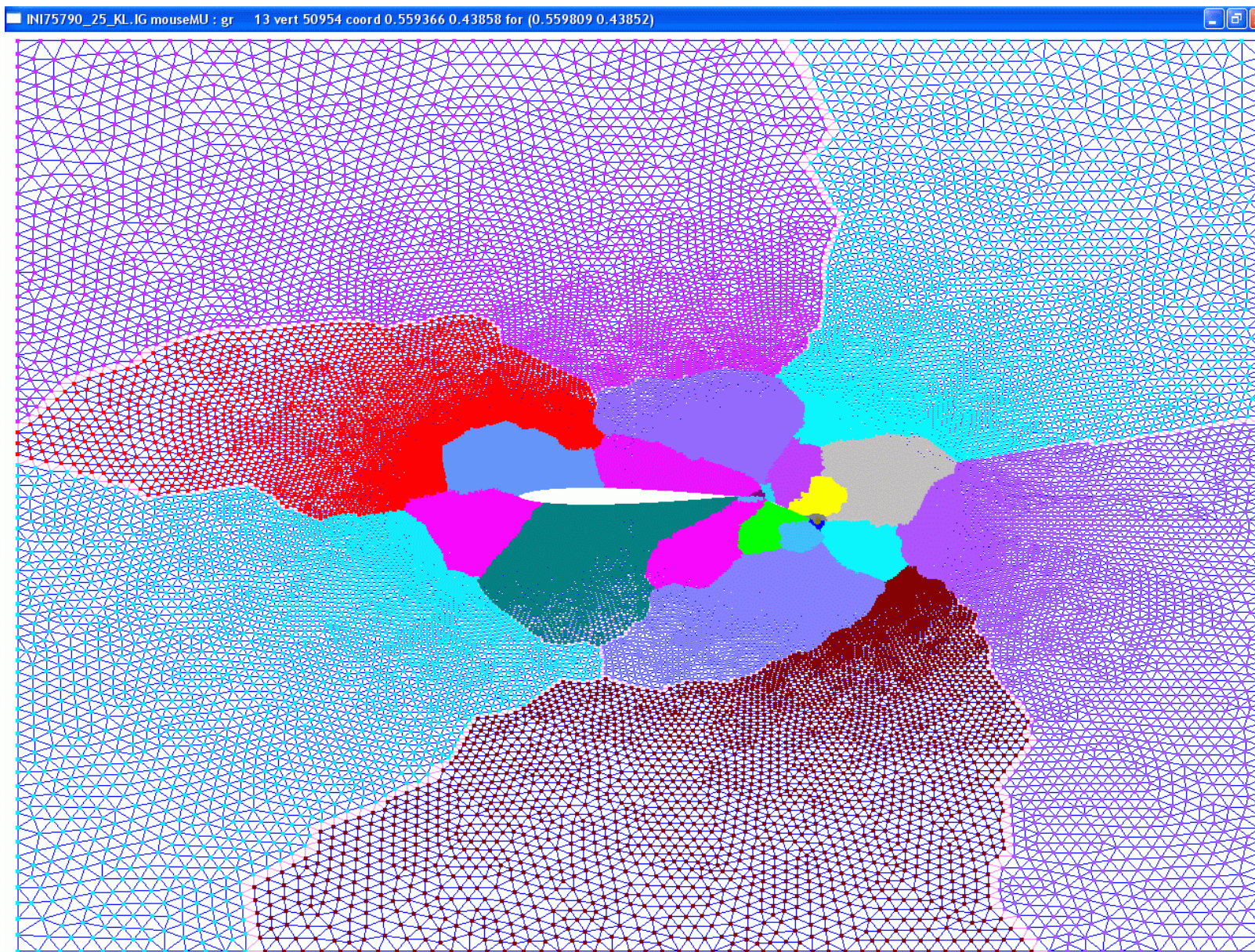
Редуцирование доменов



Инкрементный алгоритм, $Dm=8$

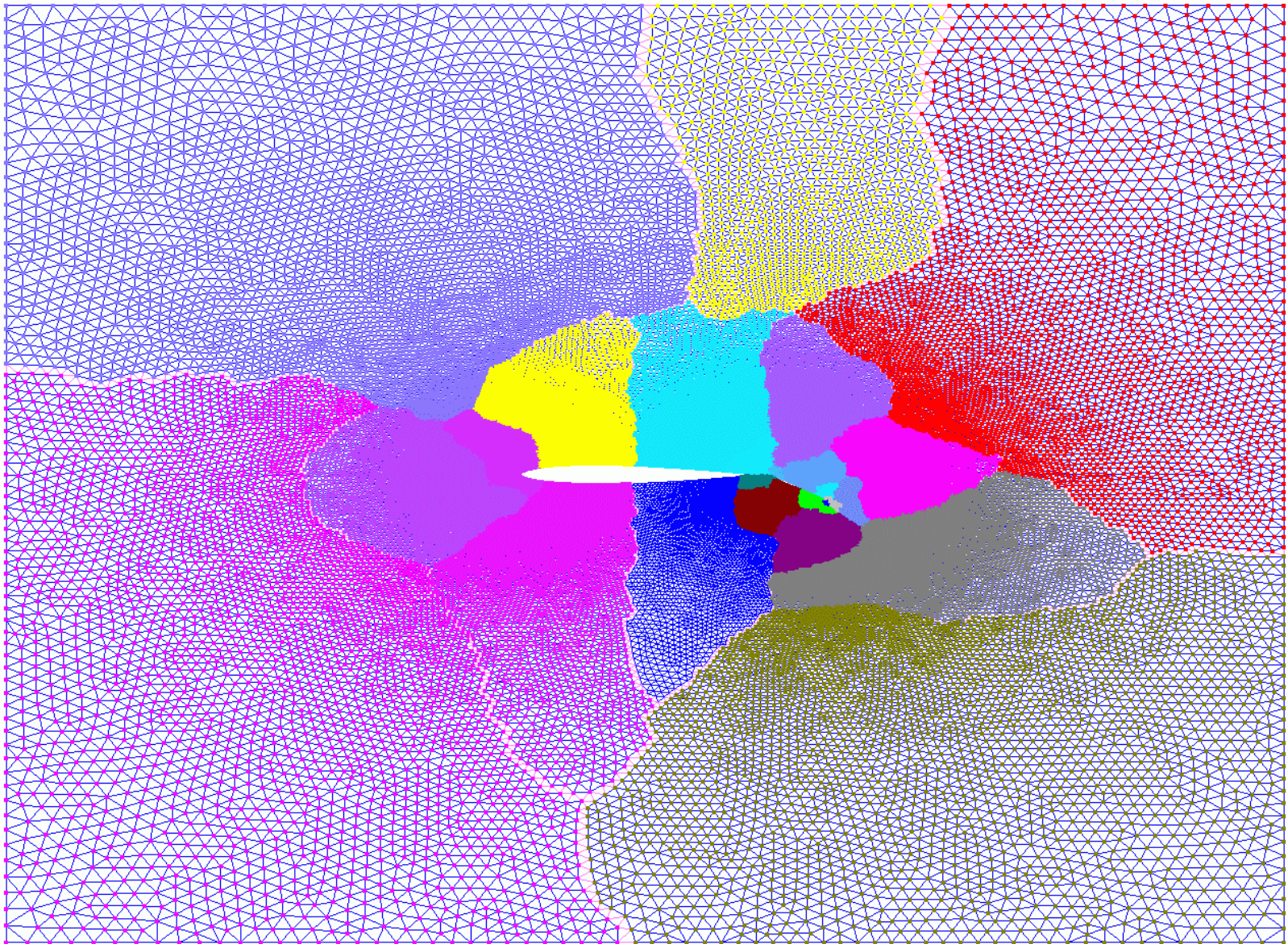


Инкрементный алгоритм, $Dm=25$

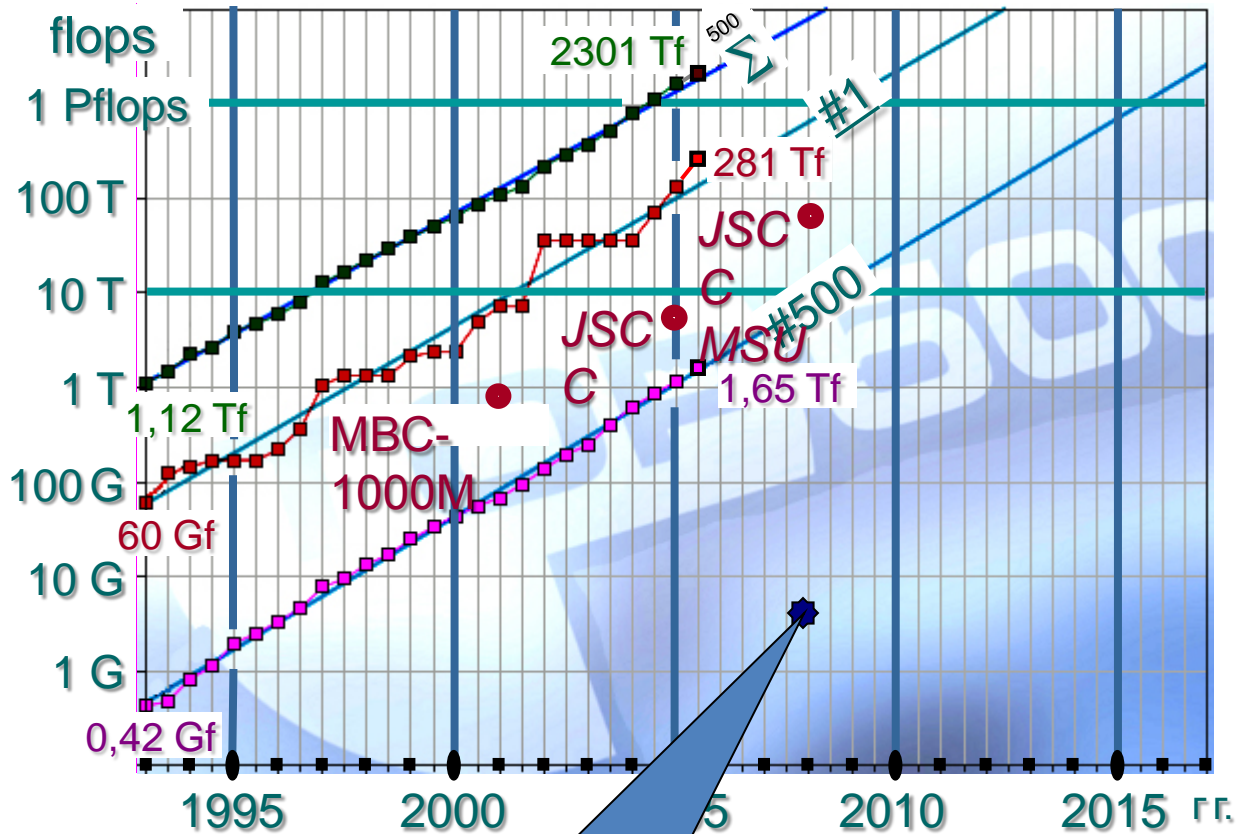


Kmetis, $Dm=25$

INI75790_25_KL.IG mouseMU : gr 0 vert 57382 coord 0.54902 0.409244 for (0.548619 0.410564)



Визуализация сеточных данных



Workstation: 1/100 000

TOP 500

- Оперативная память
- Кеш
- Операционные устройства
- Множественный доступ
- Бета-тестер





Визуализация

- Скалярные
- Векторные

- Стационарные
- Зависящие от времени

- Решетки
- Треугольные и тетраэдральные сетки



Этапы визуализации

Запись

Сетка

Сеточная функция

Чтение

Формирование объектов виртуальной сцены

Отображение

Методы

- Распределенное иерархическое хранение
- Декомпозиция
- Огрубление с контролируемой точностью
- Клиент-серверная технология

- Поточковая обработка
- Хранение образов

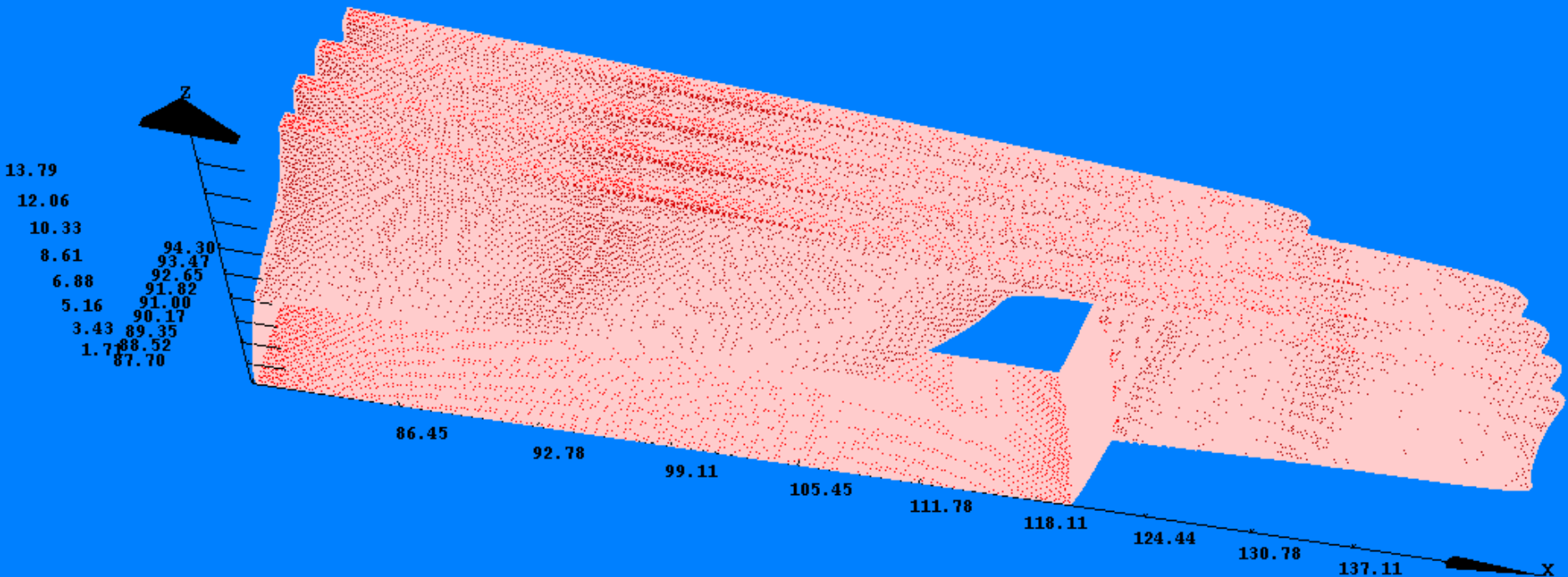
Визуализация сеточных данных

OpenGL Engine v0.64i1 080719

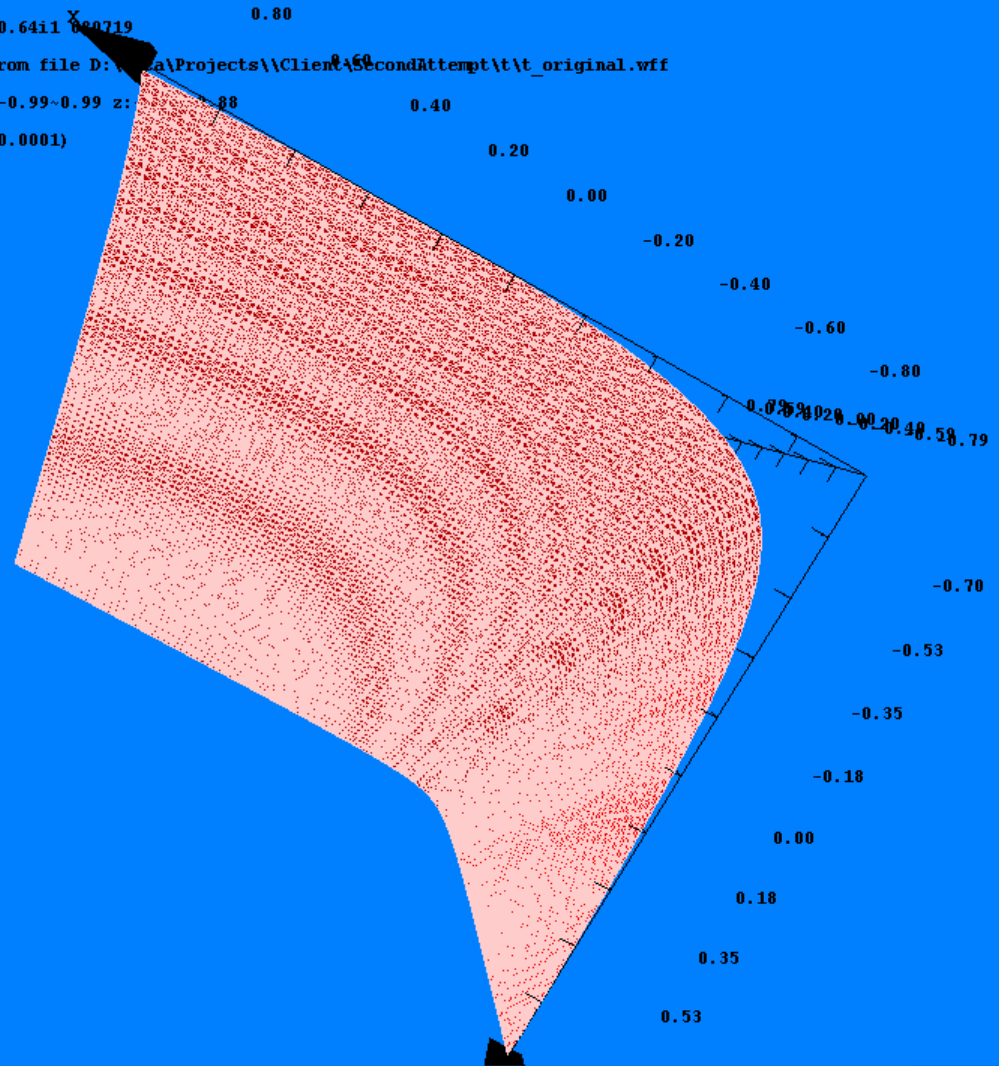
file:v008.bjn func:T

x:80.12~143.44 y:86.88~95.13 z:-0.02~17.24

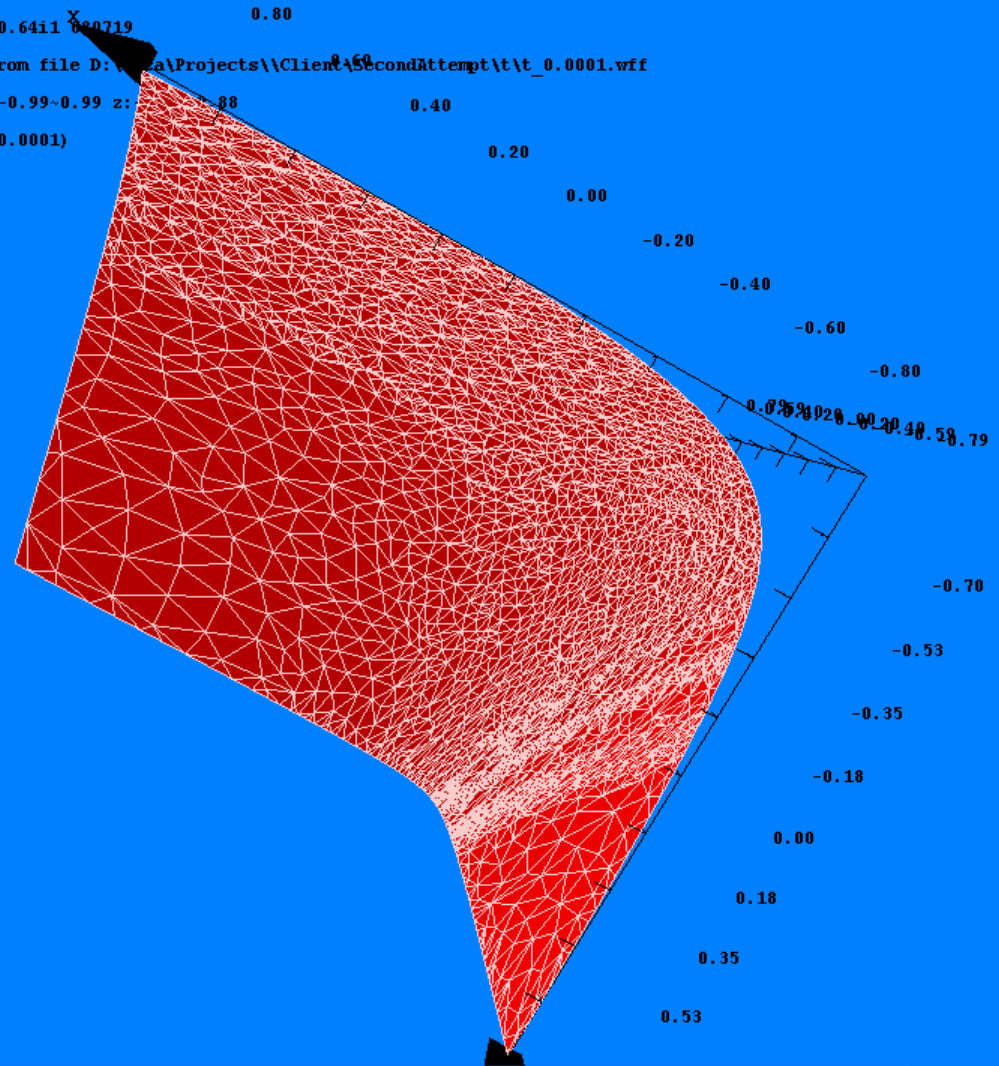
f0=21.5



OpenGL Engine v0.64i1 0.80719
Data loaded from file D:\...a\Projects\Client\SecondAttempt\t\t_original.wff
x: -1.00~1.00 y: -0.99~0.99 z: ...
f0=-0.3 Coarse(0.0001)

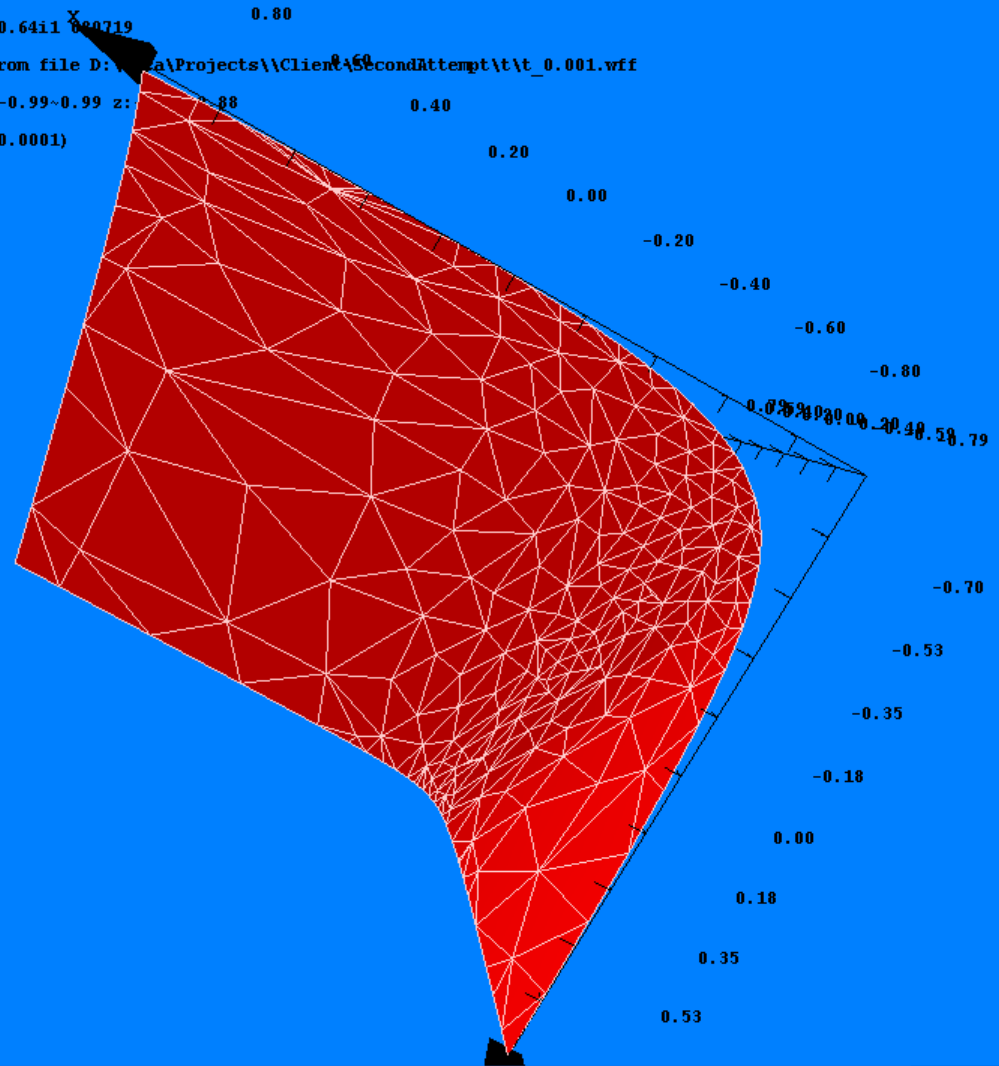


OpenGL Engine v0.64i1 0.80719
Data loaded from file D:\...a\Projects\Client\SecondAttempt\t\t_0.0001.wff
x: -1.00~1.00 y: -0.99~0.99 z: ...
f0=-0.3 Coarse(0.0001)

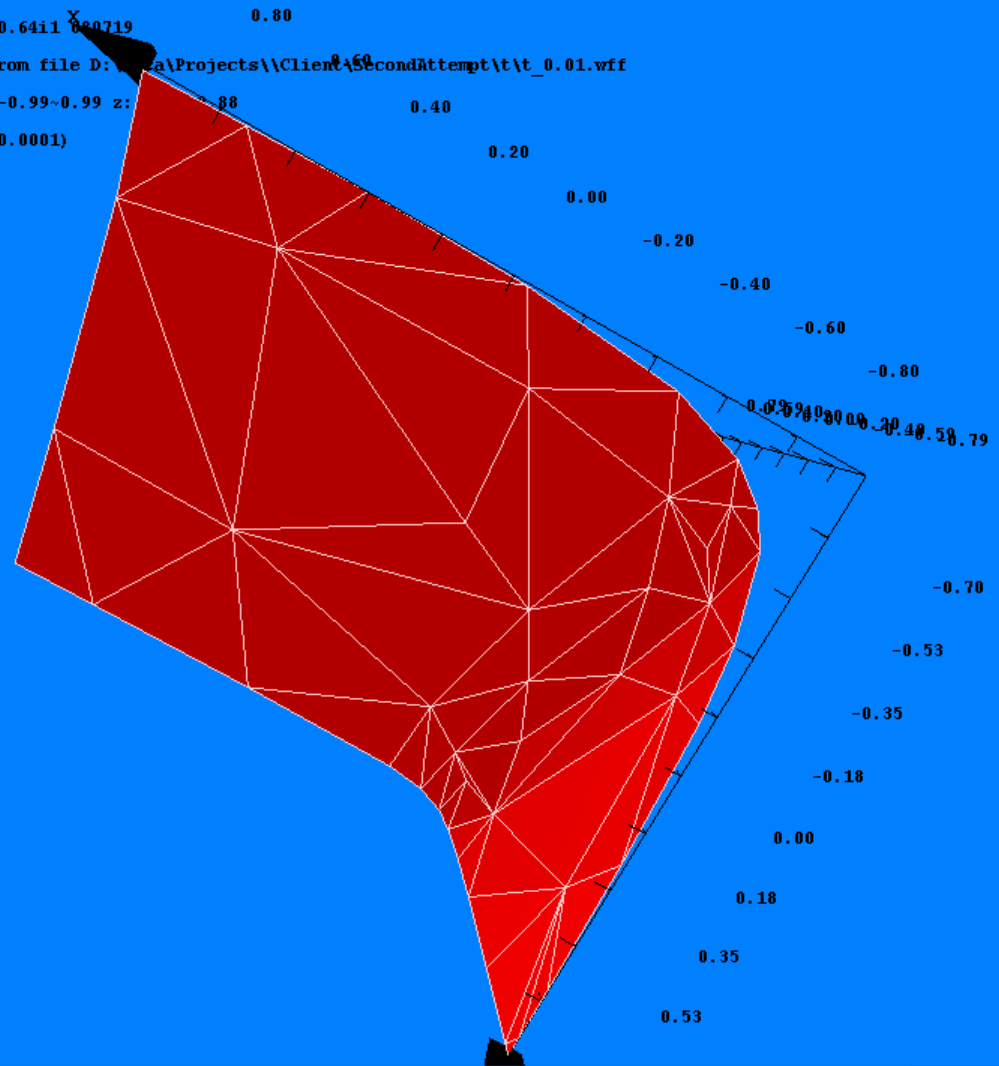




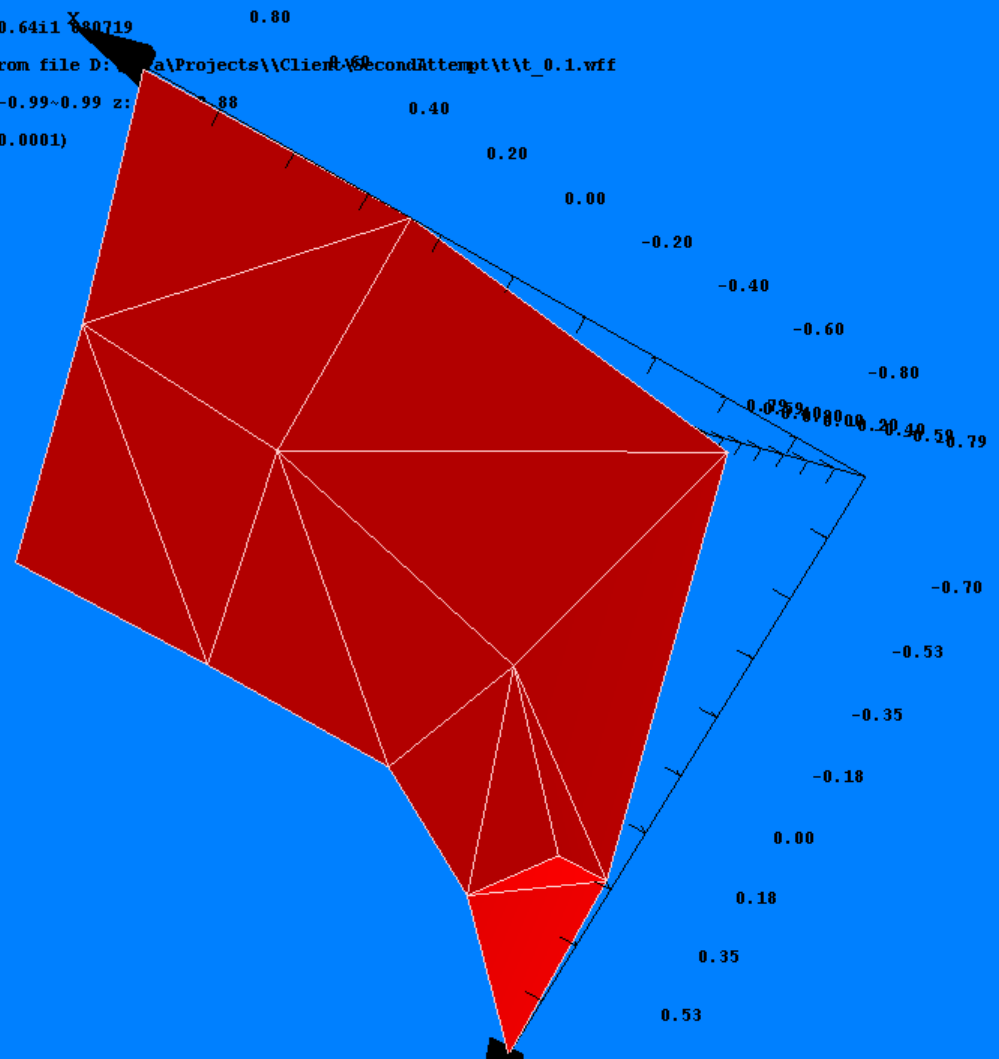
OpenGL Engine v0.64i1 0.80719
Data loaded from file D:\...a\Projects\Client\SecondAttempt\t\t_0.001.wff
x:-1.00~1.00 y:-0.99~0.99 z: 0.88 0.40
f0=-0.3 Coarse(0.0001)



OpenGL Engine v0.64i1 0.80719
Data loaded from file D:\...a\Projects\Client\5\SecondAttempt\t\t_0.01.wff
x:-1.00~1.00 y:-0.99~0.99 z: 0.88 0.40
f0=-0.3 Coarse(0.0001)

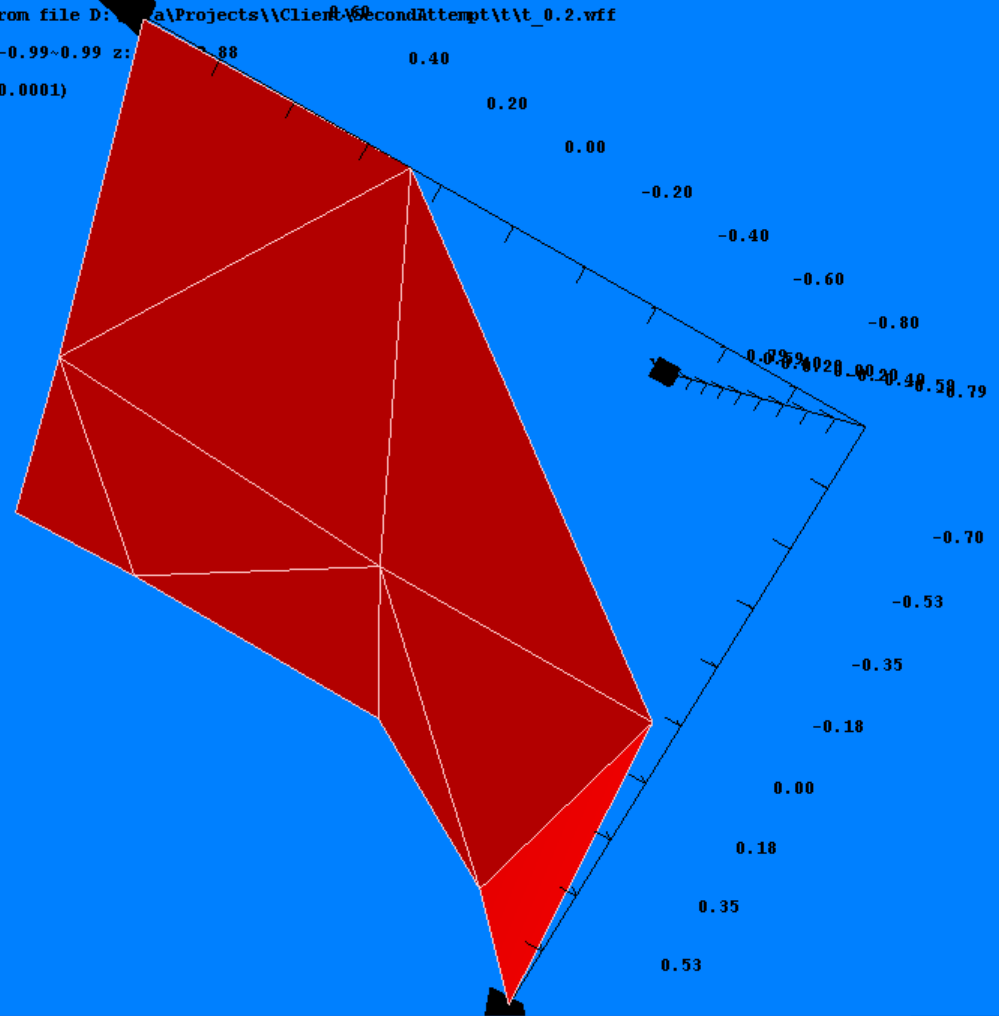


OpenGL Engine v0.64i1 880719 0.80
Data loaded from file D:\...a\Projects\Client\SecondAttempt\t\t_0.1.vff
x:-1.00~1.00 y:-0.99~0.99 z: 0.88 0.40
f0=-0.3 Coarse(0.0001)





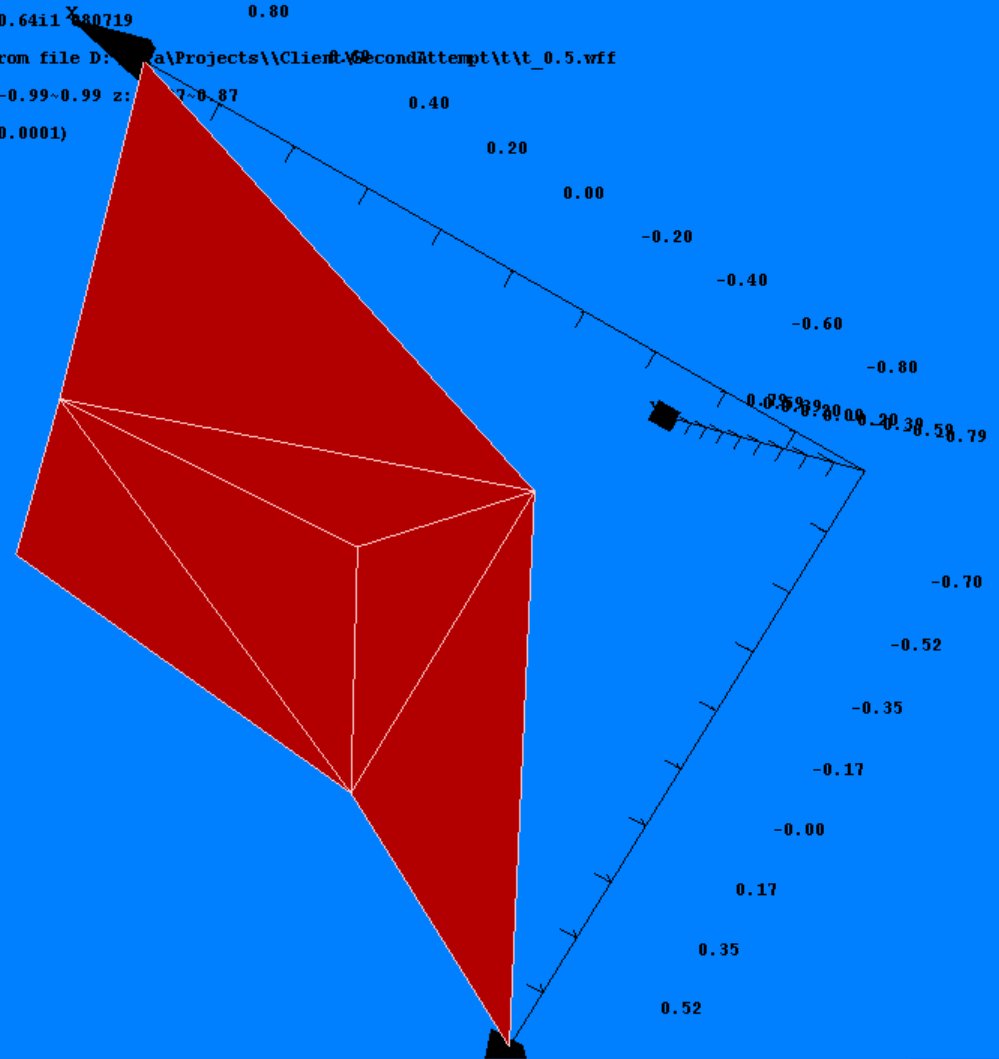
OpenGL Engine v0.64i1 880719 0.80
Data loaded from file D:\...a\Projects\Client\SecondAttempt\t\t_0.2.vff
x:-1.00~1.00 y:-0.99~0.99 z: 0.88 0.40
f0=-0.3 Coarse(0.0001)



Windows taskbar showing the Start button (пуск) and various application icons. The system tray on the right displays the time as 16:30, the day as понедельник (Monday), and the date as 30.03.2009.

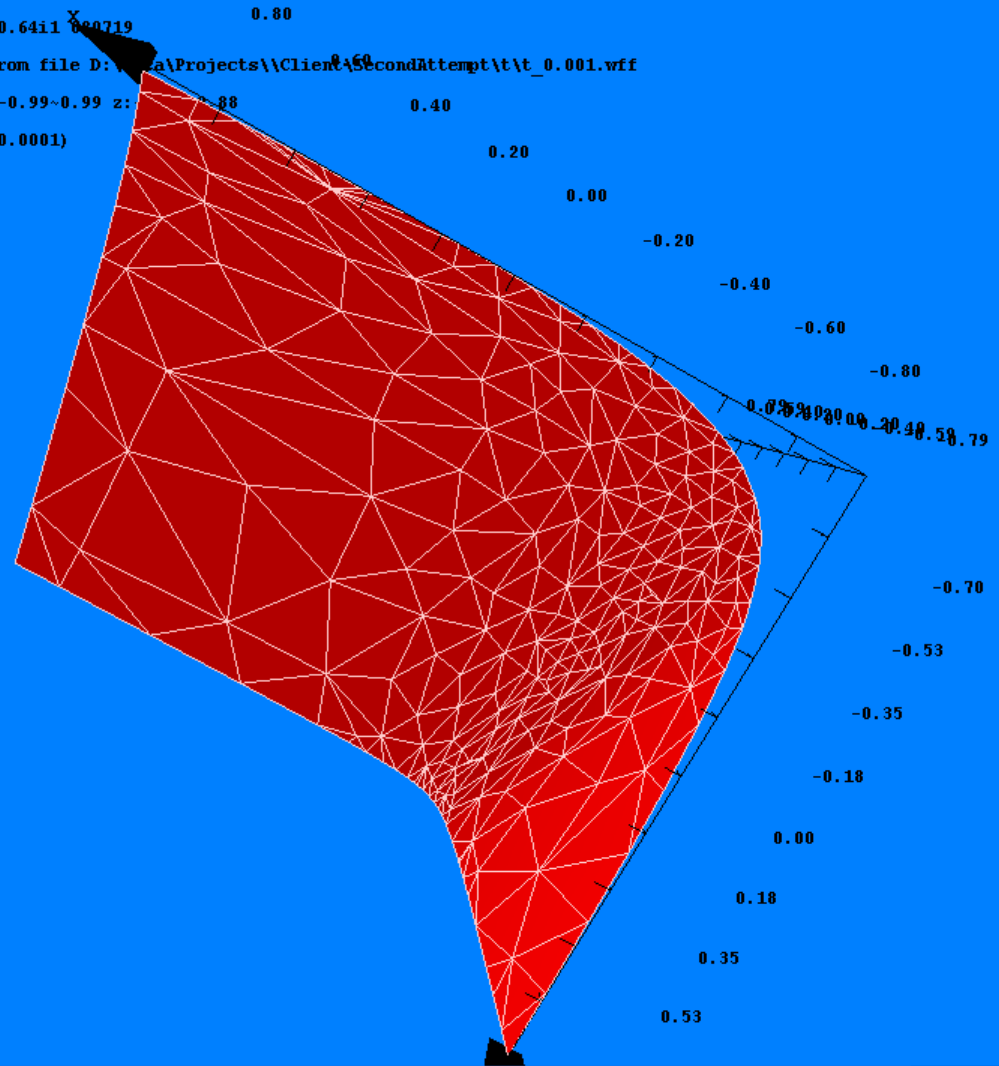


OpenGL Engine v0.64i1 380719 0.80
Data loaded from file D:\a\Projects\Client\SecondAttempt\t\t_0.5.vff
x:-1.00~1.00 y:-0.99~0.99 z:-0.87 0.40
f0=-0.3 Coarse(0.0001)





OpenGL Engine v0.64i1 0.80719
Data loaded from file D:\...a\Projects\Client\SecondAttempt\t\t_0.001.wff
x:-1.00~1.00 y:-0.99~0.99 z: 0.88 0.40
f0=-0.3 Coarse(0.0001)

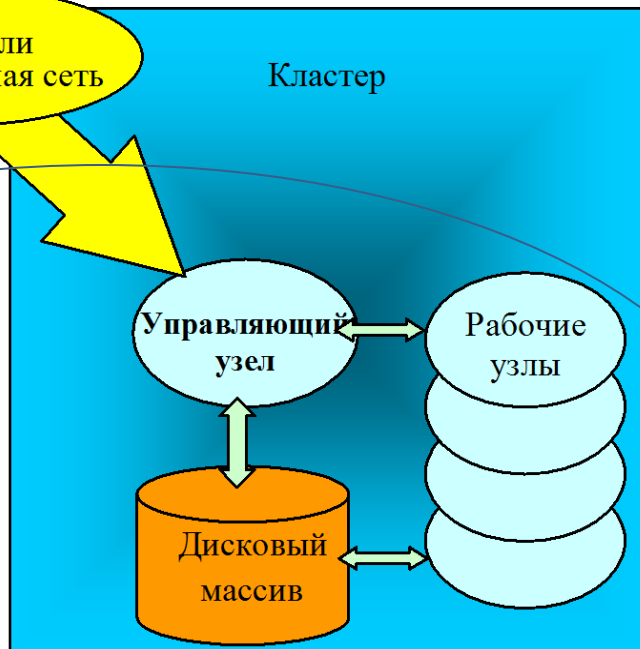




Аппроксимация и потоковая обработка



- Копирование всех данных
- Чтение
- Формирование сцены



- Чтение
- Формирование сцены

Клиент-серверная технология

• Отображение

• Расчет

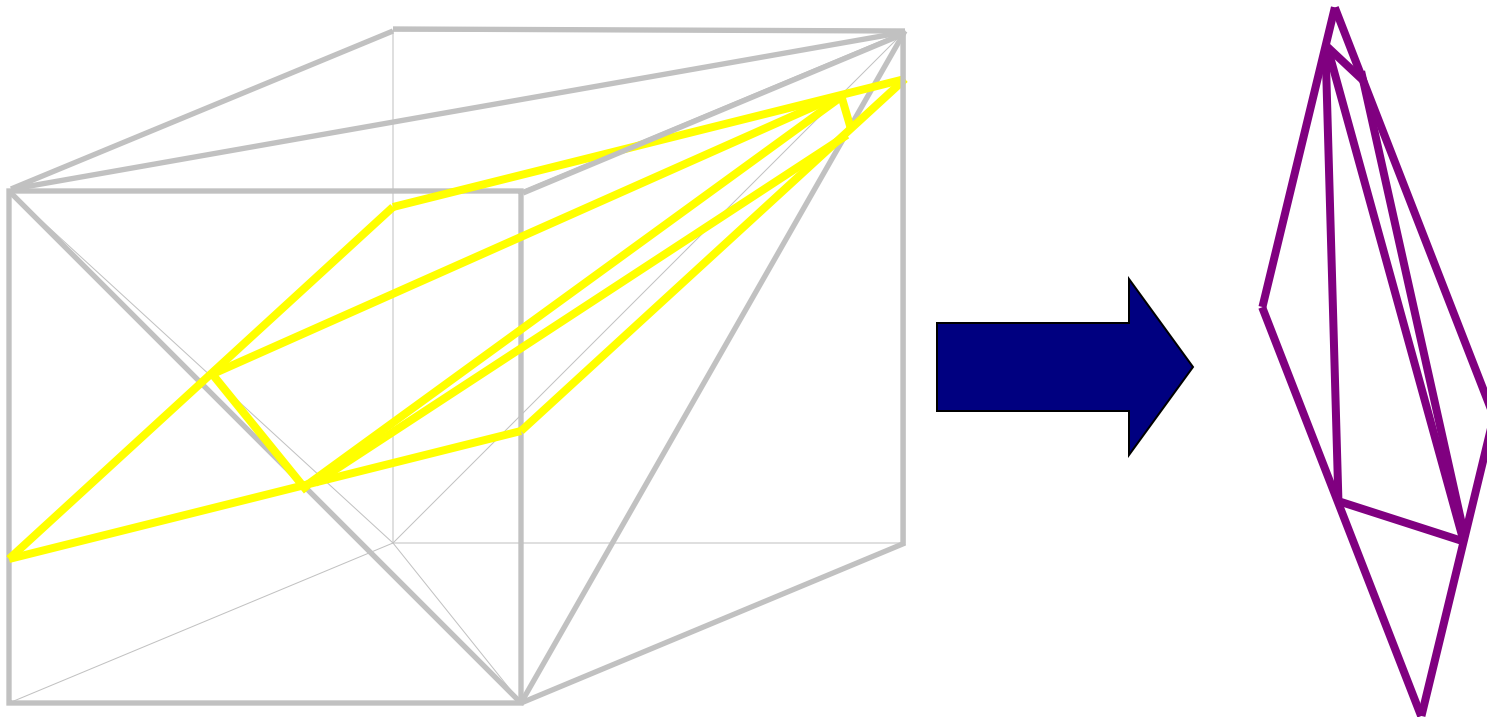
• Запись результатов

TecPlot
Origin

VISIT ParaView
EnSight OpenDX

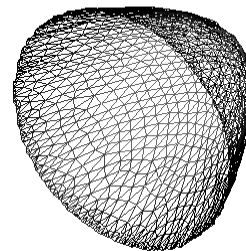
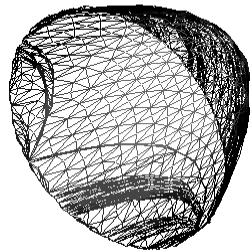
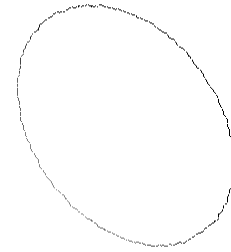
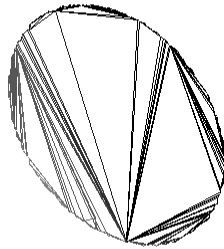
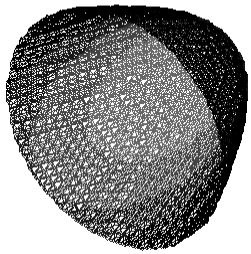
Сечение регулярной 3D сетки плоскостью

- В результате сечения регулярной кубической решетки получается фрагмент неструктурированной сетки



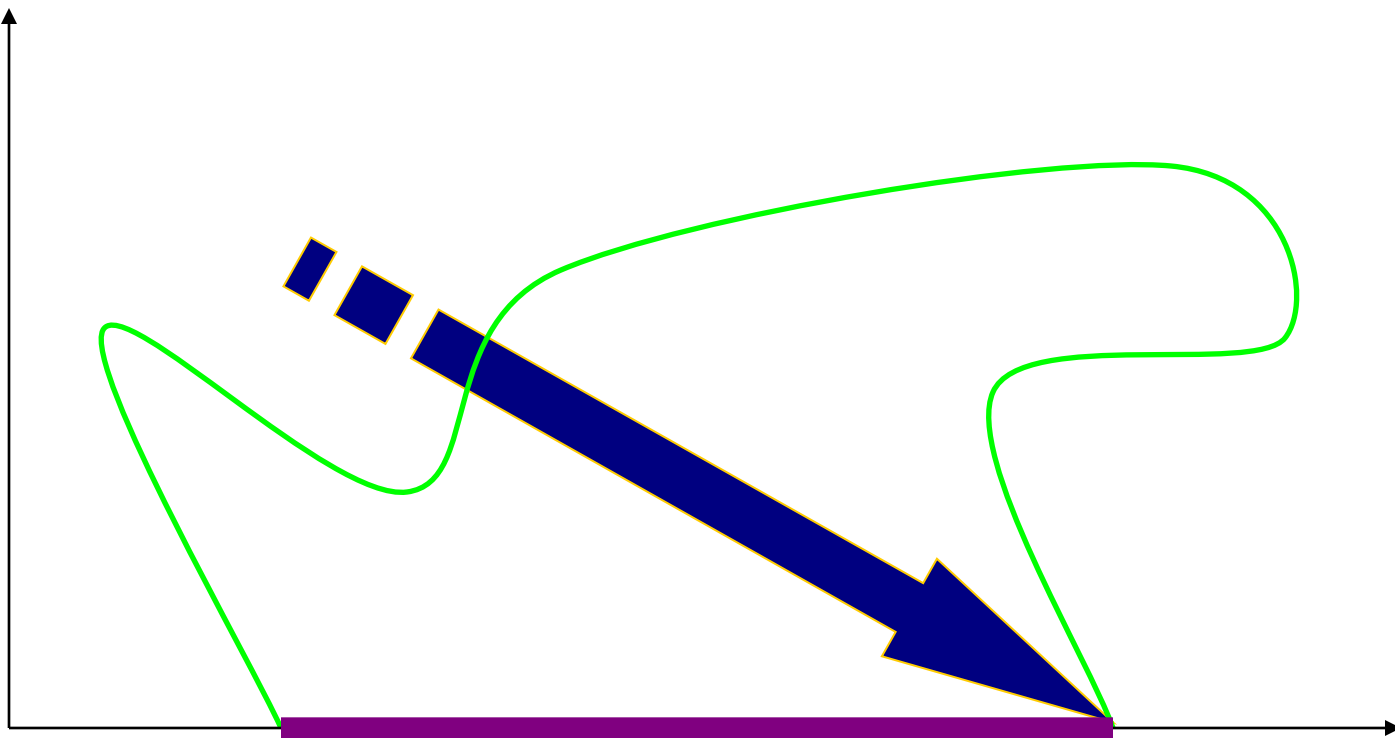
Аппроксимация триангулированных поверхностей

- Алгоритмы синтеза

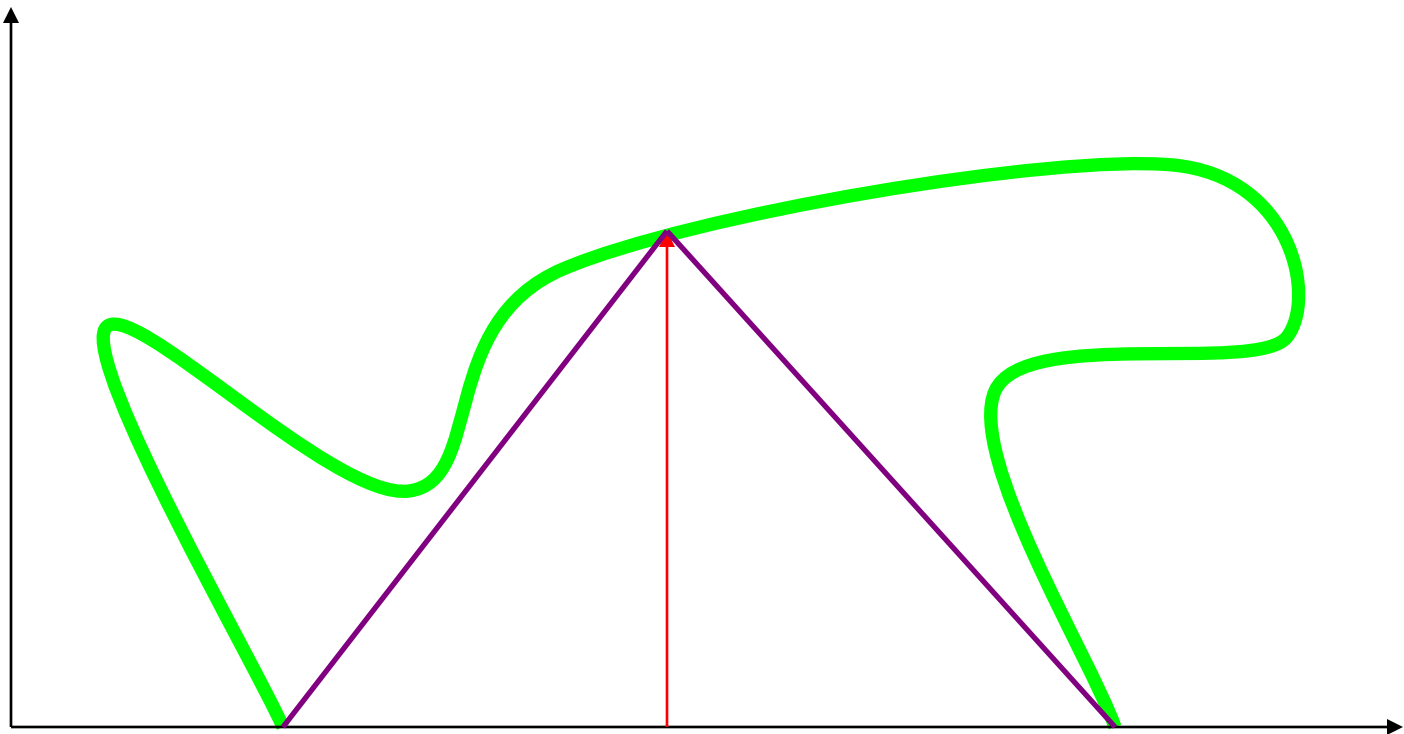


- Алгоритмы редуцирования

Начальная аппроксимация кривой

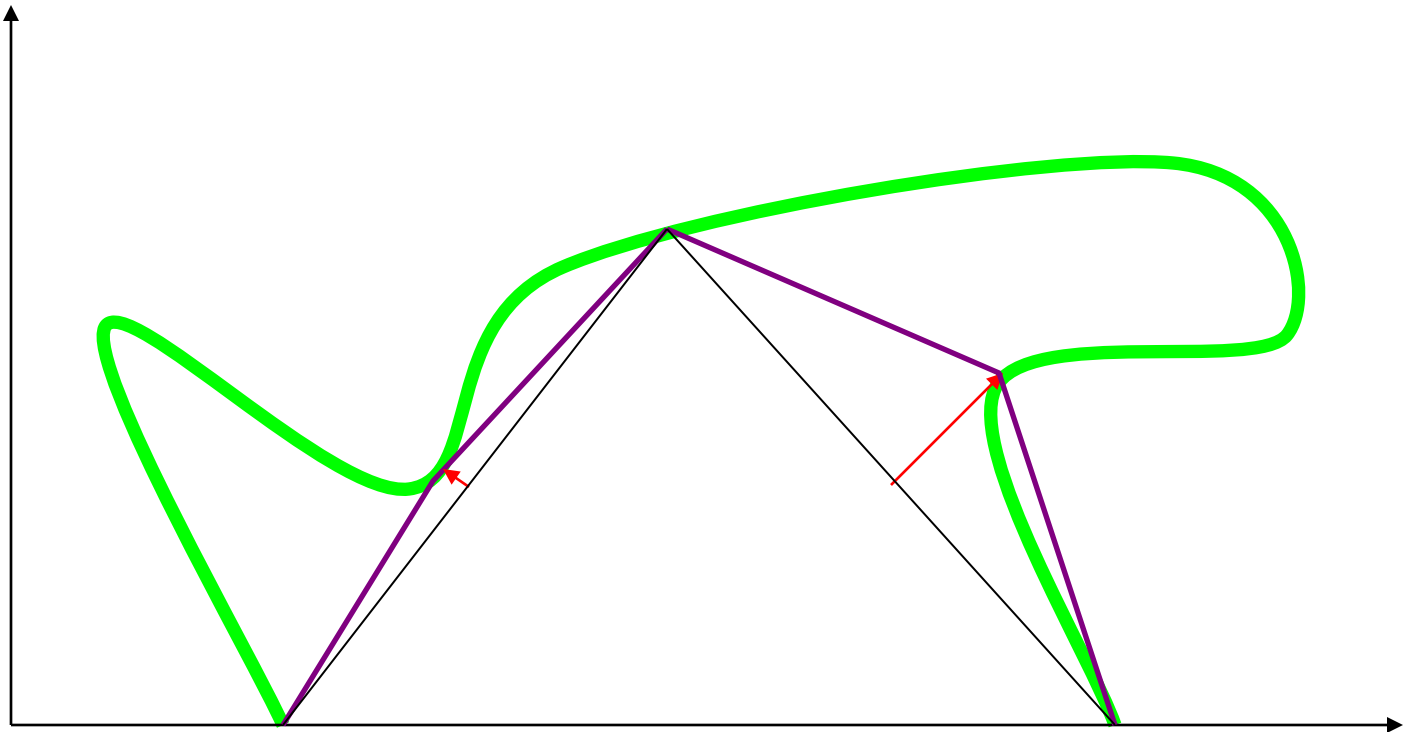


Аппроксимация кривой этап 2



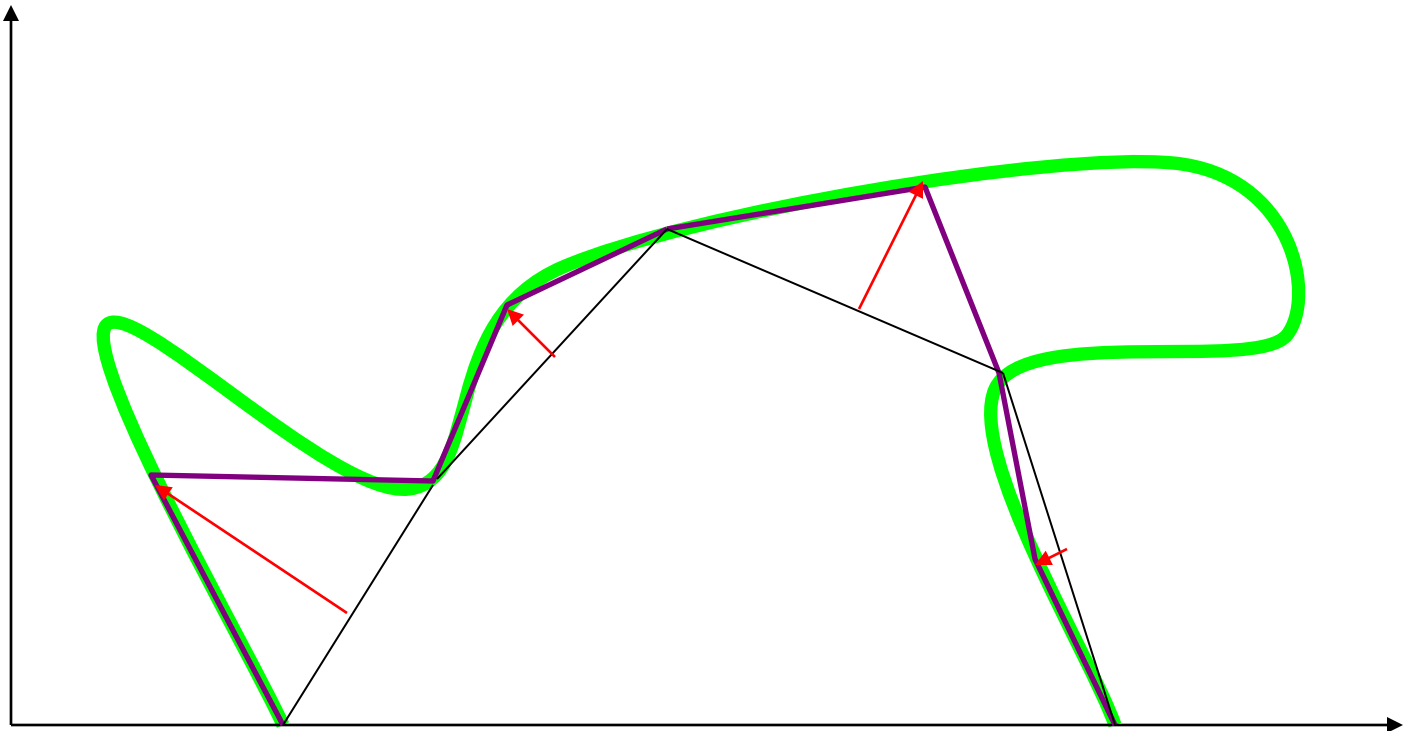
1 вектор

Аппроксимация кривой этап 3



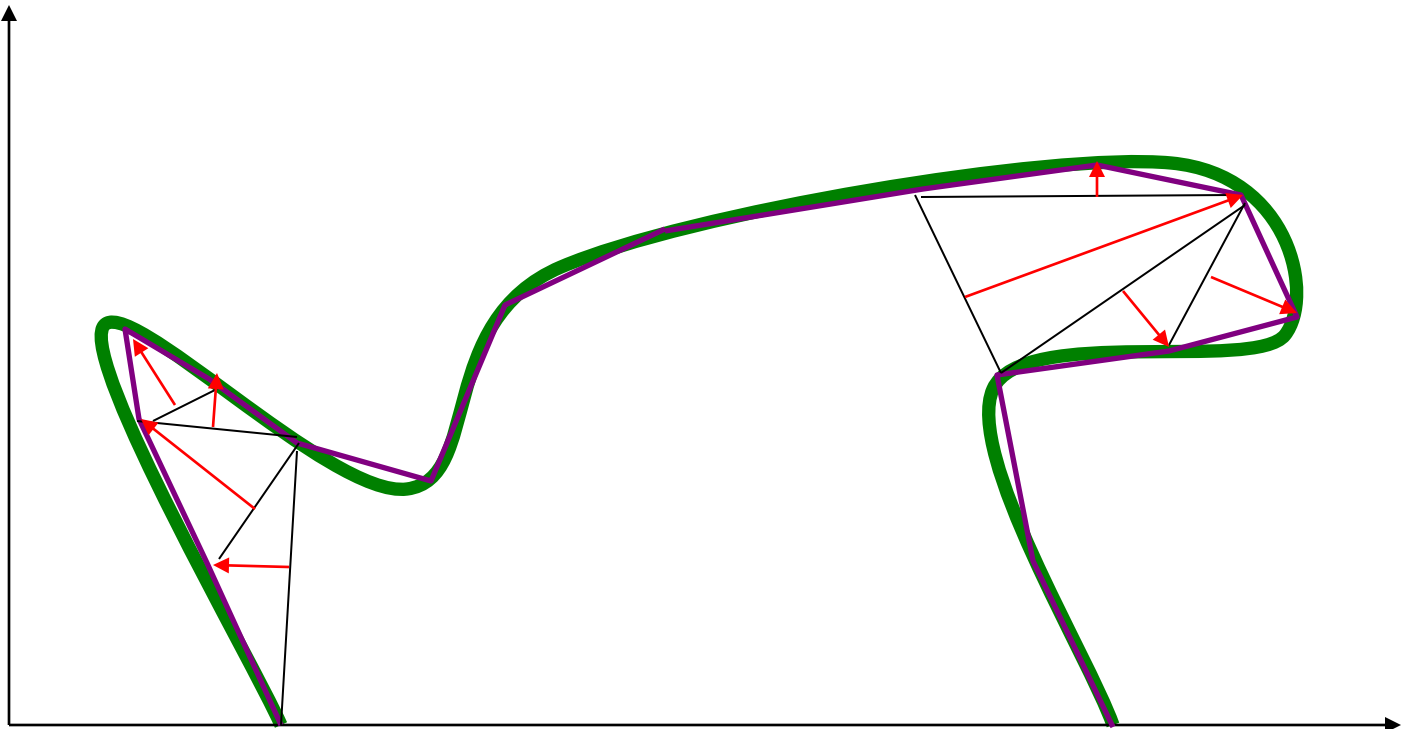
3 вектора

Аппроксимация кривой этап 4



7 векторов

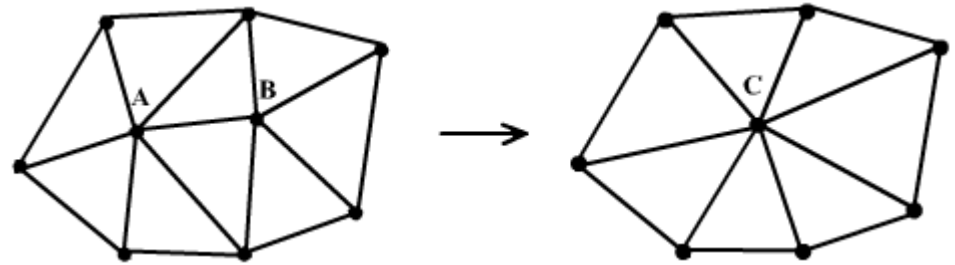
Аппроксимация кривой этап 5



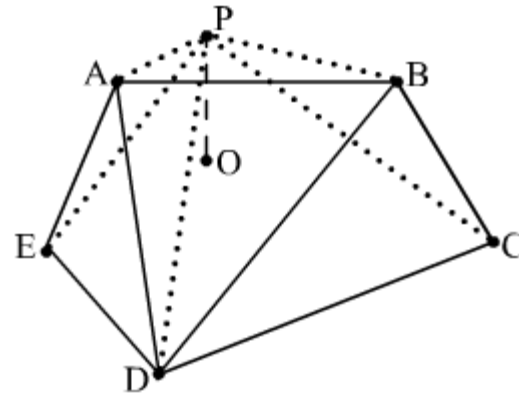
15 векторов

Методы редуцирования

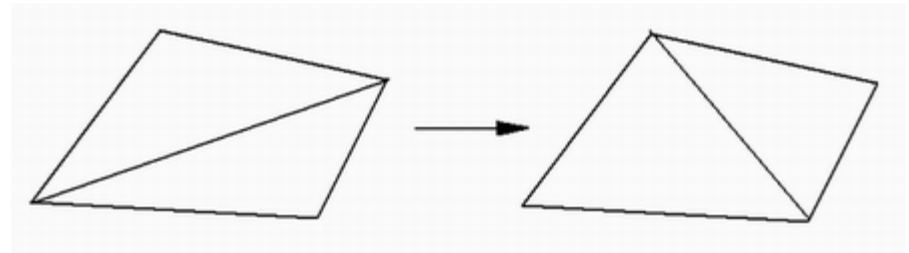
Удаление ребра



Удаление точки

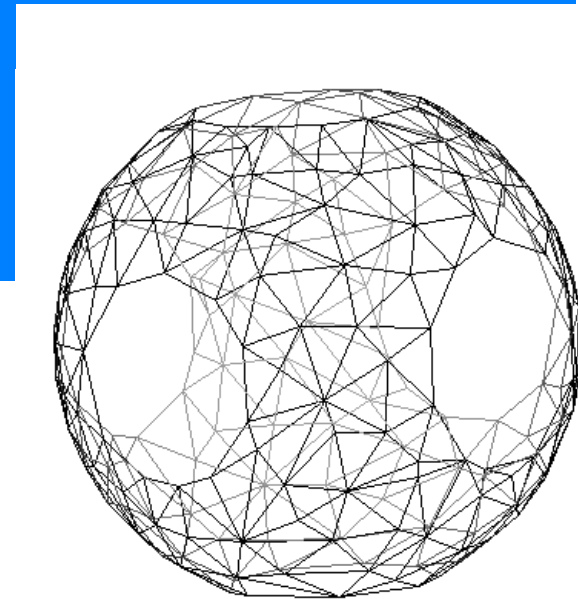
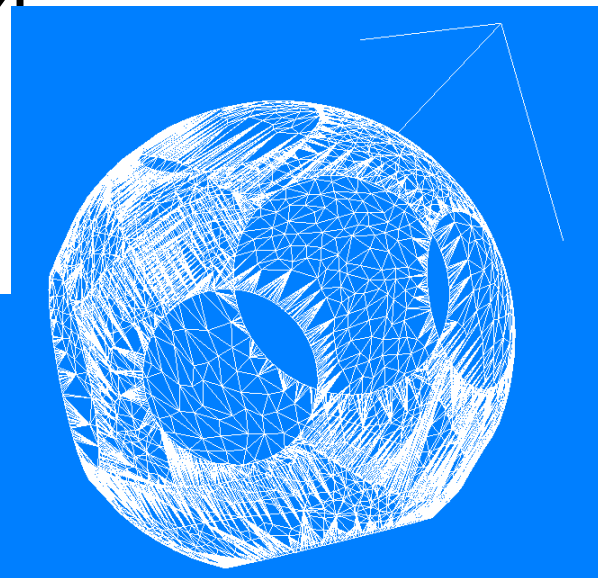
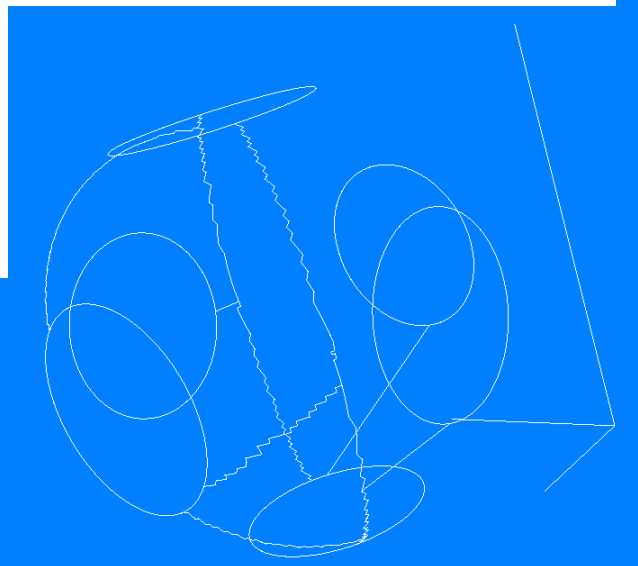
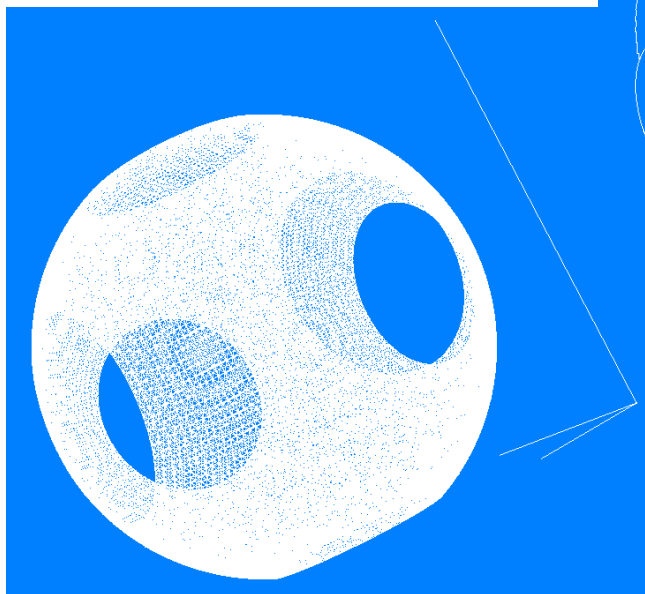


Уточнение топологии

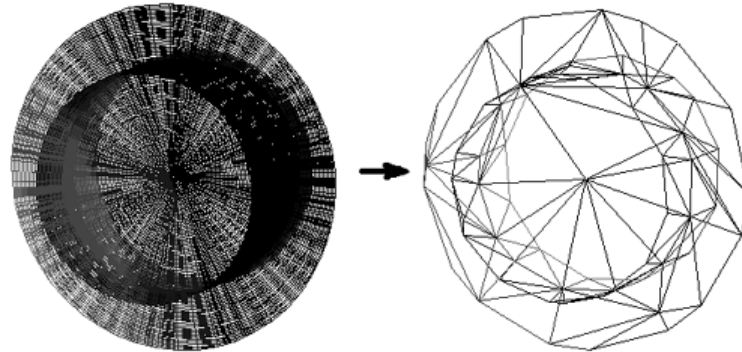




Аппроксимация изоповерхностей

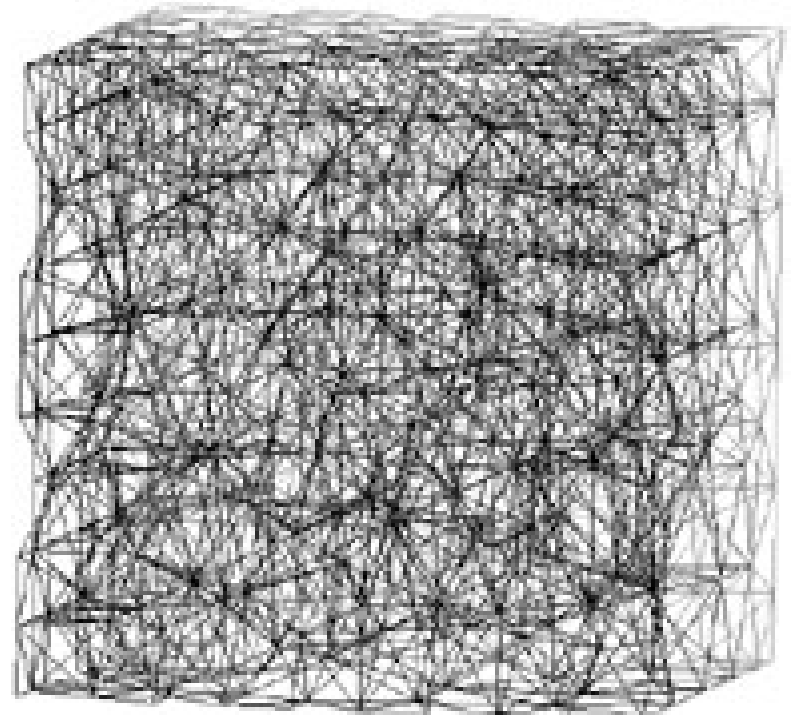
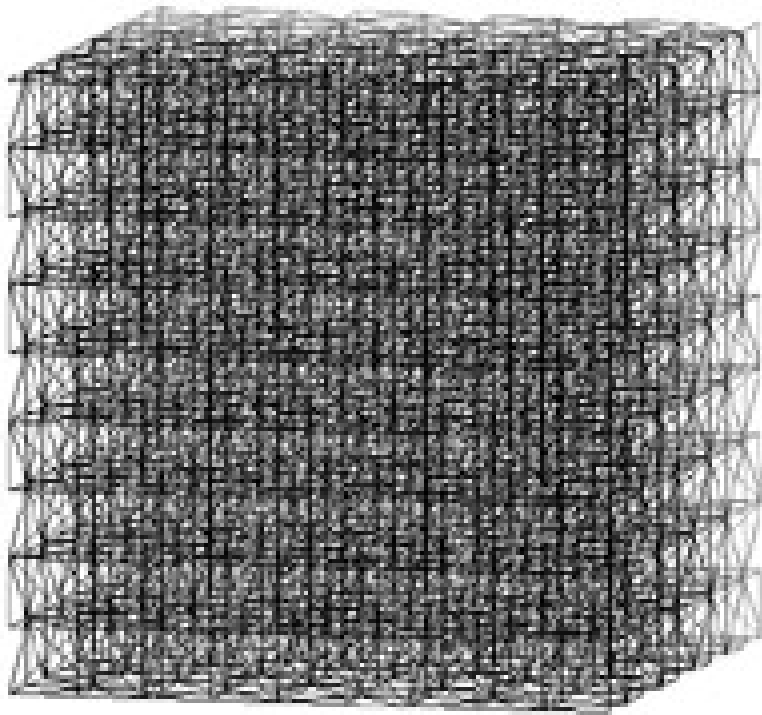


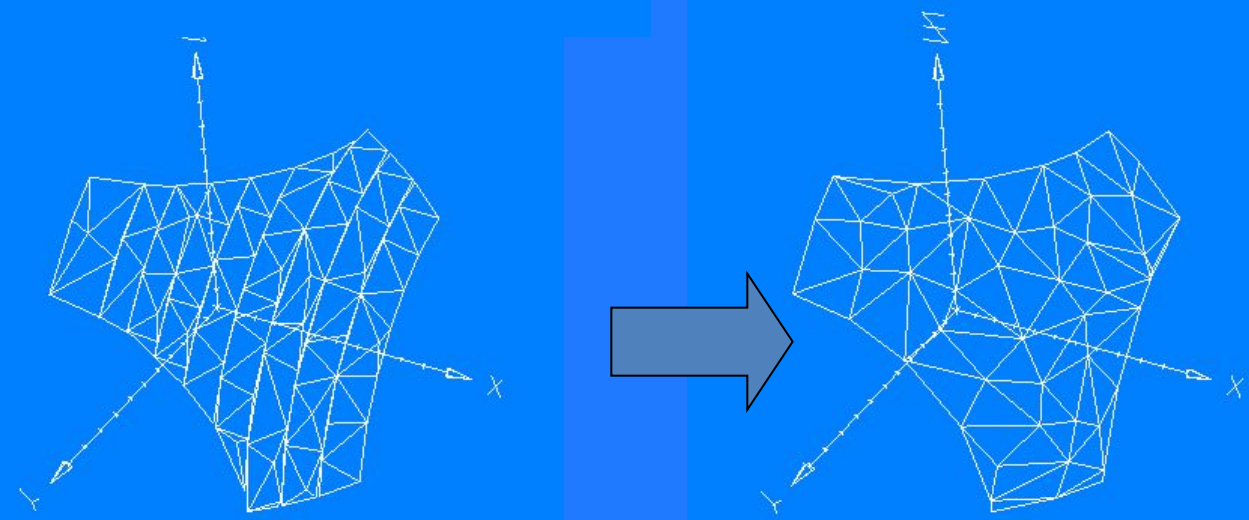
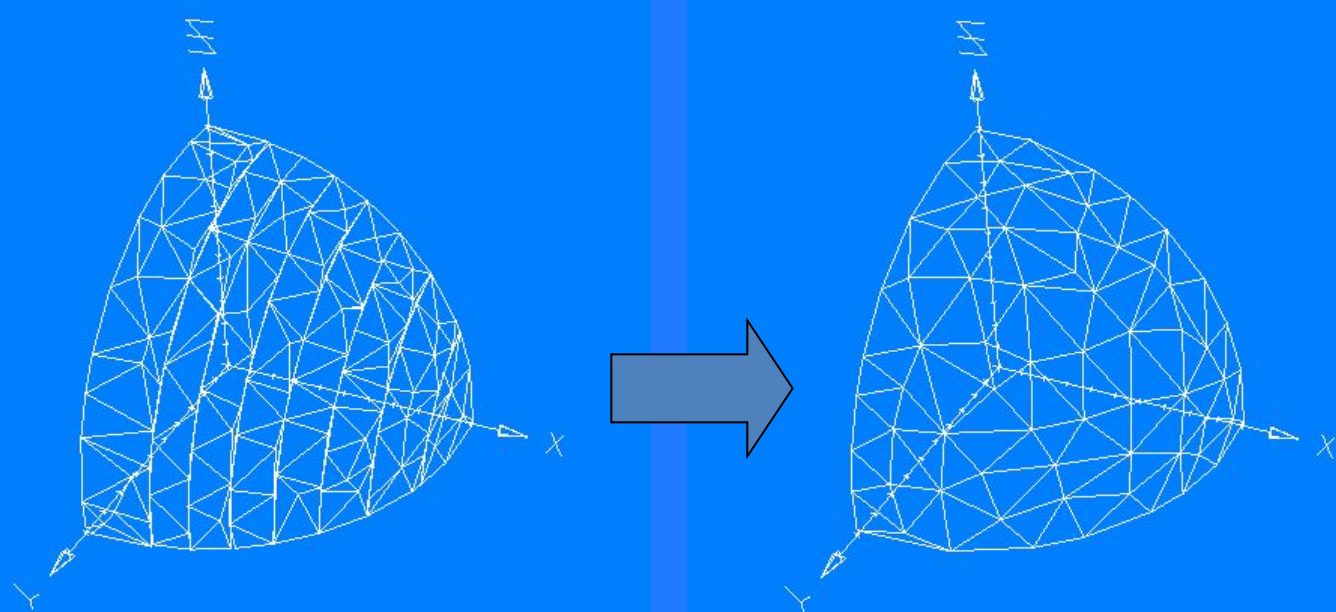
Плоскость, пересекающая цилиндр



Ошибка аппроксимации 5%

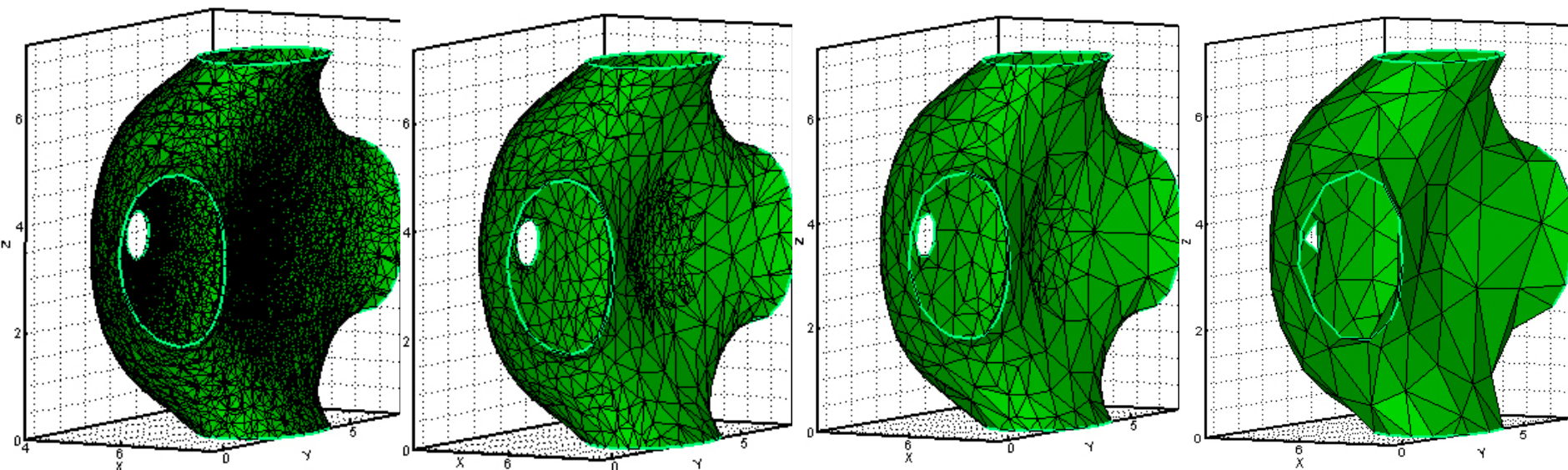
“Изоповерхность”





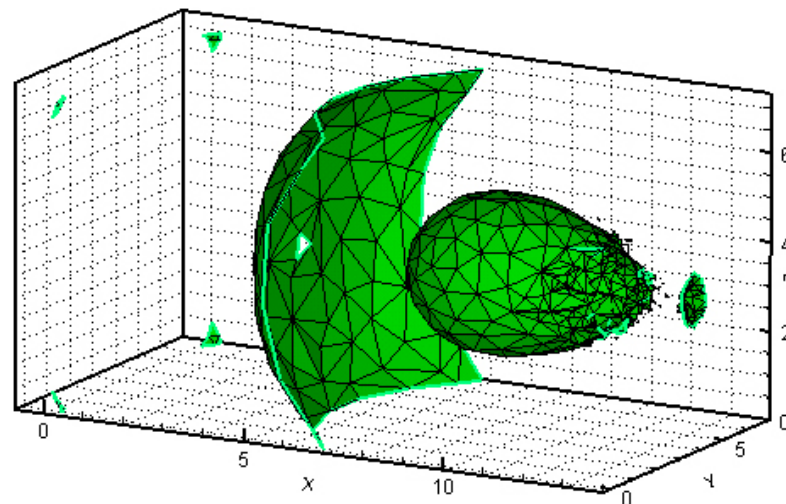
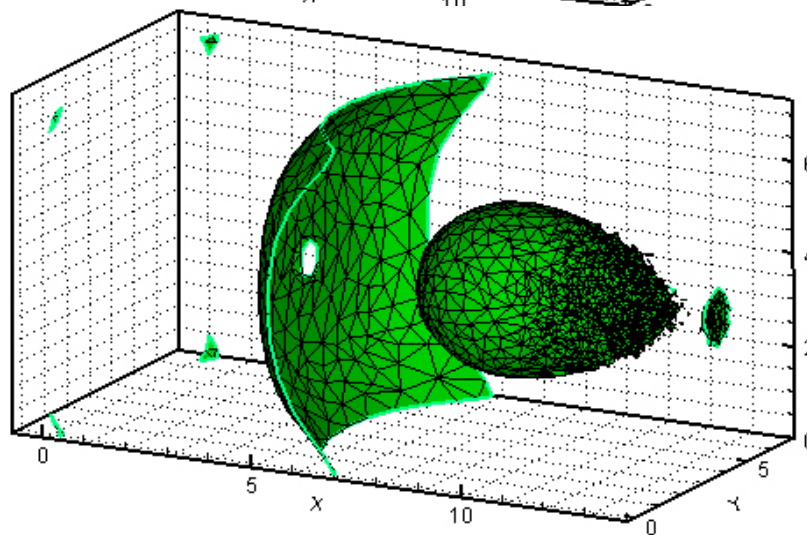
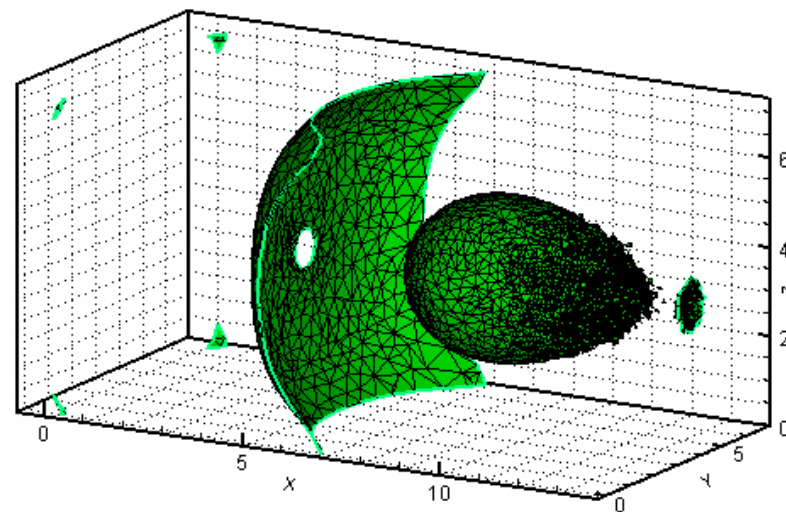
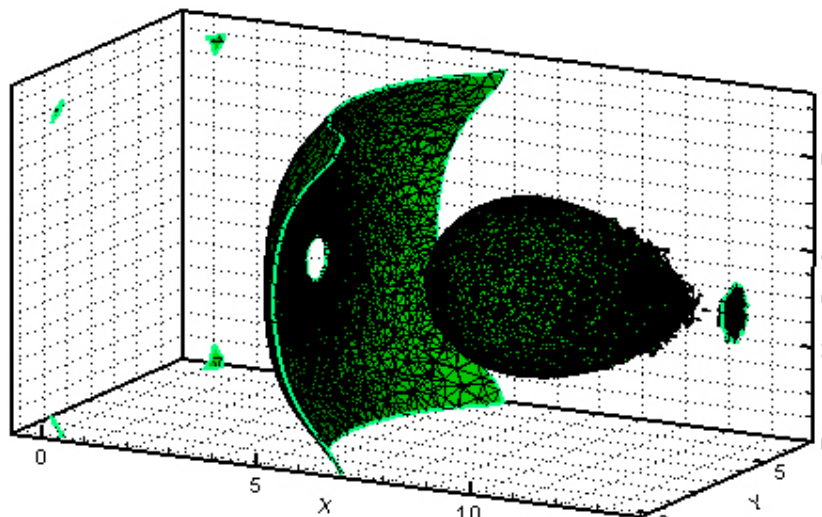
Многоуровневое огрубление больших сеток

Огрубление поверхностей



Ошибка	Количество точек	Количество треугольников	Коэффициент сжатия
0%	13800	27357	-
0,1%	1120	2117	12,9
0,2%	447	808	33,9
0,5%	175	304	90,0

Огрубление поверхностей



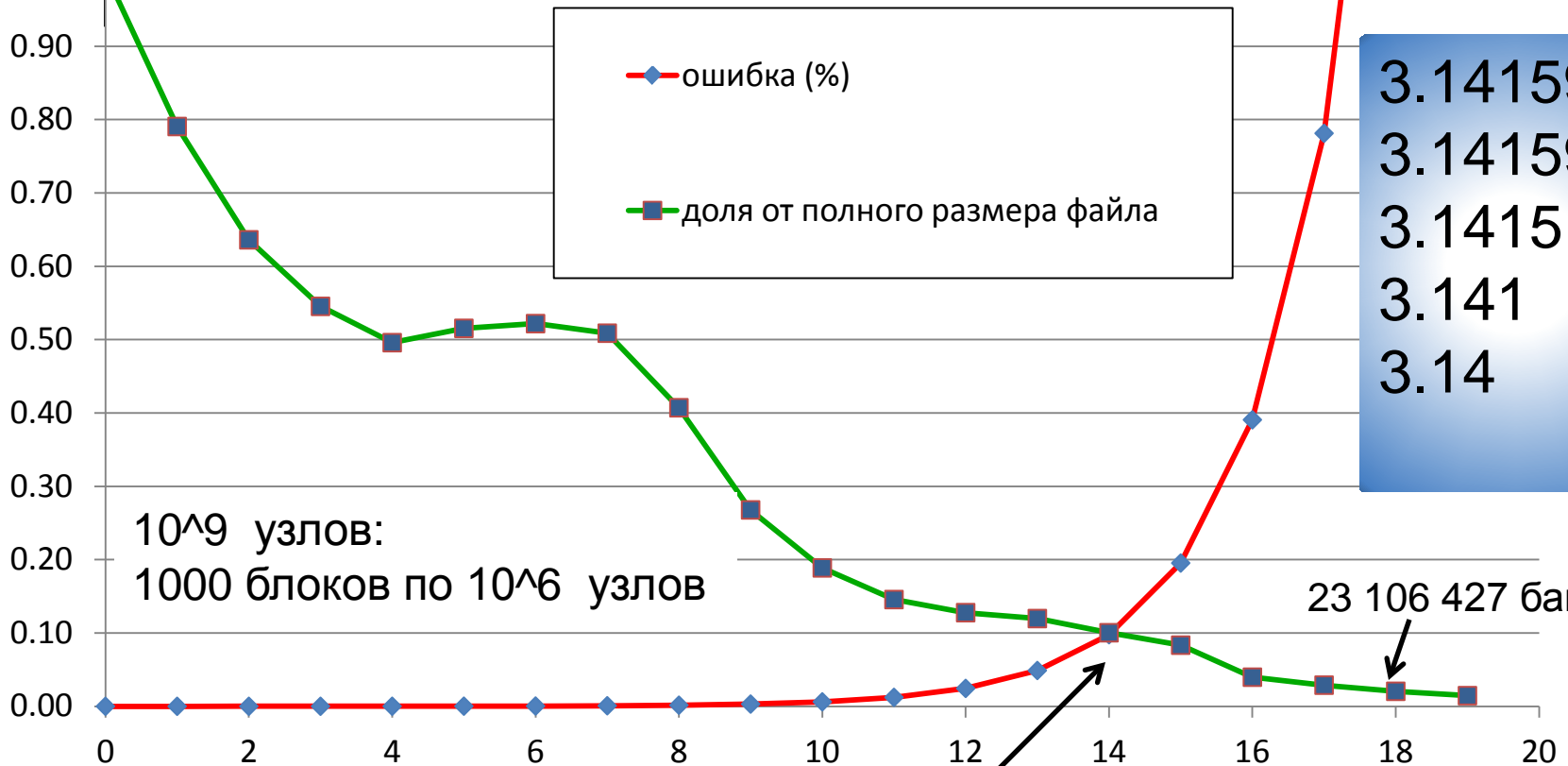
Хранение сеточных данных

Отсечение младших бит мантиссы

3.54 ■ бинарный без компрессии без округления

$$f = x^2 + y^2 + z^2$$

компрессия без округления



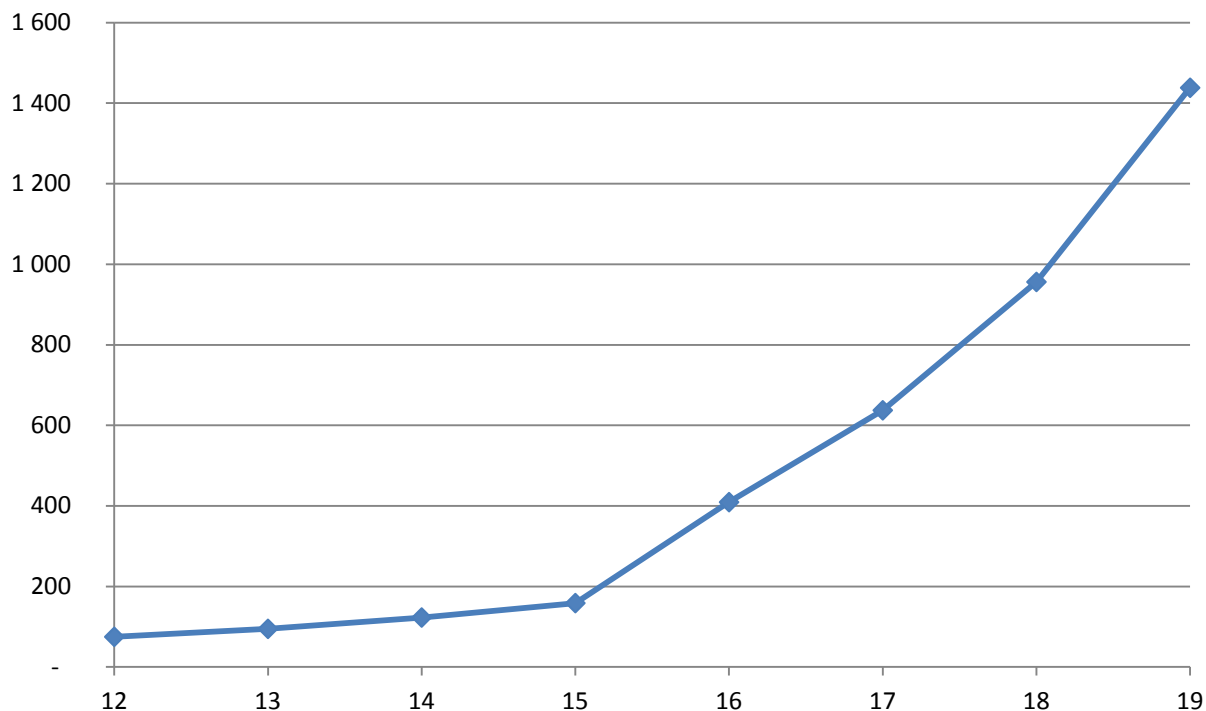
10⁹ узлов:
1000 блоков по 10⁶ узлов

23 106 427 байт

10⁹ узлов - 113 354 035 байт - 0.1% - 0.92 бита на узел

Зависимость коэффициента сжатия от числа усеченных бит

Сетка: 1000 x 3500 x 150 = 525 млн узлов



28	244	379	w101_reduced	12.bjn
22	340	718	w101_reduced	13.bjn
17	228	023	w101_reduced	14.bjn
13	339	249	w101_reduced	15.bjn
5	171	208	w101_reduced	16.bjn
3	321	150	w101_reduced	17.bjn
2	213	949	w101_reduced	18.bjn
1	471	818	w101_reduced	19.bjn
793	457		w101grid.bjn	

Якобовский М.В.

д.ф.-м.н.,

зав. сектором

«Программного обеспечения
многопроцессорных систем и
вычислительных сетей»

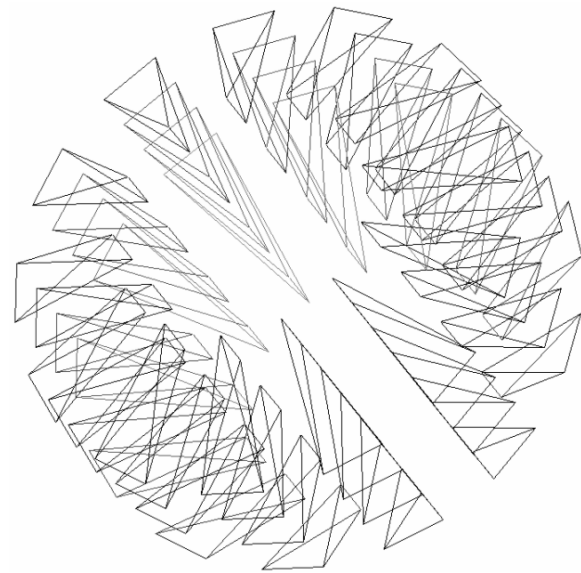
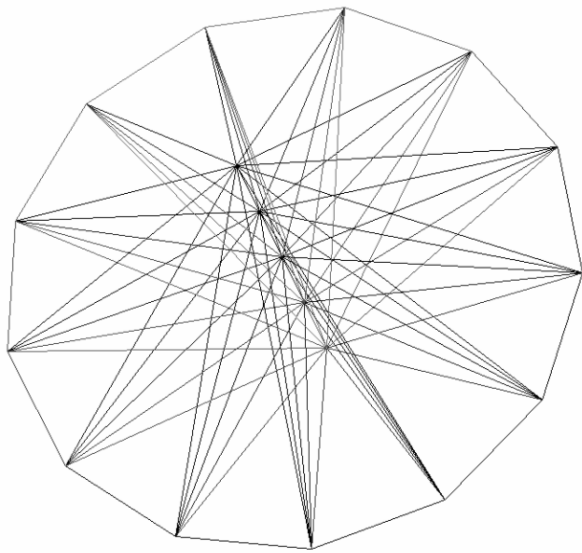
Института прикладной математики им.
М.В.Келдыша Российской академии наук

[mail: lira@imamod.ru](mailto:lira@imamod.ru)

<http://lira.imamod.ru>

Заполнение пространства пирамидами

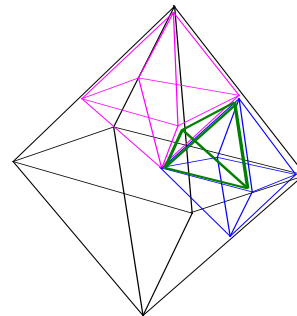
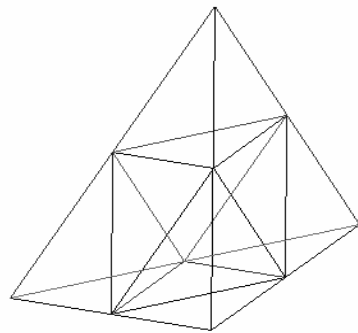
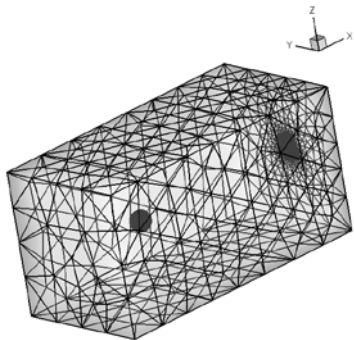
- На каждую из $2n$ точек в среднем опирается $2n$ пирамид
- Число пирамид $\sim n^2$



Зависимость объема хранимых данных от числа микродоменов

Число микродоменов	1	50	1000	1500	2000	2500	3000
Размер описания (МБ)	124	127	145	152	158	163	168

38 350 -> 2 356 196 узлов
219 034 * 8² -> 14 018 176 тетраэдров



На 35%
больше
чем 124